

# ENERGIESPEICHER RIEDL

**DONAU-  
KRAFTWERK  
JOCHENSTEIN  
AKTIENGESELLSCHAFT**

# Planfeststellungsverfahren Technischer Bericht



## Schleusendienstgebäude: Giebelwand – Standsicherheitsnachweis

## Übergang Kraftstation - Betriebsgebäude

# Vorstatik



Erstellt	Pöyry Energy GmbH	E. Staudacher	23.05.2012																					
Geprüft	Pöyry Energy GmbH	P. Steyrer	23.05.2012																					
Freigegeben	DKJ / ES-R	D. Mayr	21.05.2012																					
	Unternehmen / Abteilung	Vorname Nachname	Datum																					
Fremdfirmen-Nr.:																								
+ <input type="checkbox"/>																								
Unterlagennummer																								
Vorzeichen	SKS	Projekt-Nr.	Gliederungszeichen	Ersteller	Zahlteil			Gliederungszeichen	Blattnummer	Gliederungszeichen	Änderungsindex	Plainstatus	Planart	KKS								DCC(UAS)		
					Gliederungszeichen	Dokumententyp	Nummer							GA	Funktion/ Bauwerk				Aggregat/ Raum				Vorzeichen	
S1	S2	S3												G	F0	F1	F2	F3	FN	A1	A2	AN	A3	



## Inhaltsverzeichnis

1.	ALLGEMEINES .....	4
1.1.	Planungsgrundlagen .....	4
1.2.	Normen, Literatur .....	4
1.3.	EDV-Programme .....	4
2.	GEOMETRIE .....	5
3.	FE-Modell – statisches System .....	7
3.1.	Allgemeines .....	7
3.2.	FEM-Modell .....	8
4.	LASTEN .....	8
4.1.	Lastfalleingabe .....	9
4.1.1.	Lastfall 1 – Eigengewicht .....	9
4.1.2.	Lastfälle 2 bis 6 – Nutzlast 1 .....	9
4.1.3.	Lastfälle 7 bis 15 – Stapler .....	10
4.1.4.	Lastfälle 17 und 18 – Temperatur .....	10
5.	DEFORMATIONEN .....	11
6.	BEMESSUNG .....	13
6.1.	Fahrbahn .....	13
6.2.	Stützen .....	15
6.3.	Auflagerbereiche .....	15
6.3.1.	Krafthaus ES – Riedl .....	15
6.3.2.	Schleusendienstgebäude .....	15
7.	ZUSAMMENFASSUNG .....	17
8.	ANLAGE .....	18

## Abbildungsverzeichnis

Abbildung 1: Lageplan .....	5
Abbildung 2: Grundriss .....	5
Abbildung 3: Ansicht – Südwest .....	6
Abbildung 4: Regelquerschnitt .....	6
Abbildung 5: Lokale Koordinatensysteme .....	7
Abbildung 6: FE-Modell (links Anschluss zum neuen Krafthaus, rechts zum Bestand) .....	8
Abbildung 7: Eigengewicht .....	9
Abbildung 8: Nutzlast 1 - 5 kN/m <sup>2</sup> .....	9
Abbildung 9: Radlasten Stapler - Pos. 4a .....	10
Abbildung 10: Deformationen max ux (min/max): 0,00/4,59 mm .....	11
Abbildung 11: Deformationen max uy (min/max): -0,05/0,82 mm .....	11
Abbildung 12: Deformationen max uz (min/max): 0,00/11,97 mm .....	12
Abbildung 13: Biegebewehrung asx 1. Lage .....	13
Abbildung 14: Biegebewehrung asx 2. Lage .....	13
Abbildung 15: Biegebewehrung asy 1. Lage .....	14
Abbildung 16: Biegebewehrung asy 2. Lage .....	14
Abbildung 17: Schnittgrößen min Nx (min/max): -257,38/-146,61 kN .....	15
Abbildung 18: Schleusendienstgebäude (Abbruch gelb markiert) .....	16
Abbildung 19: Schleusendienstgebäude – Giebelwand aus Stahlbeton .....	16



## 1. ALLGEMEINES

In der Planung des Kraftwerkprojektes Energiespeicher Riedl ist zwischen dem bestehenden Schleusendienstgebäude des KW Jochenstein und der neuen Kraftstation eine überdachte Verbindungsbrücke vorgesehen. Der vorliegende Bericht beinhaltet die Vorstatik für diese Brücke sowie für die Giebelwand am Betriebsgebäude.

### 1.1. Planungsgrundlagen

Das Architekturbüro Martin & Bettina DENZ hat folgende Pläne zur Verfügung gestellt:

1122\_120322\_D01-1\_Ubergang-Querschnitt

1122\_120322\_D01-2\_Ubergang-Aufsicht

1122\_120322\_D01-3\_Ubergang-Ansicht

JES-A001-DENZ1-A40007-01 bis 07\_-PE

Die Windlasten wurden aus der Vorstatik der Kraftstation übernommen:

JES-A001-PERM1-B40002-00-AFE

### 1.2. Normen, Literatur

Für die Berechnungen der Vordimensionierung kommen die gültigen Normen gemäß Eurocode zur Anwendung:

EC 0	Grundlagen
EC 1	Einwirkungen
EC 2	Betonbau
EC 3	Stahlbau
EC 7	Geotechnik
DIN 1053-100	Mauerwerk

### 1.3. EDV-Programme

- Software für Tragwerksplanung - InfoCAD Version 11.30
- ConDim – Bemessung von Stahlbetonquerschnitten
- Conkret – Bemessung im Stahlbau



## 2. GEOMETRIE

Auf der Basis der unter Punkt 1.1 genannten Pläne wird ein FE – Modell erstellt.

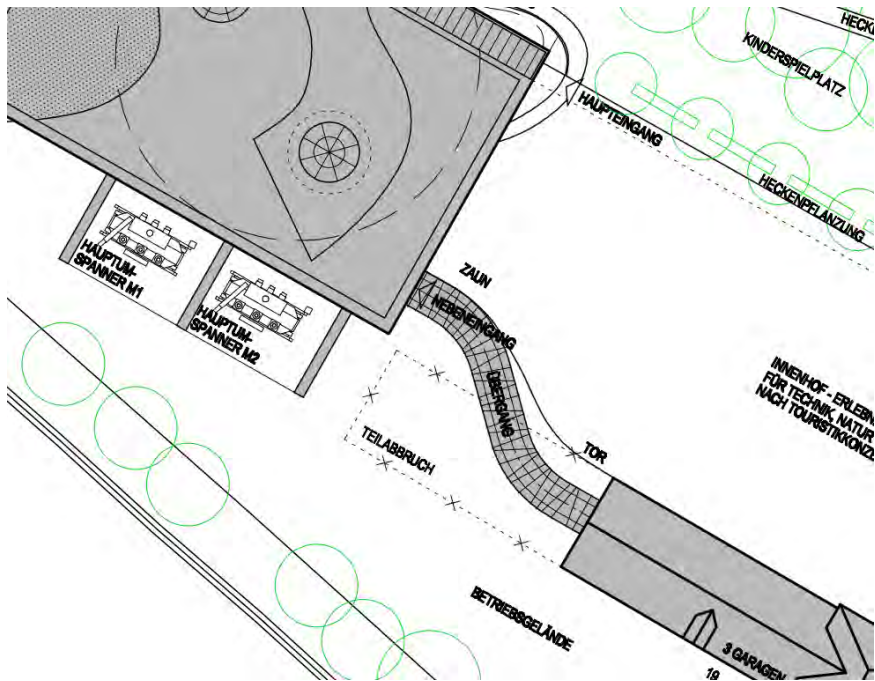


Abbildung 1: Lageplan

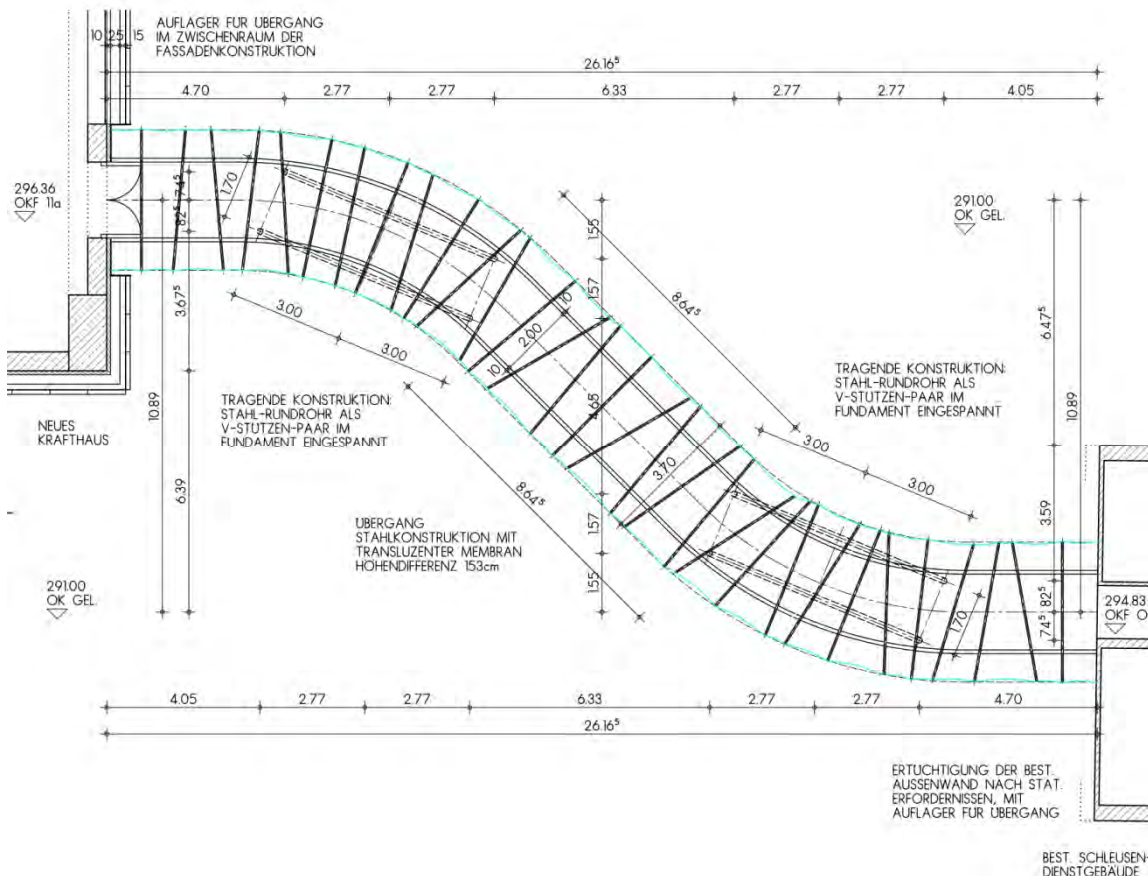


Abbildung 2: Grundriss

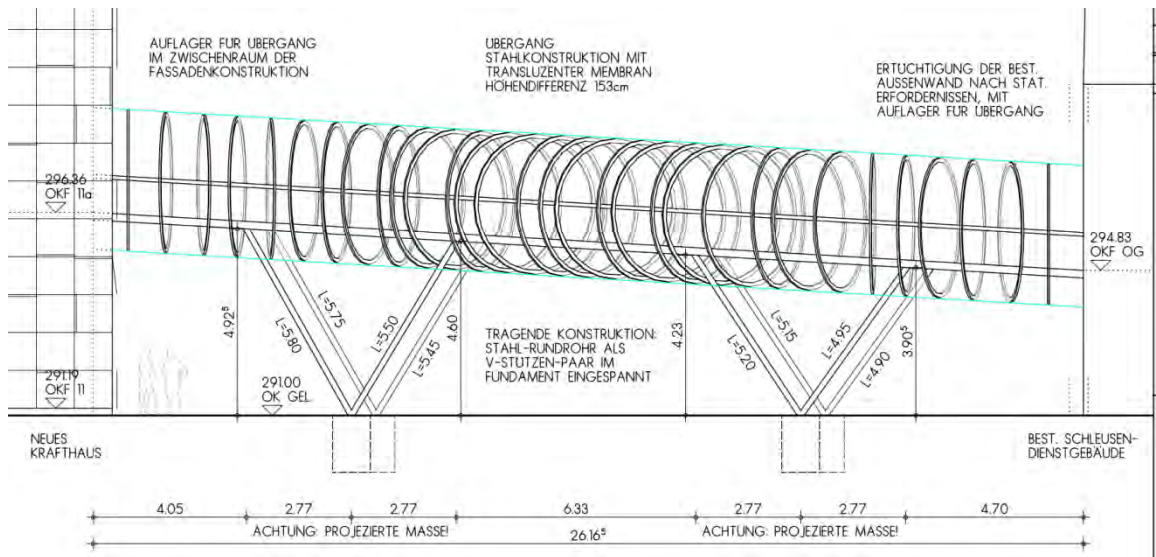


Abbildung 3: Ansicht – Südwest

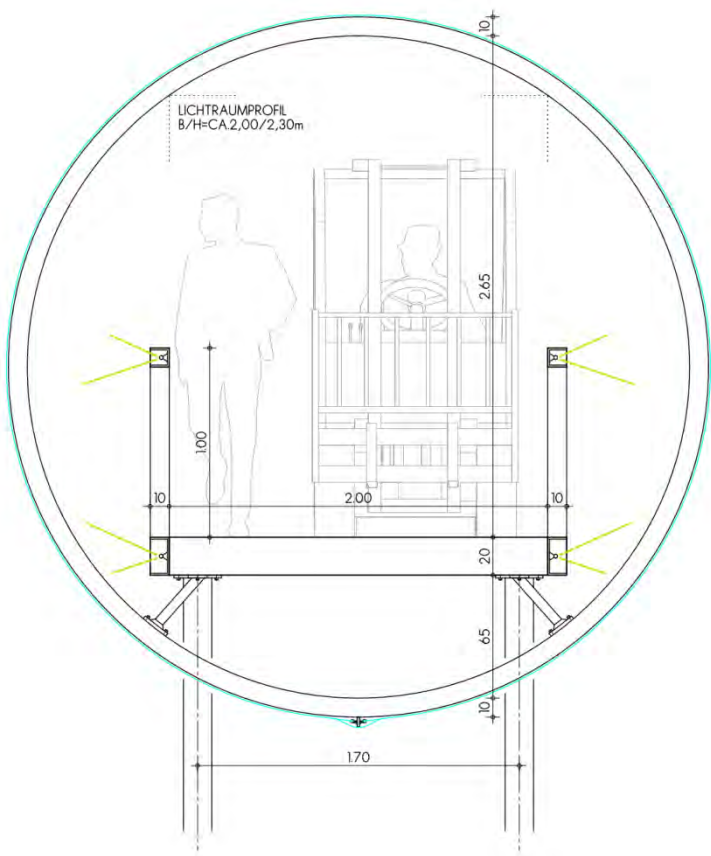


Abbildung 4: Regelquerschnitt

### 3. FE-Modell – statisches System

#### 3.1. Allgemeines

Die Übergangsbrücke wird als 3D FE-Modell diskretisiert. Die Fahrbahnplatte wird als Stahlbetonplatte und die Stützen werden mit einem Rohrquerschnitt aus Stahl modelliert.

Die Ermittlung der Schnittgrößen erfolgt nach der Elastizitätstheorie ohne Momentenumlagerung. An den Gebäudeanschlüssen wird die Brücke in vertikaler Richtung unverschieblich gelagert und zusätzlich quer zur Brückenachse gehalten (mittleres Lager). In Richtung der Brückenachse wird die Bewegung zugelassen.

Die V-Stützen sind als Pendelstützen ausgeführt und das Fundament wird als eingespannt modelliert.

Die Längsneigung der Fahrbahnplatte wird durch die unterschiedlichen Längen der V-Stützen nachgebildet.

##### Definition der Koordinatensysteme:

Grundsätzlich entsprechen die lokalen Koordinatensysteme der Schnittgrößen jenen der Bewehrungsführung.

Die EDV-Ausgabe 1. Lage entspricht einer negativen lokalen z-Koordinate, die 2. Lage liegt in Richtung der positiven lokalen z-Koordinate.

Fahrbahnplatte: 1. Lage → oben

2. Lage → unten

Lokale x,y,z-Richtung → in Richtung der globalen x,y,z-Richtung

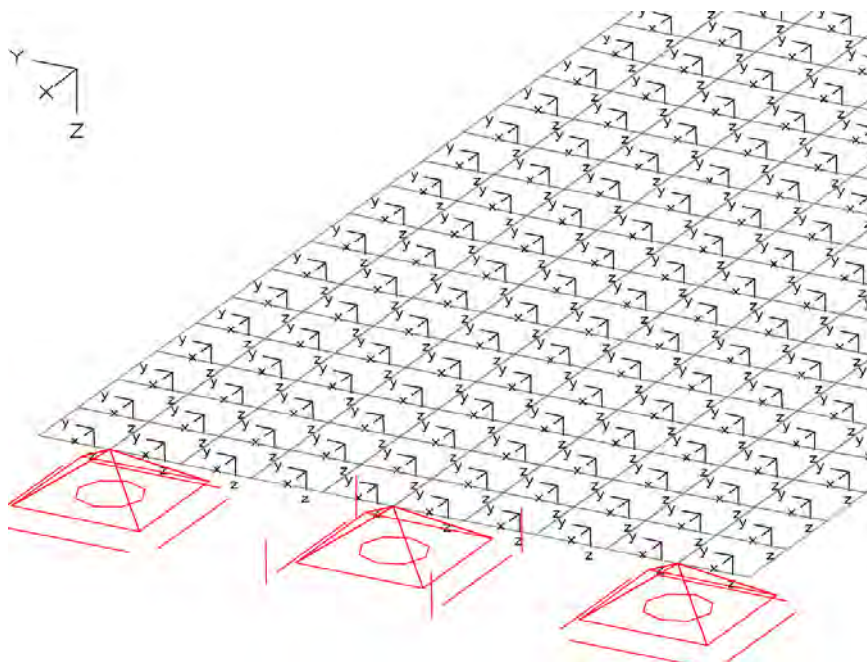


Abbildung 5: Lokale Koordinatensysteme

### 3.2. FEM-Modell

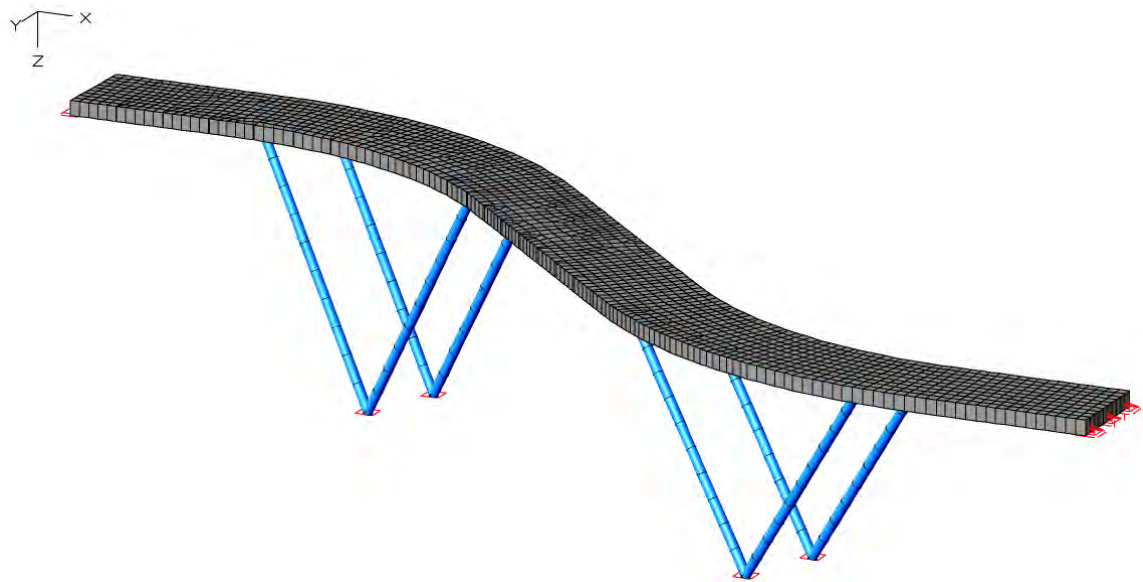


Abbildung 6: FE-Modell (links Anschluss zum neuen Krafthaus, rechts zum Bestand)

## 4. LASTEN

In die Berechnung gehen folgende Lasten ein:

Eigengewicht: Das Eigengewicht der Konstruktion wird vom Programm über die definierten Querschnitte mit der spezifischen Wichte von 25 kN/m<sup>3</sup> (Beton) und 78,5 kN/m<sup>3</sup> (Stahl) ermittelt. Für das Geländer und die Umhüllung (Stahlkonstruktion und Membrane) werden 2,5 kN/m in Rechnung gestellt.

Nutzlasten: Die Nutzlast beträgt 5 kN/m<sup>2</sup> und wird einzeln auf jedes Feld aufgebracht. Aus der Forderung, dass über die Brücke ein Gabelstapler fahren soll, werden die Radlasten eines beladenen Gabelstaplers berücksichtigt. Zusätzlich wird eine Temperaturänderung im Tragwerk von  $\pm 10^{\circ}\text{C}$  berücksichtigt.

Etwaige Wind oder Schneelasten werden in dieser Phase nicht einkalkuliert.

Die graphische Darstellung der Lastfälle erfolgt exemplarisch.



## 4.1. Lastfalleingabe

### 4.1.1. Lastfall 1 – Eigengewicht

Das Eigengewicht der Fahrbahnplatte und der Stützen wird, wie im Punkt 4 beschrieben, ermittelt und aufgebracht. Die Linienlast repräsentiert das Gewicht des Geländers, der Hülle und deren Stahlkonstruktion.

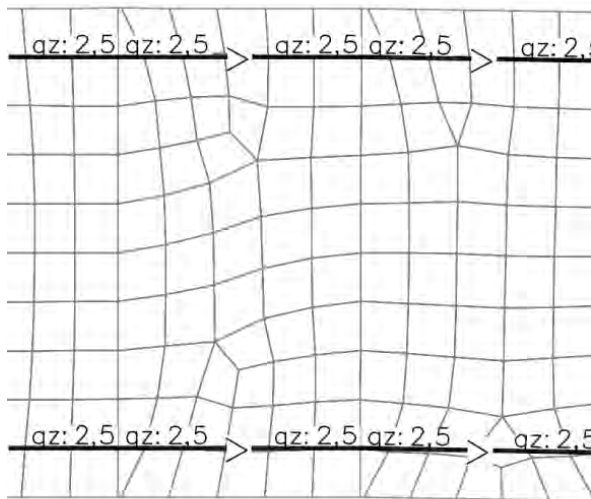


Abbildung 7: Eigengewicht

### 4.1.2. Lastfälle 2 bis 6 – Nutzlast 1

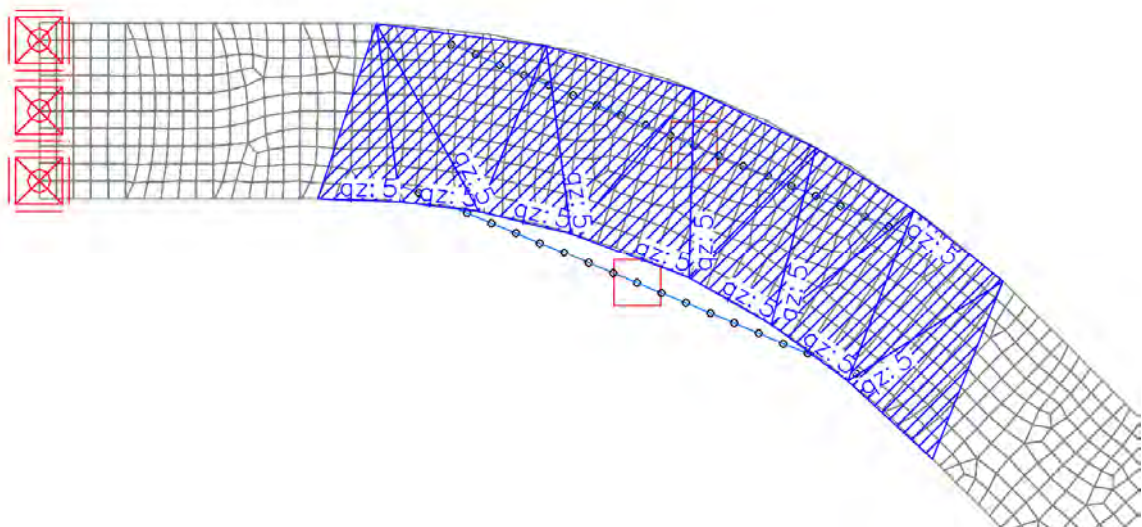


Abbildung 8: Nutzlast 1 - 5 kN/m<sup>2</sup>

#### 4.1.3. Lastfälle 7 bis 15 – Stapler

Die Radlasten des voll beladenen, dreirädrigen Staplers (Typ Blitz 130 der Firma CESAB) werden jeweils auf eine Fläche von 40x40 cm umgerechnet. Die Lasten werden auf insgesamt neun unterschiedlichen Positionen entlang der Fahrbahnachse aufgebracht.

##### Achslasten beladen:

$$\begin{array}{ll} \text{Vorne:} & 3390 \text{ kg} = 33,9 \text{ kN} \\ \text{Hinten:} & 680 \text{ kg} = 6,8 \text{ kN} \end{array}$$

##### Flächenlast pro Rad:

$$\begin{array}{ll} \text{Vorne:} & 33,9/0,4^2*0,5 = 104,4 \text{ kN/m}^2 \\ \text{Hinten:} & 6,8/0,4^2 = 42,5 \text{ kN/m}^2 \end{array}$$

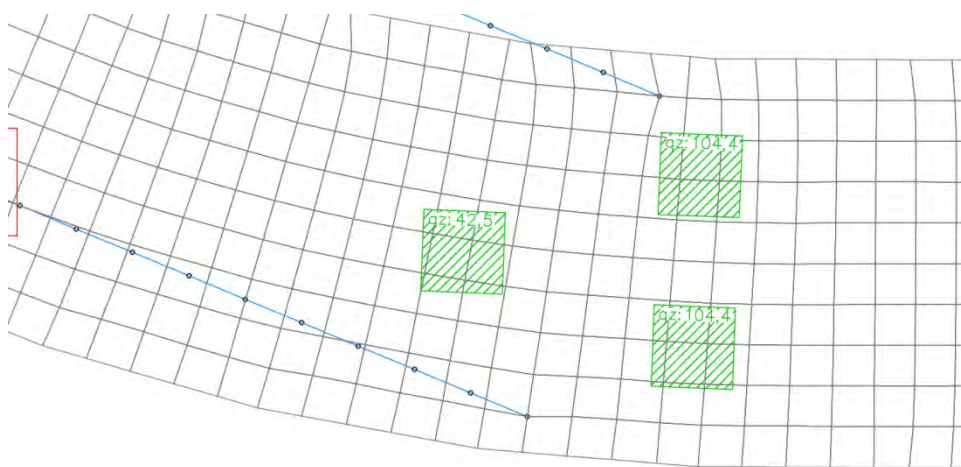


Abbildung 9: Radlasten Stapler - Pos. 4a

#### 4.1.4. Lastfälle 17 und 18 – Temperatur

Auf die Fahrbahnplatte wird jeweils eine, über den Querschnitt konstante, Temperaturänderung von  $+10^\circ\text{C}$  bzw.  $-10^\circ\text{C}$  aufgebracht.

## 5. DEFORMATIONEN

In der Berechnung wurden die Verformungen in den globalen Richtungen x, y und z (siehe Abbildung 5) ermittelt.

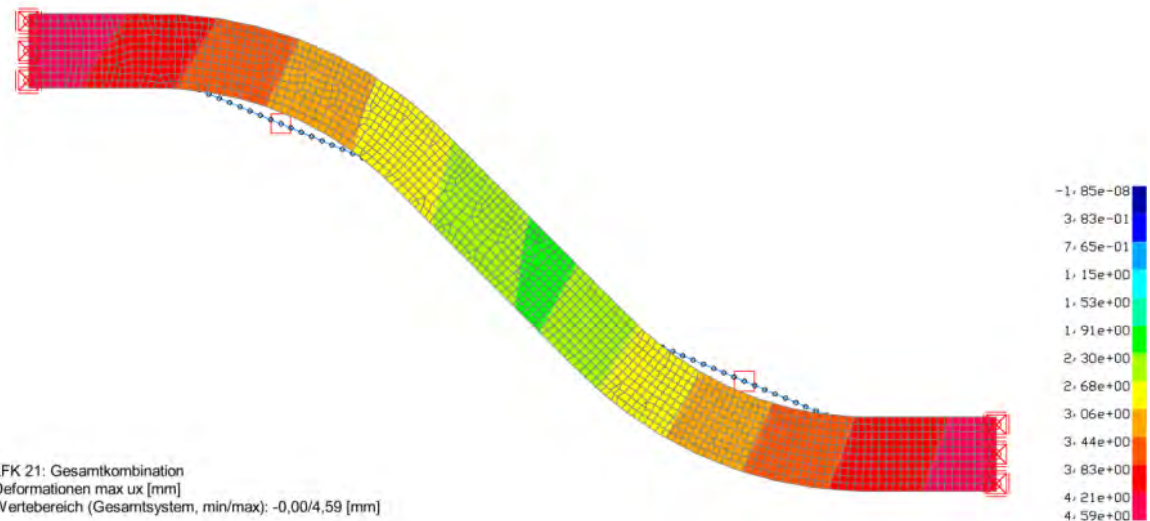


Abbildung 10: Deformationen max ux (min/max): 0,00/4,59 mm

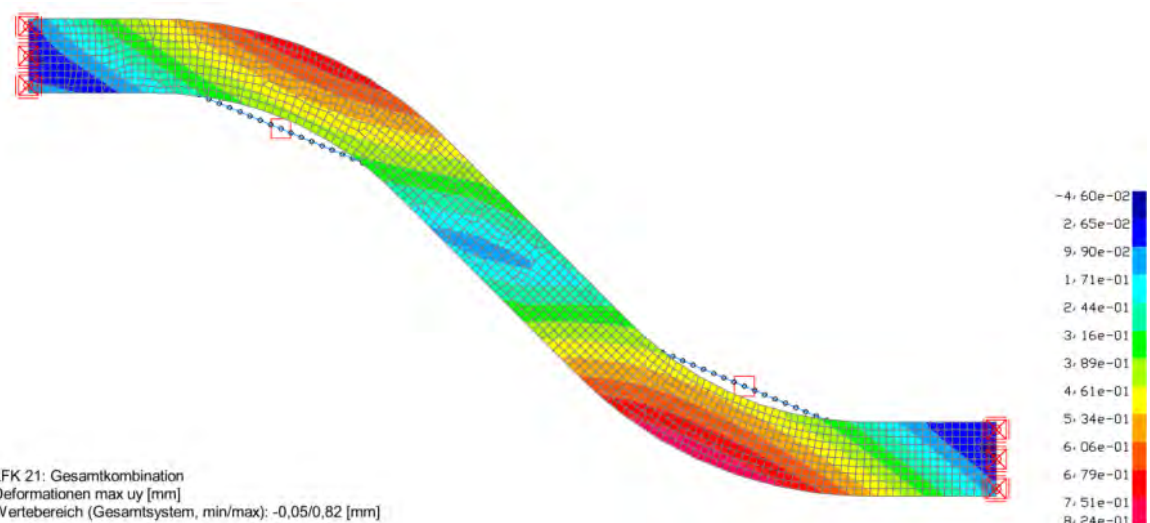


Abbildung 11: Deformationen max uy (min/max): -0,05/0,82 mm

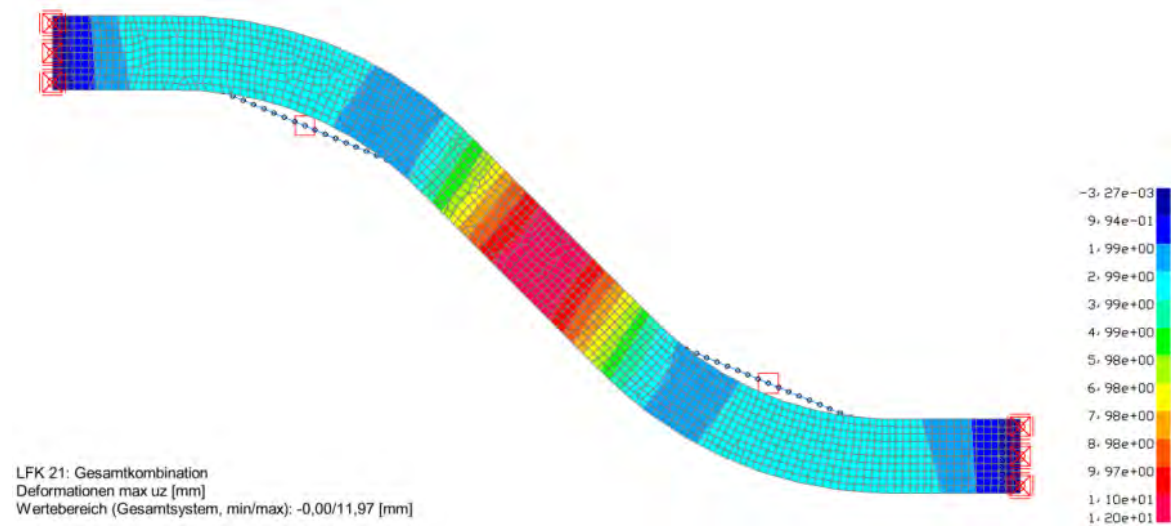


Abbildung 12: Deformationen max uz (min/max): 0,00/11,97 mm



## 6. BEMESSUNG

### 6.1. Fahrbahn

Für die Fahrbahn (Plattenstärke = 30 cm) wurde eine Bemessung der Bewehrung durchgeführt.

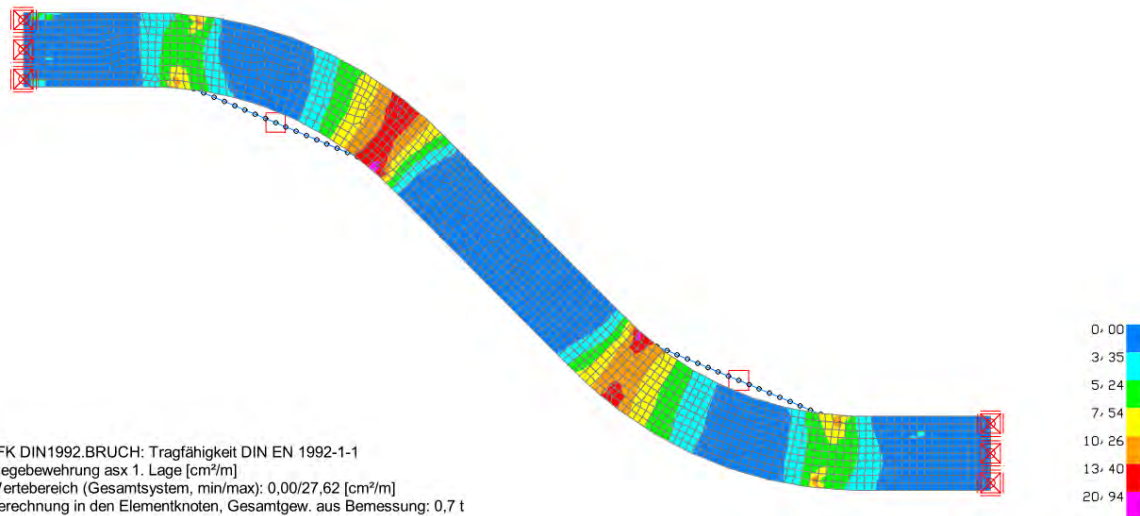


Abbildung 13: Biegebewehrung asx 1. Lage

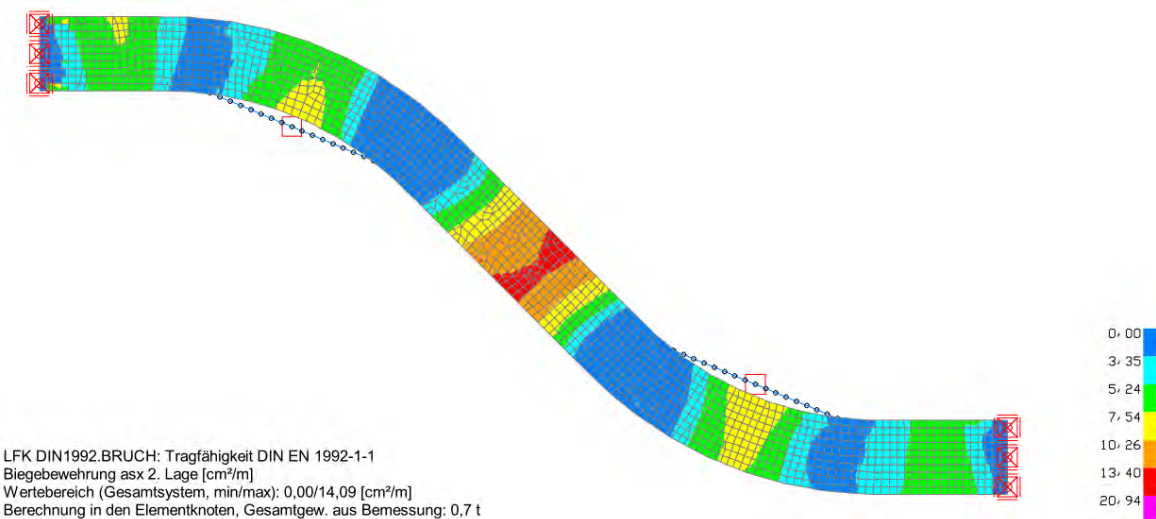


Abbildung 14: Biegebewehrung asx 2. Lage

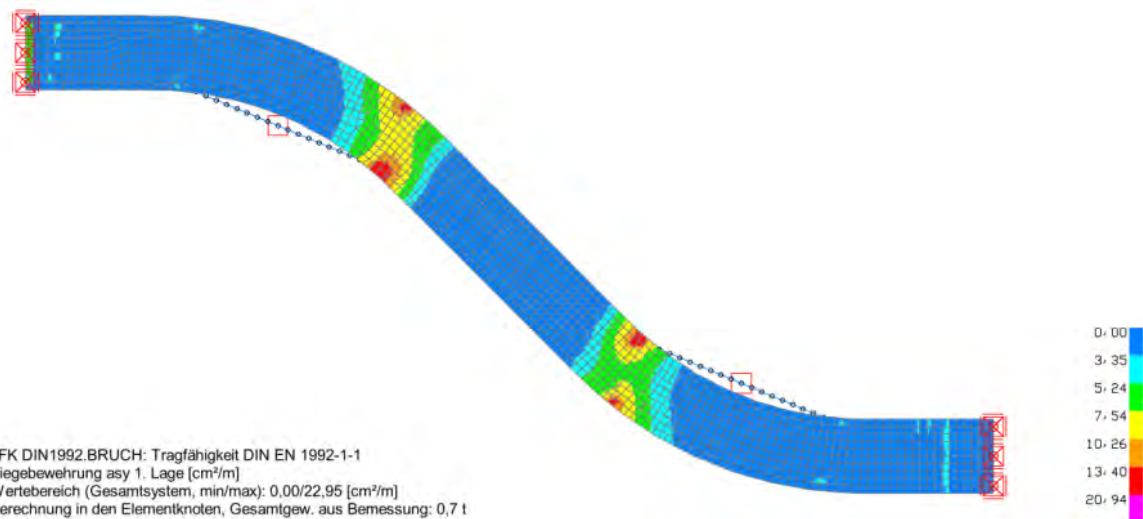


Abbildung 15: Biegebewehrung asy 1. Lage

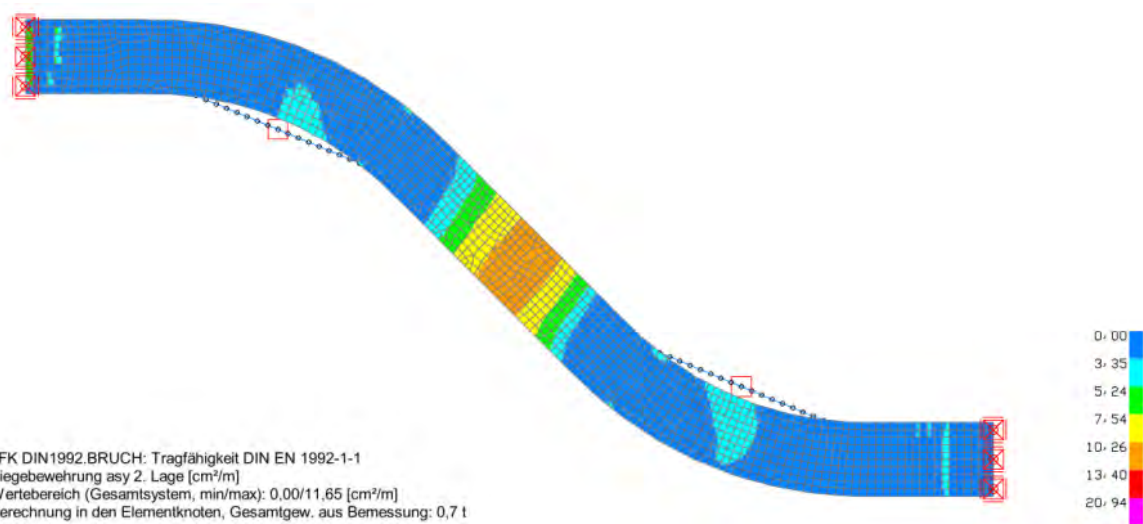


Abbildung 16: Biegebewehrung asy 2. Lage



## 6.2. Stützen

Die Stützen wurden als Pendelstützen aus Stahl mit einem Rohrquerschnitt modelliert. Die folgende Abbildung stellt die maximalen negativen Normalkräfte dar.

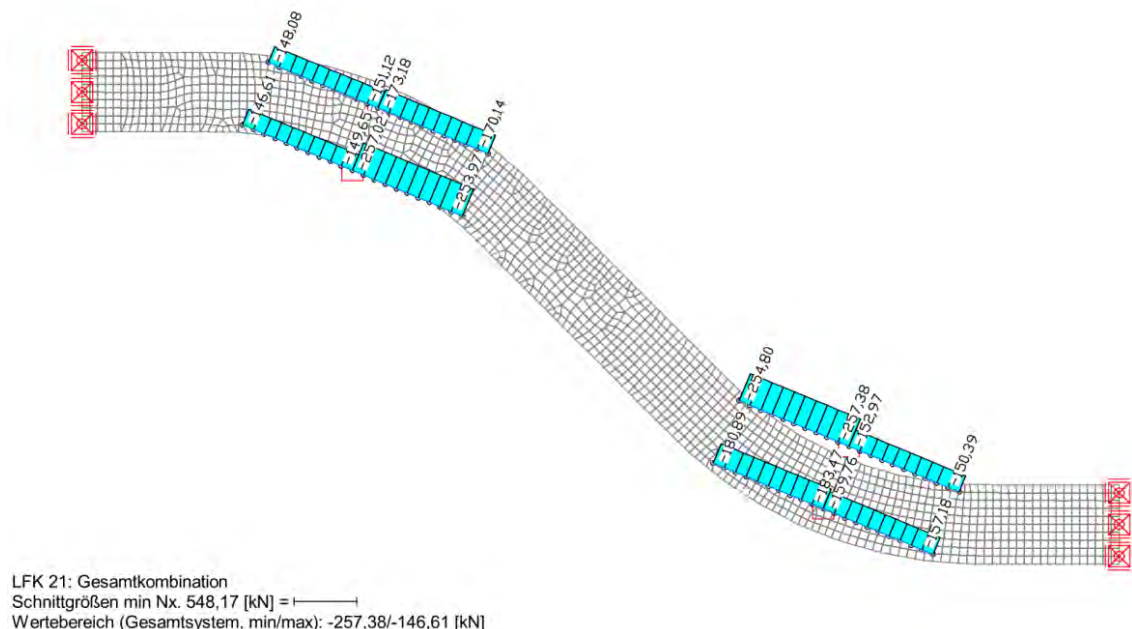


Abbildung 17: Schnittgrößen min Nx (min/max): -257,38/-146,61 kN

Die Bemessung ergab, dass ein Rohrquerschnitt von 193,7x10 mm erforderlich ist.

## 6.3. Auflagerbereiche

### 6.3.1. Krafthaus ES – Riedl

Die Auflagerbank am Krafthaus ES – Riedl wurde mit der maximalen Auflagerkraft von rund 70 kN vorbemessen. Die ermittelte Konsolenhöhe beträgt 30 cm und die Konsolenlänge in Kragrichtung ergibt sich zu 30 cm.

### 6.3.2. Schleusendienstgebäude

Das bestehende Schleusendienstgebäude (Ziegelbau) des KW Jochenstein wird teilweise niedrigerissen (siehe Abbildung 1 und Abbildung 18). Der Abbruch endet bei einer Bauwerksfuge wodurch am Gebäudeteil, welches nicht abgerissen wird, eine 12cm starke Giebelwand überbleibt. Diese Ziegelwand ist auf Grund ihrer Schlankheit nicht Tragfähig (siehe Berechnungen in der Anlage).

Um eine ausreichend widerstandsfähige Auflagersituation für die Übergangsbrücke zu schaffen wurde eine 40 cm bzw. 25 cm starke Stahlbetonwand (Mindestbewehrung) vorgeschlagen (siehe Abbildung 19). Diese Wand soll an Stelle der vorhandenen Ziegelwand errichtet werden. Die Auflagerkonsole erhält dieselben Abmessungen, wie jene am neuen Krafthaus.

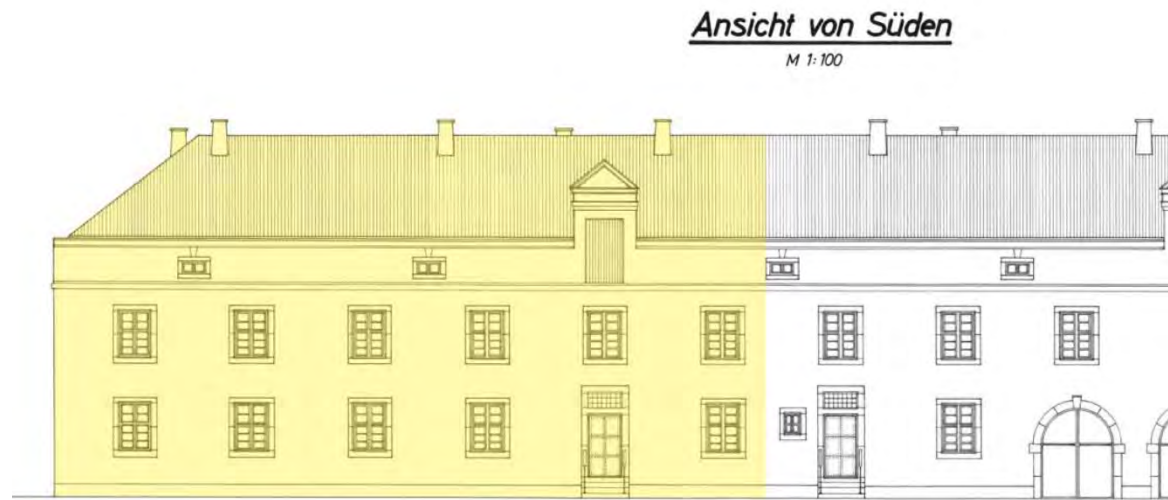


Abbildung 18: Schleusendienstgebäude (Abbruch gelb markiert)

Die Art und Weise wie dieser „Austausch“ durchgeführt wird, ist Gegenstand der Ausführungs- bzw. Detailplanung.

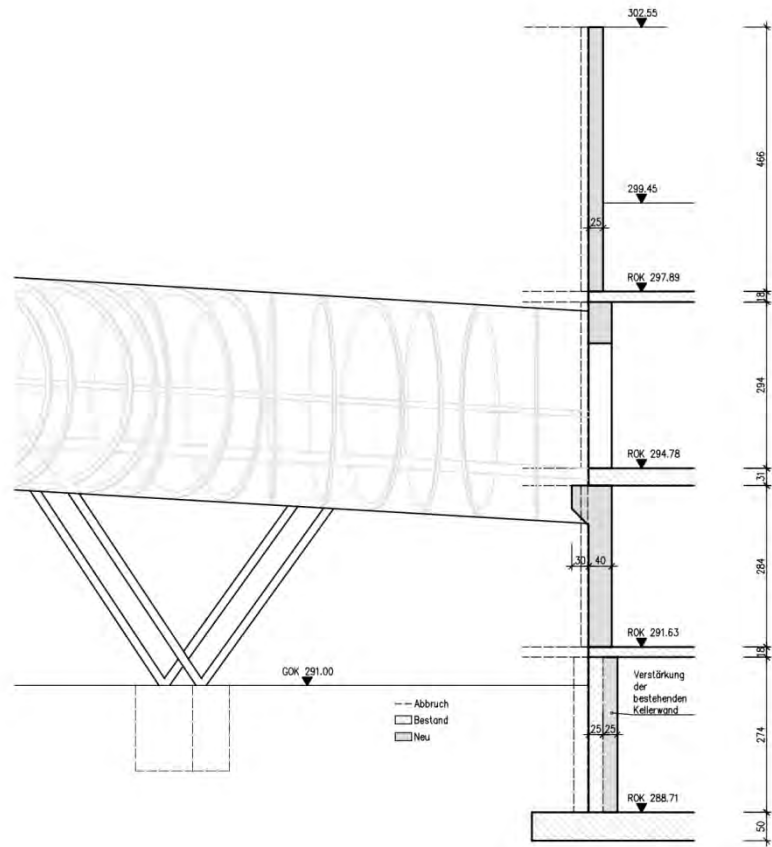


Abbildung 19: Schleusendienstgebäude – Giebelwand aus Stahlbeton

## 7. ZUSAMMENFASSUNG

Im vorliegenden Bericht wurde eine Vorstatik der Übergangsbrücke durchgeführt. Mit den Berechnungen wurde eine Vordimensionierung der verschiedenen Querschnitte durchgeführt und in weiterer Folge die Machbarkeit nachgewiesen. In der Ausführungsplanung sind weitere detaillierte statische Berechnungen erforderlich. Die Übergangsbrücke wurde mit der FE-Software InfoGraph modelliert und Bemessen. Die Betonplatte wurde durch Schalenelemente und die Stützen als Biegestäbe mit Momentengelenken idealisiert und diskretisiert.

Die Variantenuntersuchung hat ergeben, dass die Fahrbahnplatte mindestens 30 cm dick sein soll, um die Durchbiegungen zu begrenzen sowie einen ausreichenden Durchstanzwiderstand im Anschlussbereich der Stützen zu gewährleisten. Die erforderliche Grundbewehrung beträgt Ø16/15 für beide Bewehrungslagen.

Für die Stahlstützen wurde ein Rohrquerschnitt Ø194 mm mit einer Wandstärke von 10 mm ermittelt.

Die Verformungen des Bauwerks in Längs- und Querrichtung der Platte können mit ca. 5 mm bzw. ca. 1 mm können mit beweglichen Auflagern aufgenommen werden. Die maximale Durchbiegung von ca. 12 mm liegt im zulässigen Bereich.

Die Lasten der Brückenlager können am zukünftigen Krafthaus mit einer Konsole (Auskragung 30 cm und 30 cm hoch) abgetragen werden.

Die Brücke schließt am anderen Ende an das bestehende Schleusendienstgebäude an. Dieses Gebäude (Ziegelbau) wird teilweise niedergeissen. Um die Auflagerkräfte in den Untergrund leiten zu können wurde im Austausch zur bestehenden Ziegelwand ( $d = 12$  cm), eine neu zu errichtende Giebelwand aus Stahlbeton ( $d = 40$  cm bzw. 25 cm) vorgeschlagen. Der Auflagerbereich für die Brücke wird in die neue Giebelwand integriert. Die Abmessungen dieser Konsole gleichen jenen am neuen Krafthaus. Weitere Untersuchungen, Anpassungen an den Bestand sowie Bemessungen werden in der Detailplanung durchgeführt.

## 8. ANLAGE

In der Anlage sind die wichtigsten Eingabedaten, Datenblätter sowie exemplarisch die typischen Ergebnisse der Bemessung zusammengefasst.



**INHALT**

Inhalt .....	1
Materialkennwerte .....	2
Querschnittswerte .....	2
Finite Elemente .....	2
<b>Lasten</b>	
Lastfallbezeichnungen .....	3
Lastsummen .....	3
LF 2: Belastung, NL_1_5_kN/m2 .....	5
LF 3: Belastung, NL_2_5_kN/m2 .....	6
LF 4: Belastung, NL_3_5_kN/m2 .....	7
LF 5: Belastung, NL_4_5_kN/m2 .....	8
LF 6: Belastung, NL_5_5_kN/m2 .....	9
LF 7: Belastung, Stapler_Pos_1 .....	10
LF 12: Belastung, Stapler_Pos_1a .....	11
LF 8: Belastung, Stapler_Pos_2 .....	12
LF 13: Belastung, Stapler_Pos_2a .....	13
LF 9: Belastung, Stapler_Pos_3 .....	14
LF 14: Belastung, Stapler_Pos_3a .....	15
LF 10: Belastung, Stapler_Pos_4 .....	16
LF 15: Belastung, Stapler_Pos_4a .....	17
LF 11: Belastung, Stapler_Pos_5 .....	18
LF 17: Belastung, Temperatur_+10°C .....	19
LF 18: Belastung, Temperatur_-10°C .....	20

**DIN EN 1992-1-1 Bemessung**

Einwirkungen DIN EN 1992-1-1 Bemessung .....	21
Bemessungsvorgaben DIN EN 1992-1-1 .....	21

**Ergebnisse**

Auflagerreaktionen Rx min; LFK K21, Gesamtkombination .....	23
Auflagerreaktionen Rx max; LFK K21, Gesamtkombination .....	24
Auflagerreaktionen Ry min; LFK K21, Gesamtkombination .....	25
Auflagerreaktionen Ry max; LFK K21, Gesamtkombination .....	26
Auflagerreaktionen Rz min; LFK K21, Gesamtkombination .....	27
Auflagerreaktionen Rz max; LFK K21, Gesamtkombination .....	28
Deformationen ux min; 1. Ständige und vorübergehende Situation, DIN EN 1992-1-1 .....	29
Deformationen ux max; 1. Ständige und vorübergehende Situation, DIN EN 1992-1-1 .....	30
Deformationen uy min; 1. Ständige und vorübergehende Situation, DIN EN 1992-1-1 .....	31
Deformationen uy max; 1. Ständige und vorübergehende Situation, DIN EN 1992-1-1 .....	32
Deformationen uz max; 1. Ständige und vorübergehende Situation, DIN EN 1992-1-1 .....	33
Deformationen uz min; 1. Ständige und vorübergehende Situation, DIN EN 1992-1-1 .....	34
Schnittgrößen Nx min; LFK K21, K1 .....	35
Schnittgrößen Nx max; LFK K21, K1 .....	36
Biegebewehrung asx 1. Lage; Tragfähigkeit DIN EN 1992-1-1 .....	37
Biegebewehrung asx 2. Lage; Tragfähigkeit DIN EN 1992-1-1 .....	38
Biegebewehrung asy 1. Lage; Tragfähigkeit DIN EN 1992-1-1 .....	39
Biegebewehrung asy 2. Lage; Tragfähigkeit DIN EN 1992-1-1 .....	40

Finite Elemente 11.30 x64 © InfoGraph GmbH		Vordimensionierung_Verbindungsbrücke_final.fem - 20.04.2012 10:58:40 - Blatt 2						
<b>Materialkennwerte</b>								
1	Nr.	Art	E-Modul [MN/m <sup>2</sup> ]	G-Modul [MN/m <sup>2</sup> ]	Quer-dehnz.	alpha.t [1/K]	gamma [kN/m <sup>3</sup> ]	
1	1	C25/30-EN-D	31000	12900	0,20	1,000e-05	25,000	
2	4	S235	210000	81000	0,30	1,200e-05	78,500	

**Querschnittswerte**

1	Fläche	Platte_30	Elementdicke [m]	dz = 0,3000	drillsteif
			Orthotropie dz/dz	= 1	
			E-Modul Platte/Scheibe	= 1	
4	Bibliothek	RO 193,7 x 10 (MSH); Stütze_Rohr_194x10	Schwerpunkt [m]	ys = 0,000	zs = 0,000
			Fläche [m <sup>2</sup> ]	A = 5,7700e-03	
			Trägheitsmomente [m <sup>4</sup> ]	lx = 4,8800e-05	ly = 0,0000e+00
				lz = 2,4400e-05	I1 = 2,4400e-05
					I2 = 2,4400e-05
			Hauptachsenwinkel [Grad]	Phi = 0,000	
				Mittelung der Querkraft-Schubspannungen über die Qu.-breite	
			0,1937		

**Finite Elemente****Materialkennwerte**

Nr.	Material- Art	E-Modul [MN/m <sup>2</sup> ]	G-Modul [MN/m <sup>2</sup> ]	Quer- dehn.	alpha.t [1/K]	gamma [kN/m <sup>3</sup> ]
1	C25/30-EN-D	31000	12900	0,20	1,000e-05	25,000
4	S235	210000	81000	0,30	1,200e-05	78,500

**Kriech- und Schwindbeiwerte**

Material	phi.t	rho	epsilon.s
1	0,000	0,800	0,00E-05

**Querschnittswerte**

Nr.	1	FL	d=0,3	A = 3,000e-01 [m <sup>2</sup> ], Iy = 2,250e-03 [m <sup>4</sup> ]
Nr.	4	RO	193,7 x 10 (MSH)	A = 5,770e-03 [m <sup>2</sup> ] Ix = 4,880e-05 [m <sup>4</sup> ], Iy = 2,440e-05 [m <sup>4</sup> ], Iz = 2,440e-05 [m <sup>4</sup> ]

**Systemkenngrößen**

Knoten	1805
Elemente	1642
Festhaltungen	10
Unbekannte	10830
Bandbreite	258
Steifigkeitsmatrix	12,2 MB
Massenmatrix	2,1 MB

**Lastfall-Übersicht**

LF-Nr.	Bezeichnung
1	Eigengewicht
2	NL_1_5_kN/m2
3	NL_2_5_kN/m2
4	NL_3_5_kN/m2
5	NL_4_5_kN/m2
6	NL_5_5_kN/m2
7	Stapler_Pos_1
8	Stapler_Pos_2
9	Stapler_Pos_3
10	Stapler_Pos_4
11	Stapler_Pos_5
12	Stapler_Pos_1a
13	Stapler_Pos_2a
14	Stapler_Pos_3a
15	Stapler_Pos_4a
17	Temperatur_+10°C
18	Temperatur_-10°C

**Lastfall-Bezeichnung**

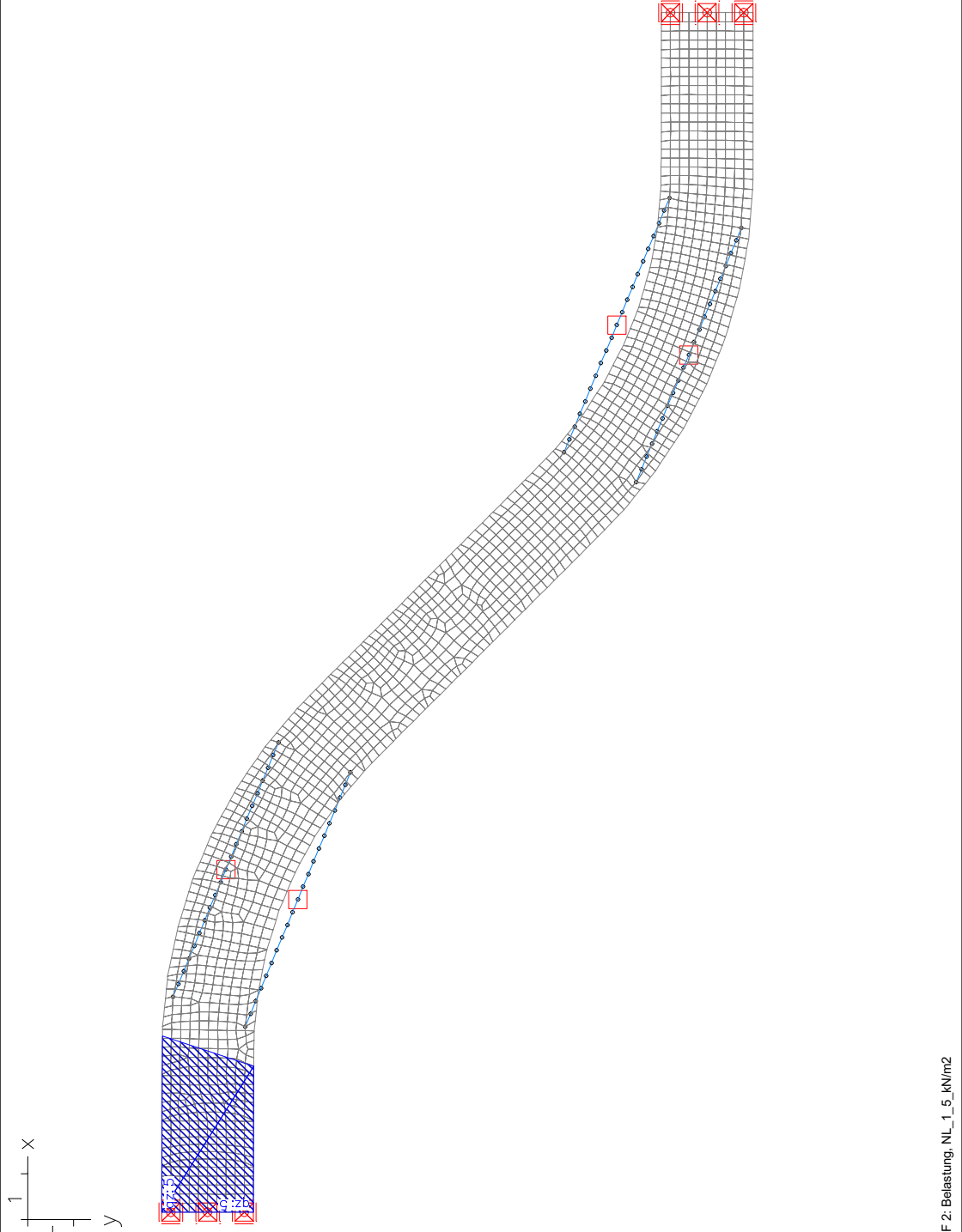
	Lastfall	Bezeichnungstext
1	1	Eigengewicht
2	2	NL_1_5_kN/m2
3	3	NL_2_5_kN/m2
4	4	NL_3_5_kN/m2
5	5	NL_4_5_kN/m2
6	6	NL_5_5_kN/m2
7	7	Stapler_Pos_1
8	8	Stapler_Pos_2
9	9	Stapler_Pos_3
10	10	Stapler_Pos_4
11	11	Stapler_Pos_5
12	12	Stapler_Pos_1a
13	13	Stapler_Pos_2a
14	14	Stapler_Pos_3a
15	15	Stapler_Pos_4a
16	17	Temperatur_+10°C
17	18	Temperatur_-10°C

**Summe der aufgebrachten Lasten und Auflagerreaktionen**

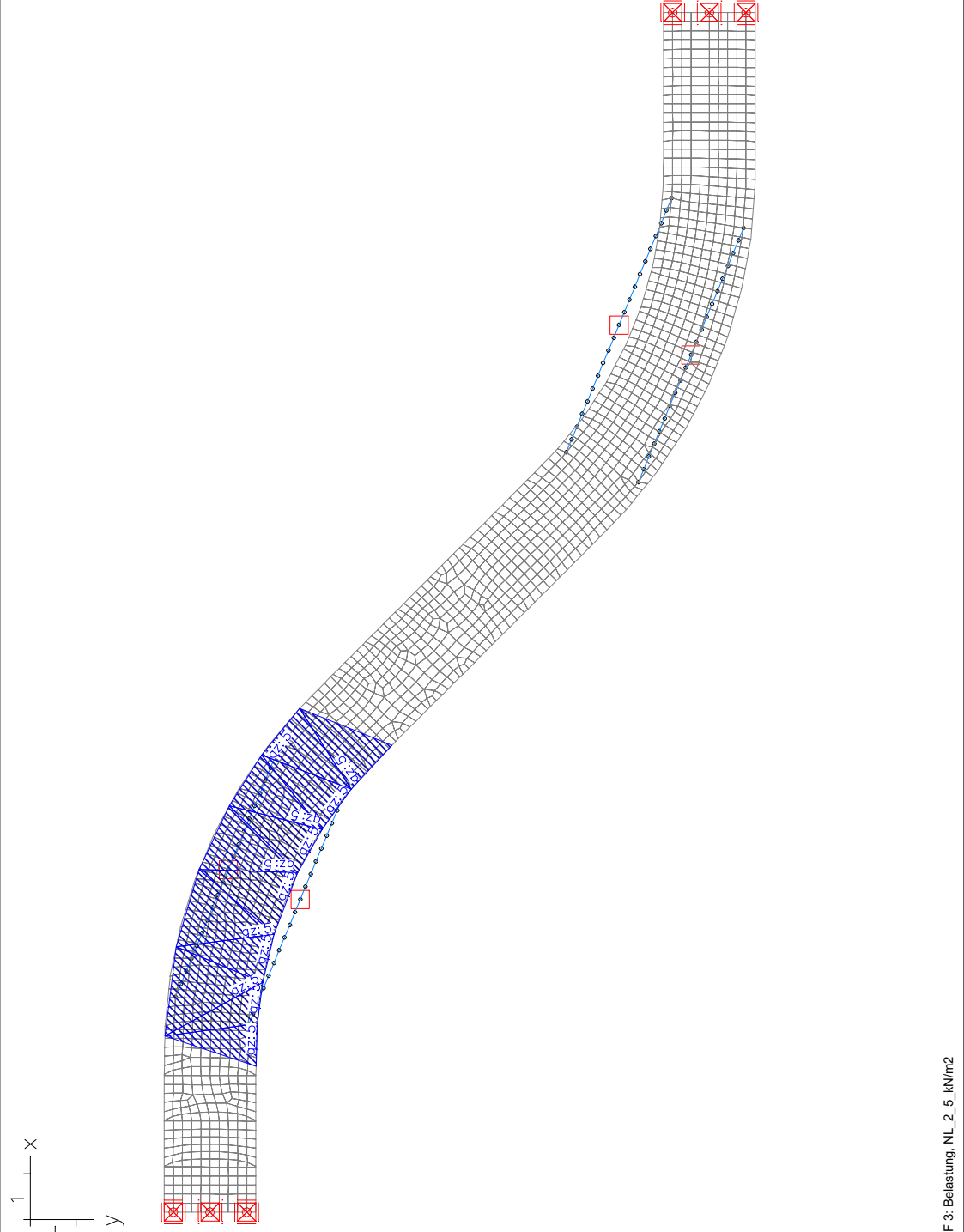
LF.	Bezeichnung	Fx [kN]	Fy [kN]	Fz [kN]
	Auflagerreaktionen	0,000	0,000	40,208
8	Stapler_Pos_2 Auflagerreaktionen	0,000 -0,000	0,000 0,000	40,208 40,208
9	Stapler_Pos_3 Auflagerreaktionen	0,000 0,000	0,000 0,000	40,208 40,208
10	Stapler_Pos_4 Auflagerreaktionen	0,000 -0,000	0,000 -0,000	40,208 40,208
11	Stapler_Pos_5 Auflagerreaktionen	0,000 -0,000	0,000 -0,000	40,208 40,208
12	Stapler_Pos_1a Auflagerreaktionen	0,000 0,000	0,000 0,000	40,208 40,208
13	Stapler_Pos_2a Auflagerreaktionen	0,000 -0,000	0,000 -0,000	40,208 40,208
14	Stapler_Pos_3a Auflagerreaktionen	0,000 0,000	0,000 0,000	40,208 40,208
15	Stapler_Pos_4a Auflagerreaktionen	0,000 -0,000	0,000 -0,000	40,208 40,208
17	Temperatur_+10°C Auflagerreaktionen	-0,000 -0,000	-0,000 0,000	0,000 -0,000
18	Temperatur_-10°C Auflagerreaktionen	0,000 0,000	0,000 -0,000	0,000 0,000

**Summe der aufgebrachten Lasten und Auflagerreaktionen**

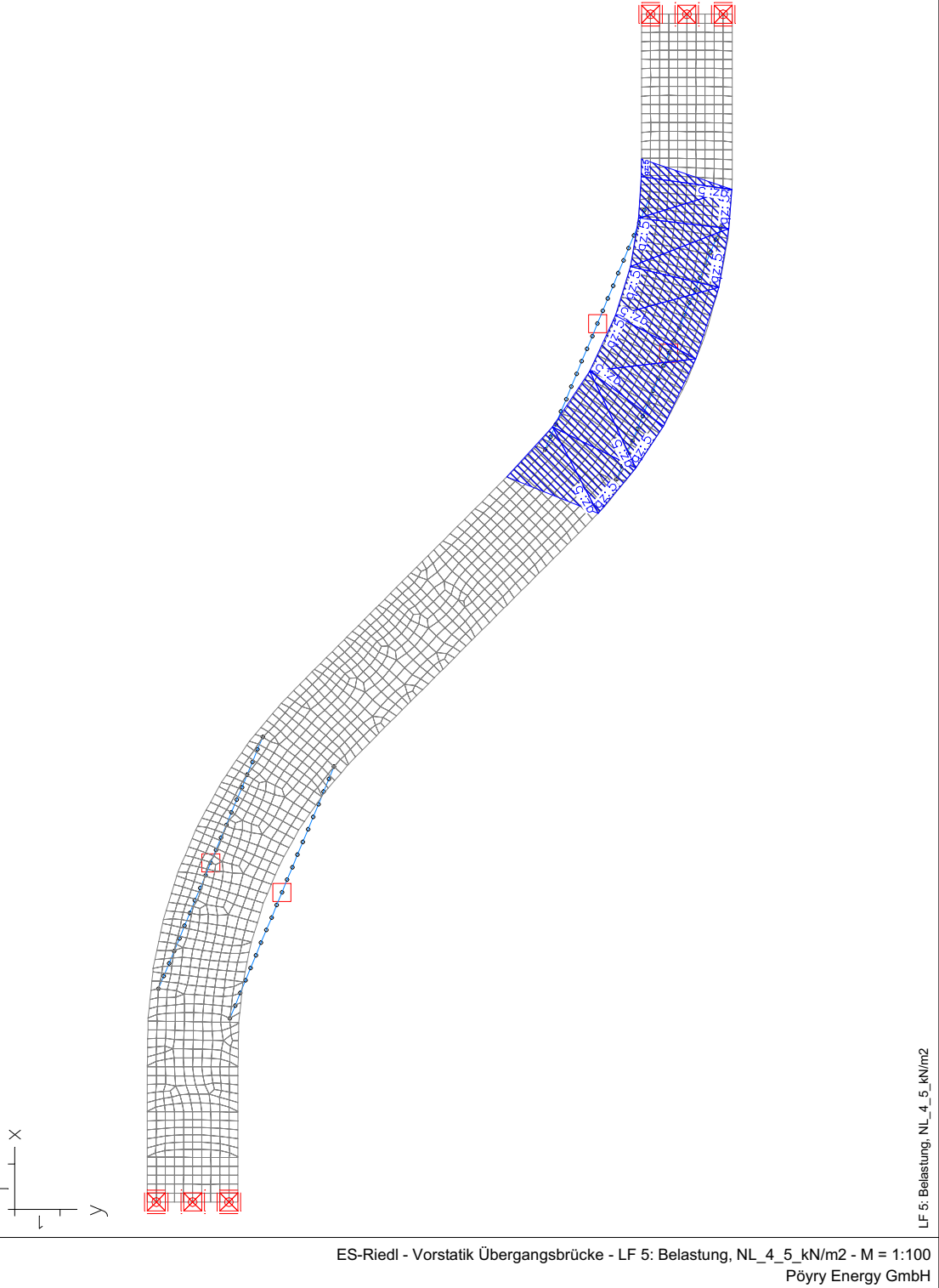
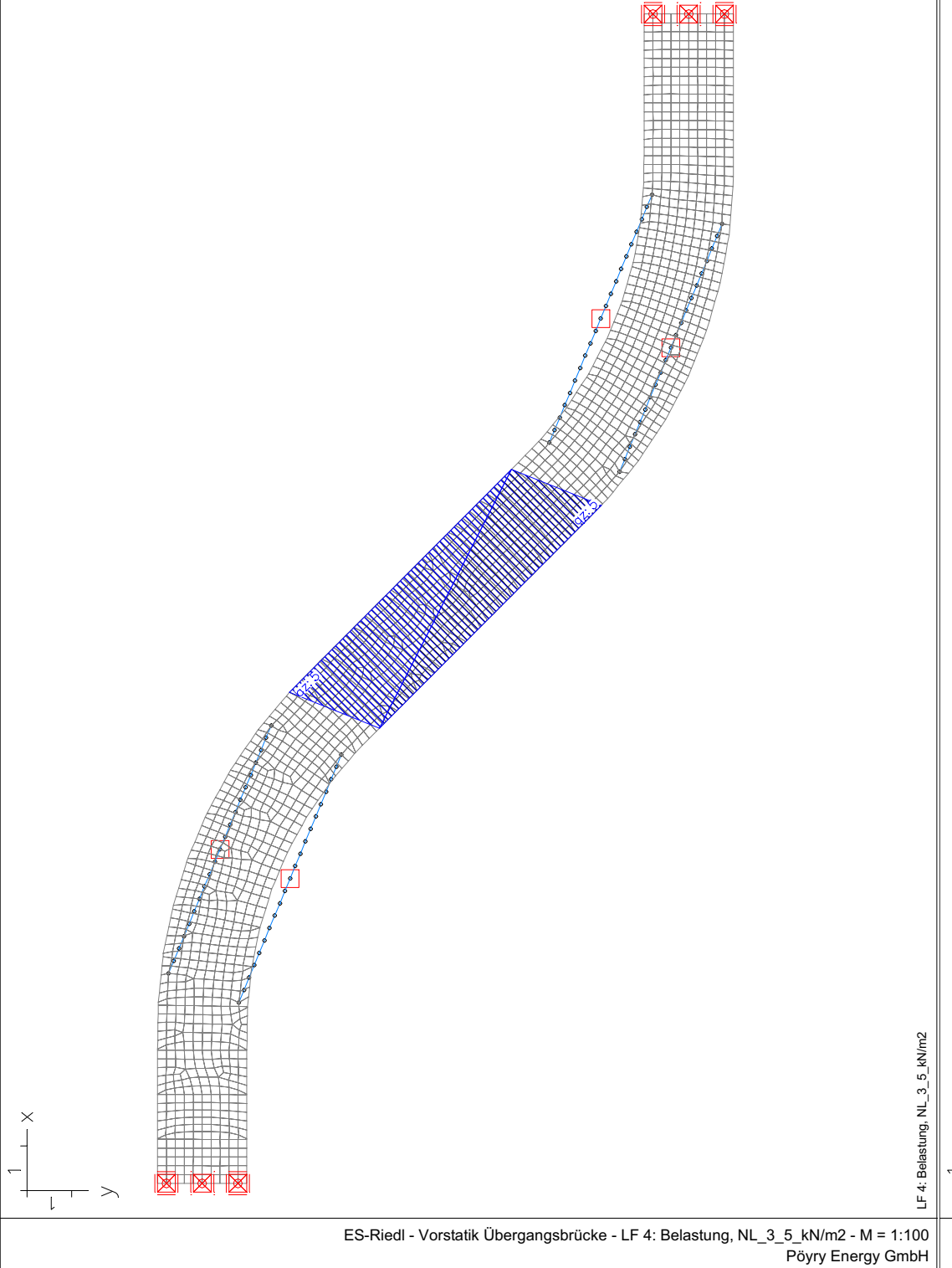
LF.	Bezeichnung	Fx [kN]	Fy [kN]	Fz [kN]
1	Eigengewicht Auflagerreaktionen	0,000 0,000	0,000 0,000	616,043 616,043
2	NL_1_5_kN/m2 Auflagerreaktionen	0,000 0,000	0,000 0,000	35,046 35,046
3	NL_2_5_kN/m2 Auflagerreaktionen	0,000 -0,000	0,000 -0,000	77,840 77,840
4	NL_3_5_kN/m2 Auflagerreaktionen	0,000 0,000	0,000 0,000	70,102 70,102
5	NL_4_5_kN/m2 Auflagerreaktionen	0,000 -0,000	0,000 0,000	78,257 78,257
6	NL_5_5_kN/m2 Auflagerreaktionen	0,000 -0,000	0,000 -0,000	35,191 35,191
7	Stapler_Pos_1	0,000	0,000	40,208

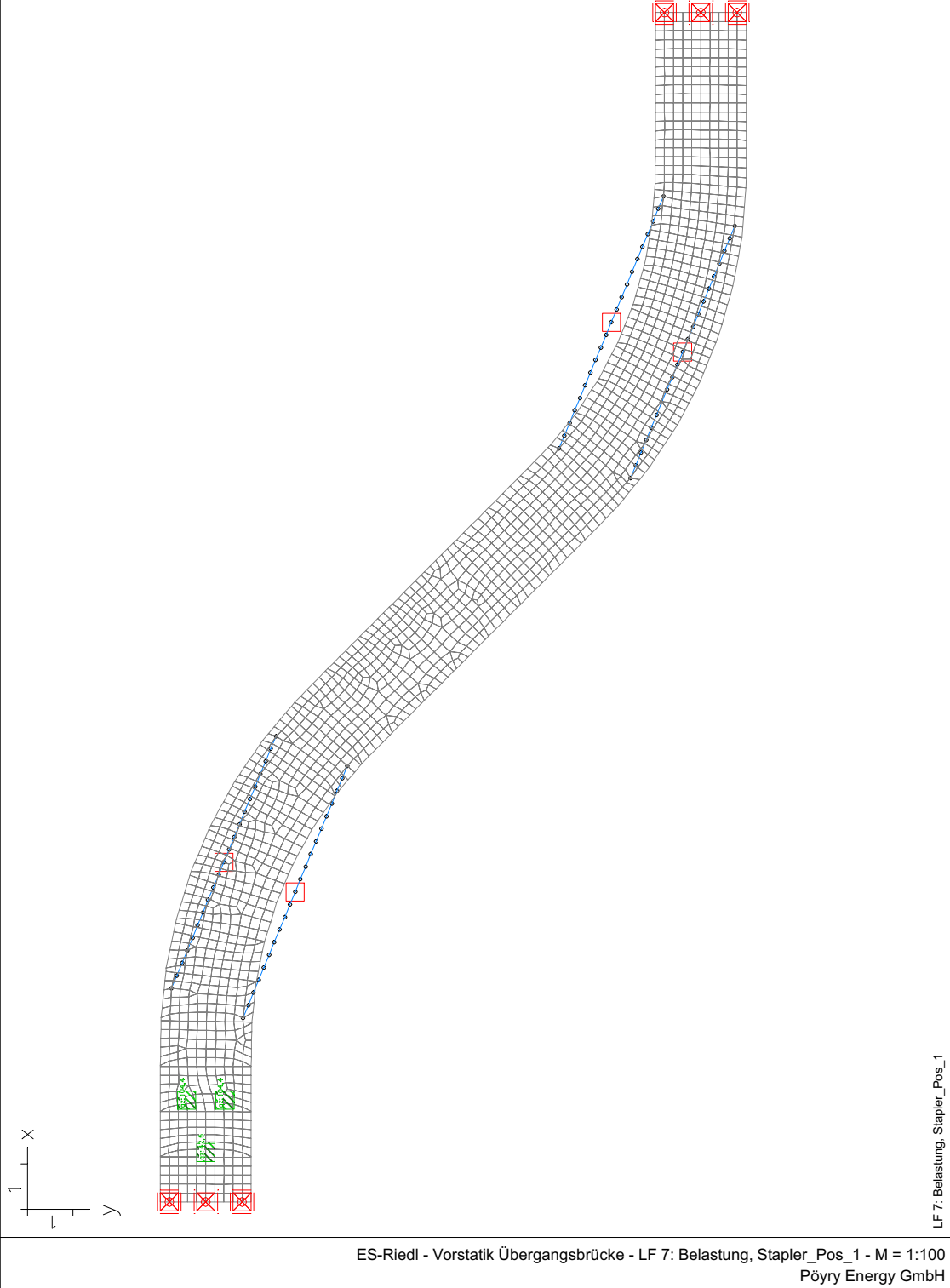
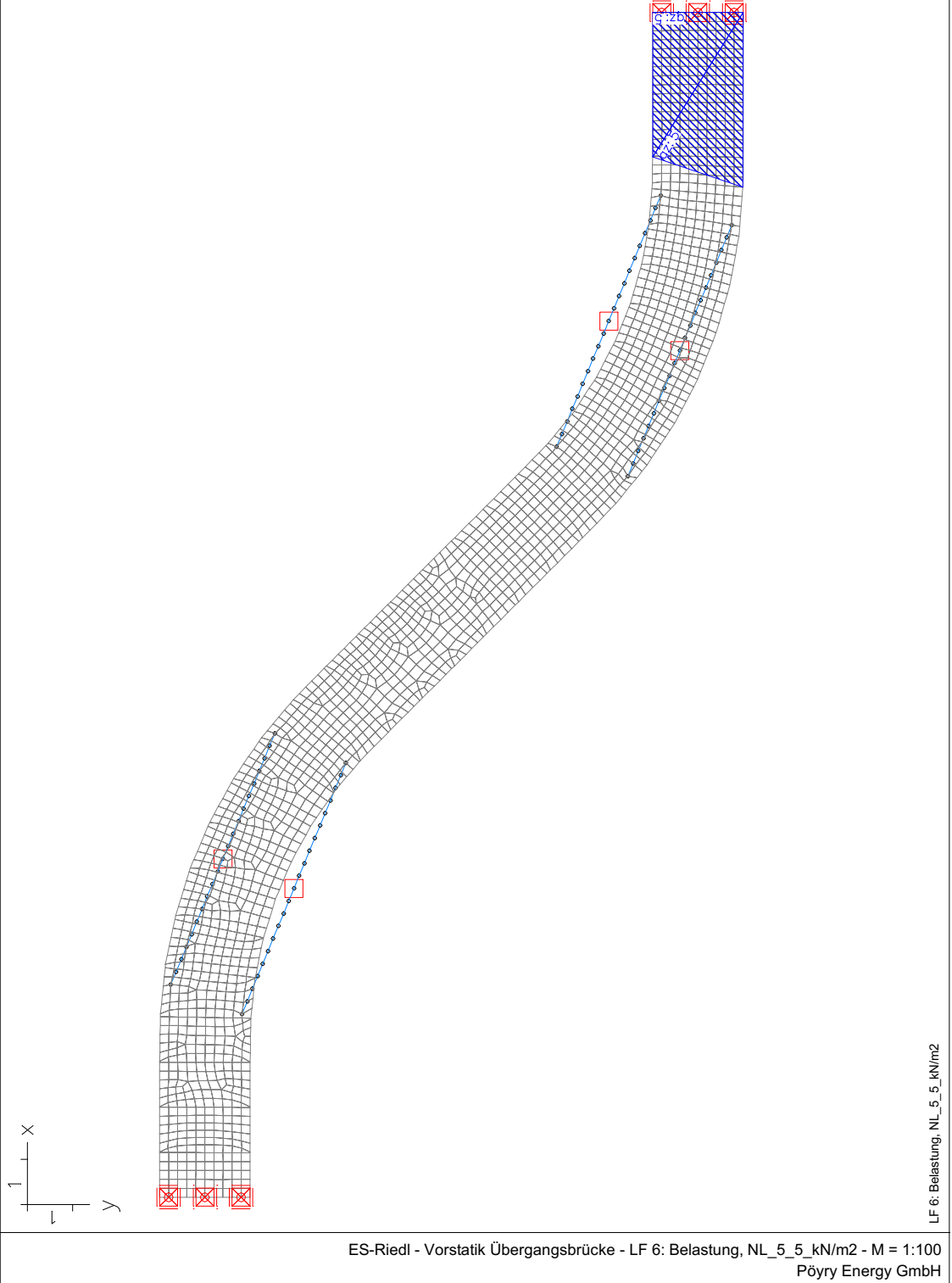


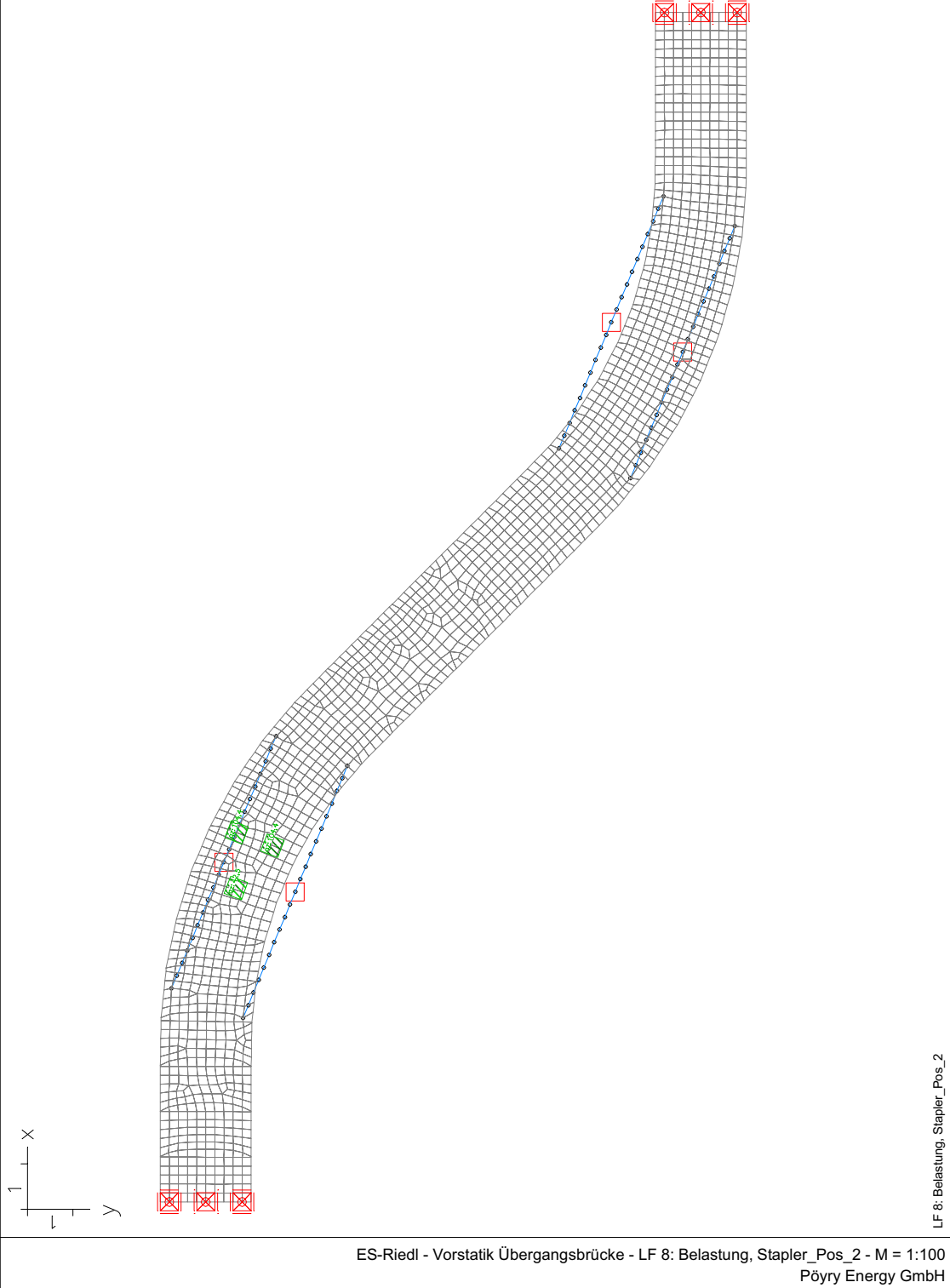
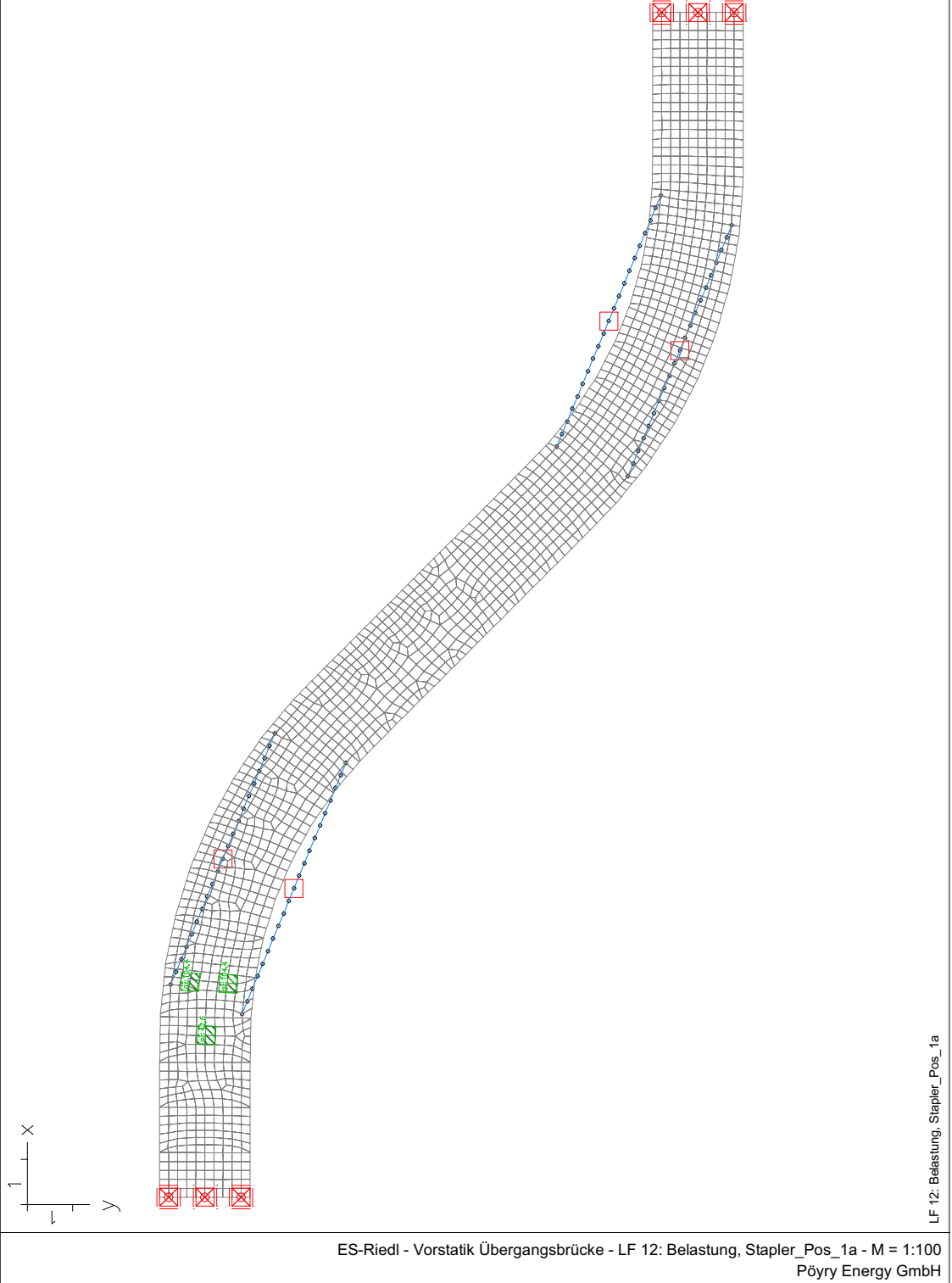
ES-Riedl - Vorstatik Übergangsbrücke - LF 2: Belastung, NL\_1\_5\_kN/m<sup>2</sup> - M = 1:100  
Pöry Energy GmbH

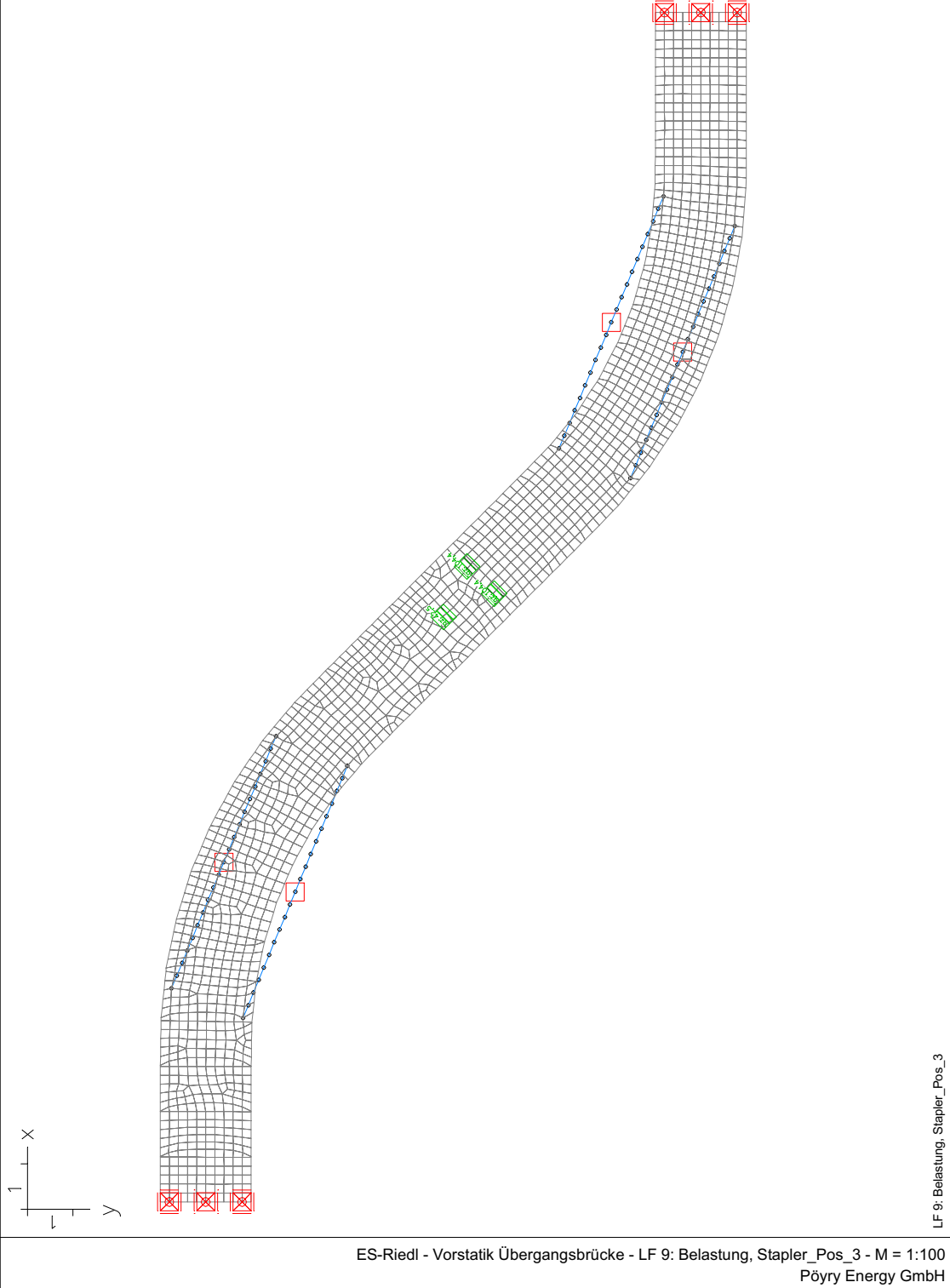
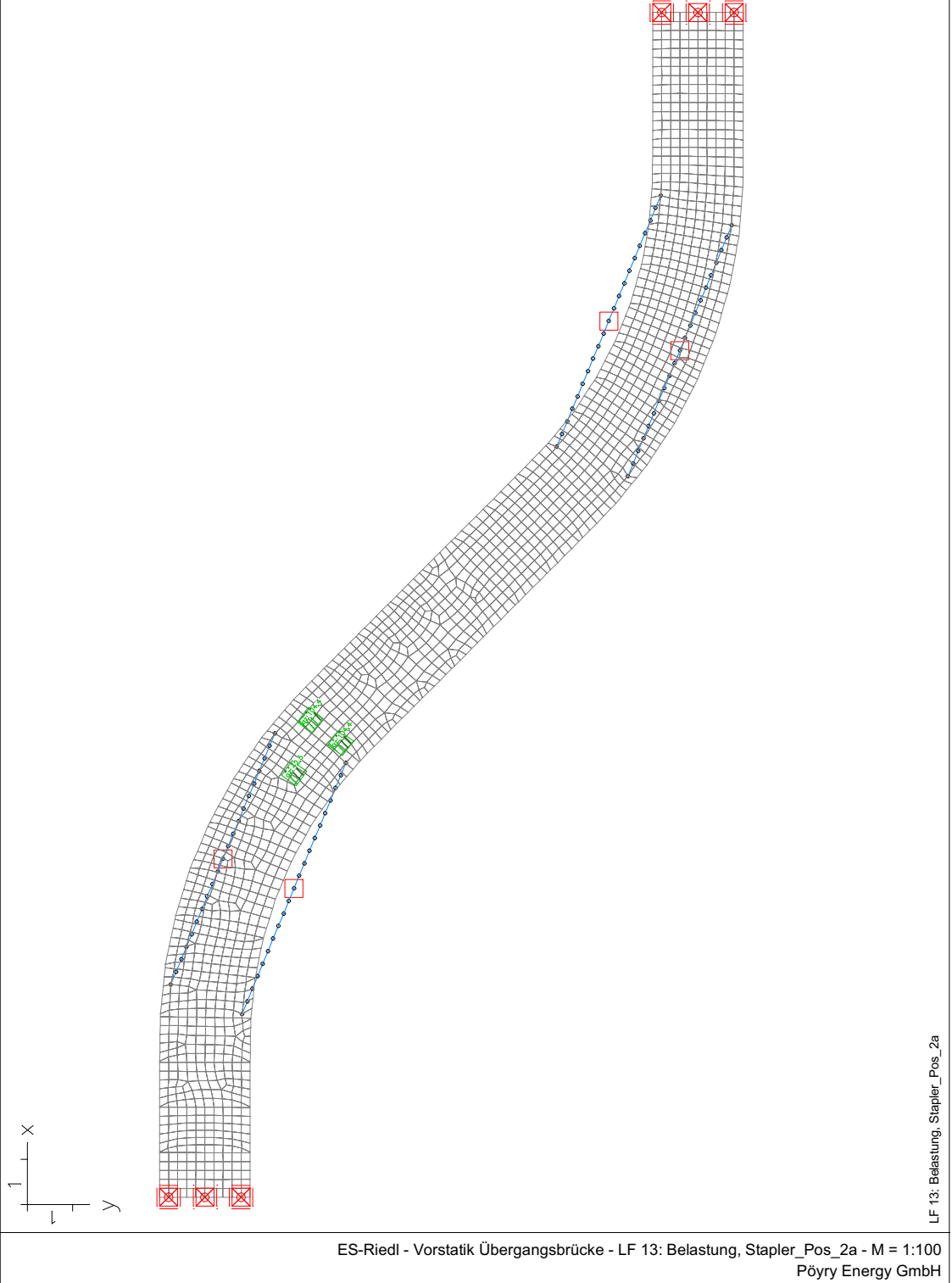


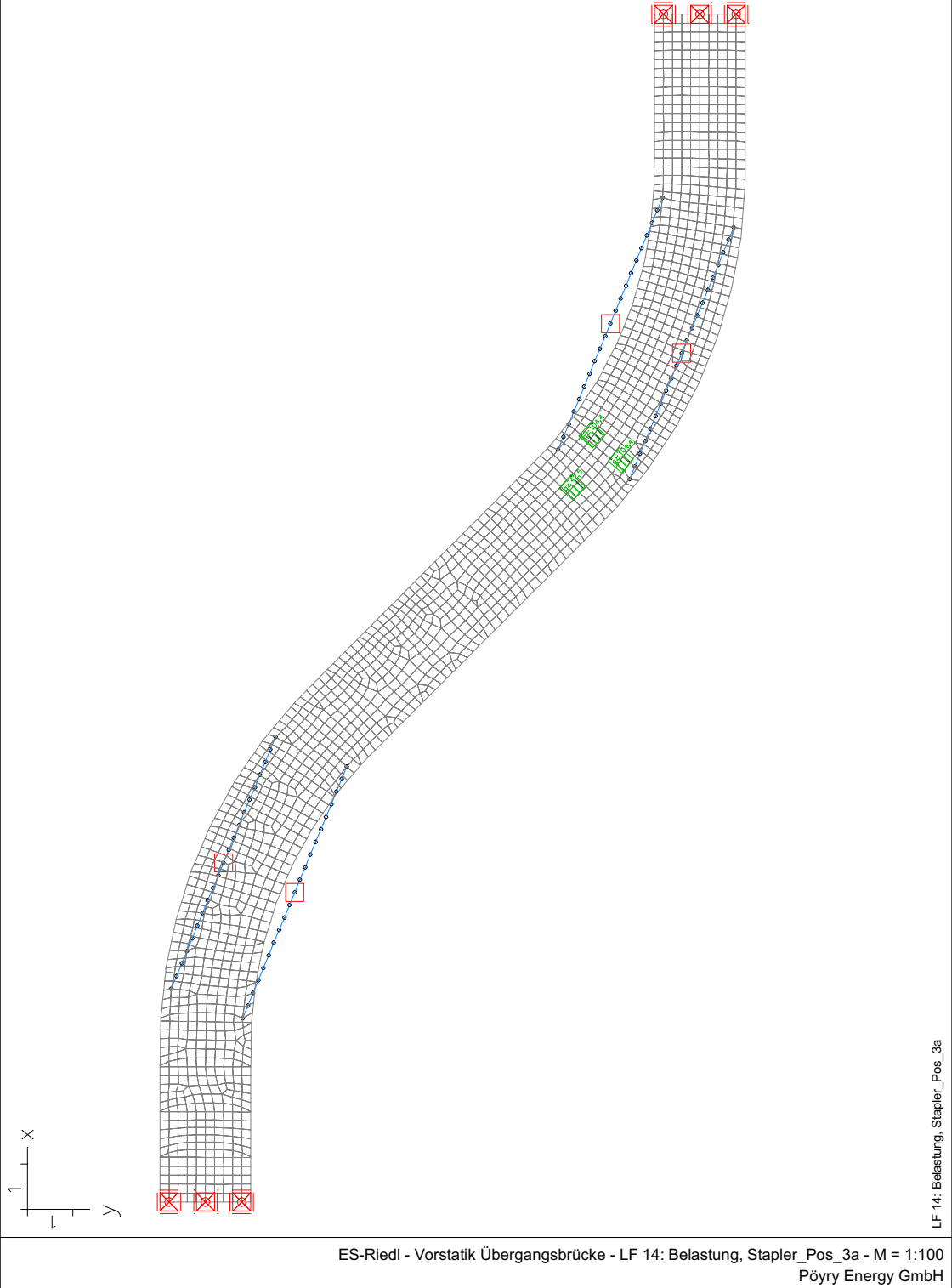
ES-Riedl - Vorstatik Übergangsbrücke - LF 3: Belastung, NL\_2\_5\_kN/m<sup>2</sup> - M = 1:100  
Pöry Energy GmbH



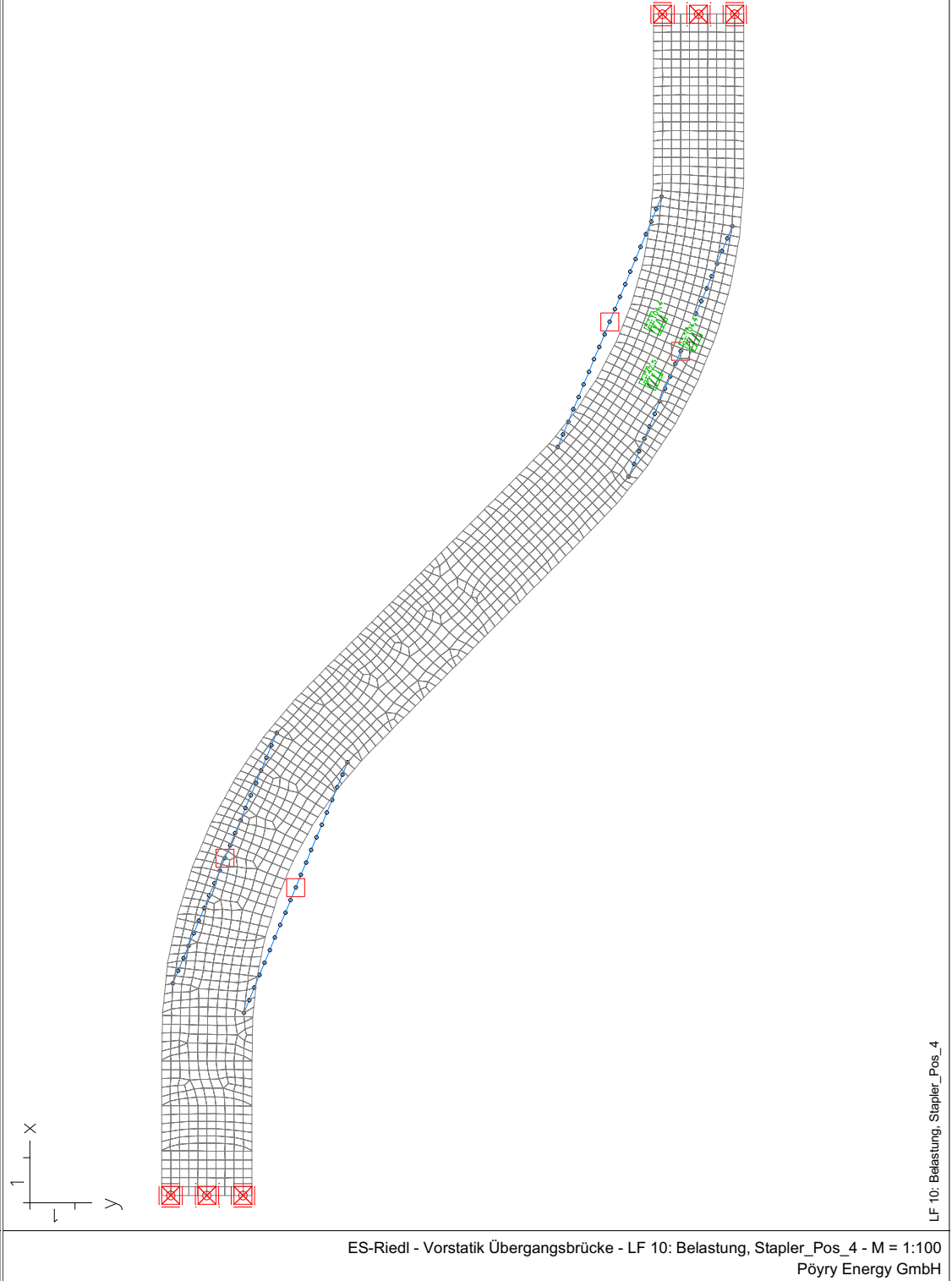




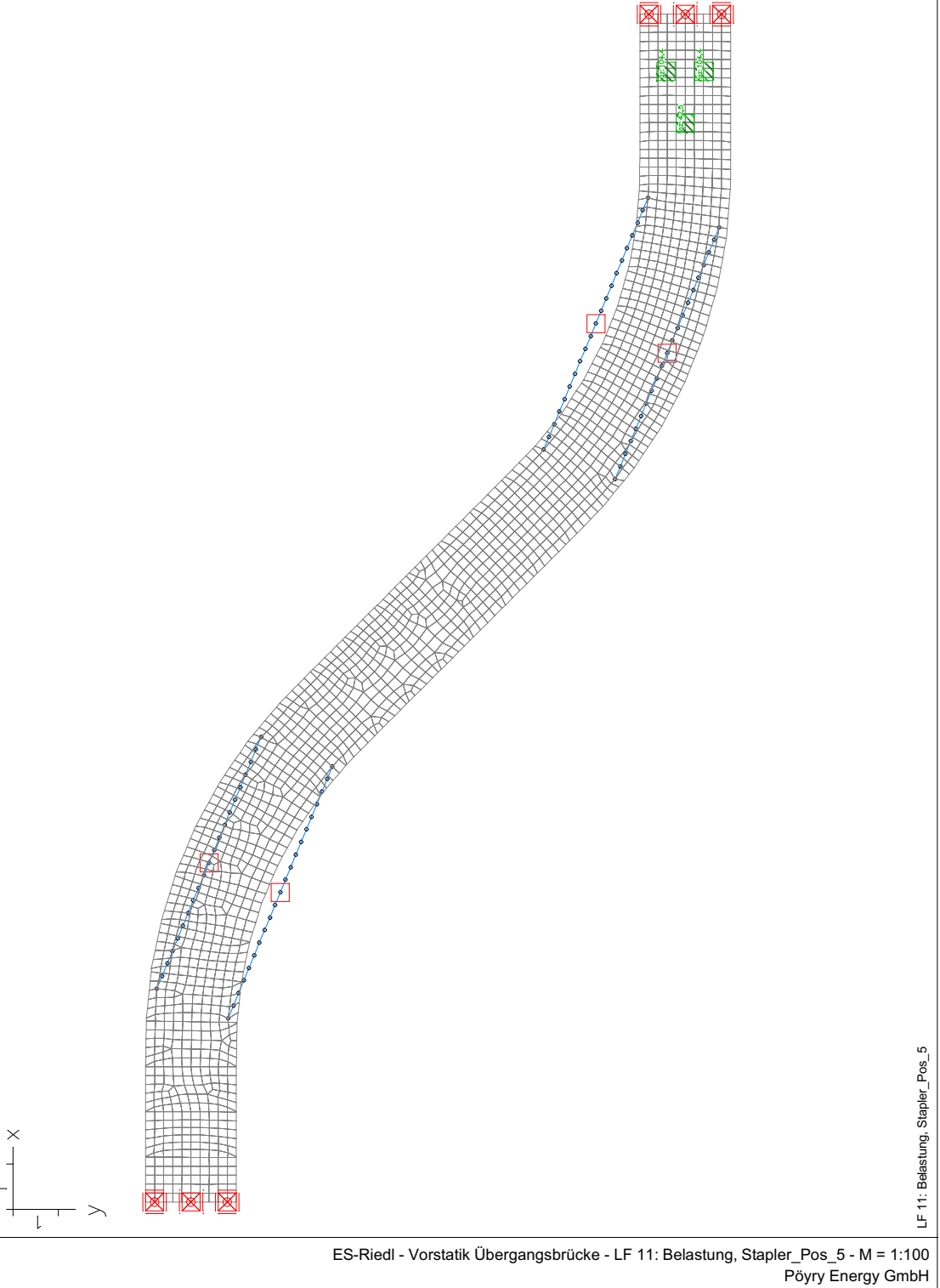
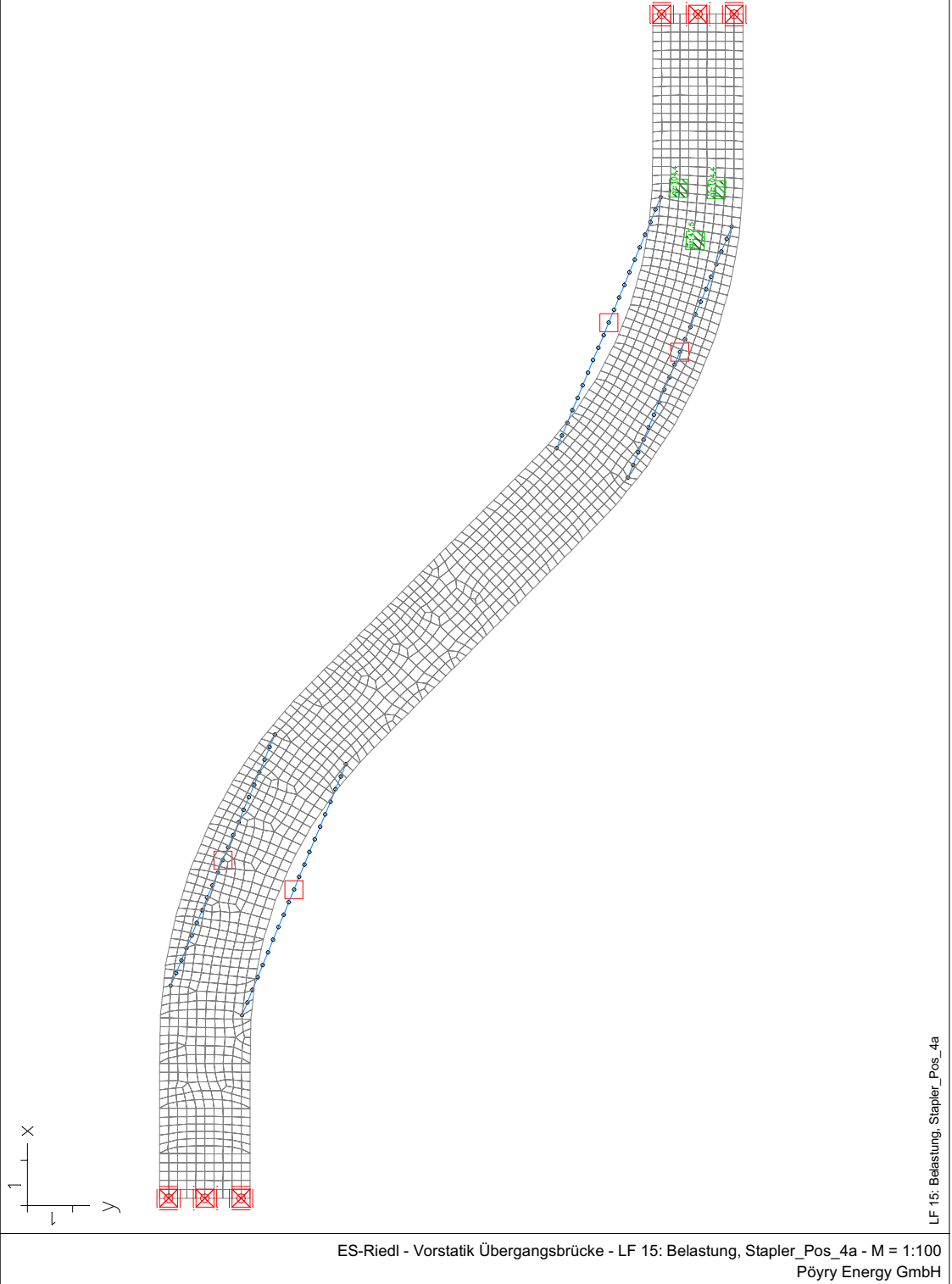


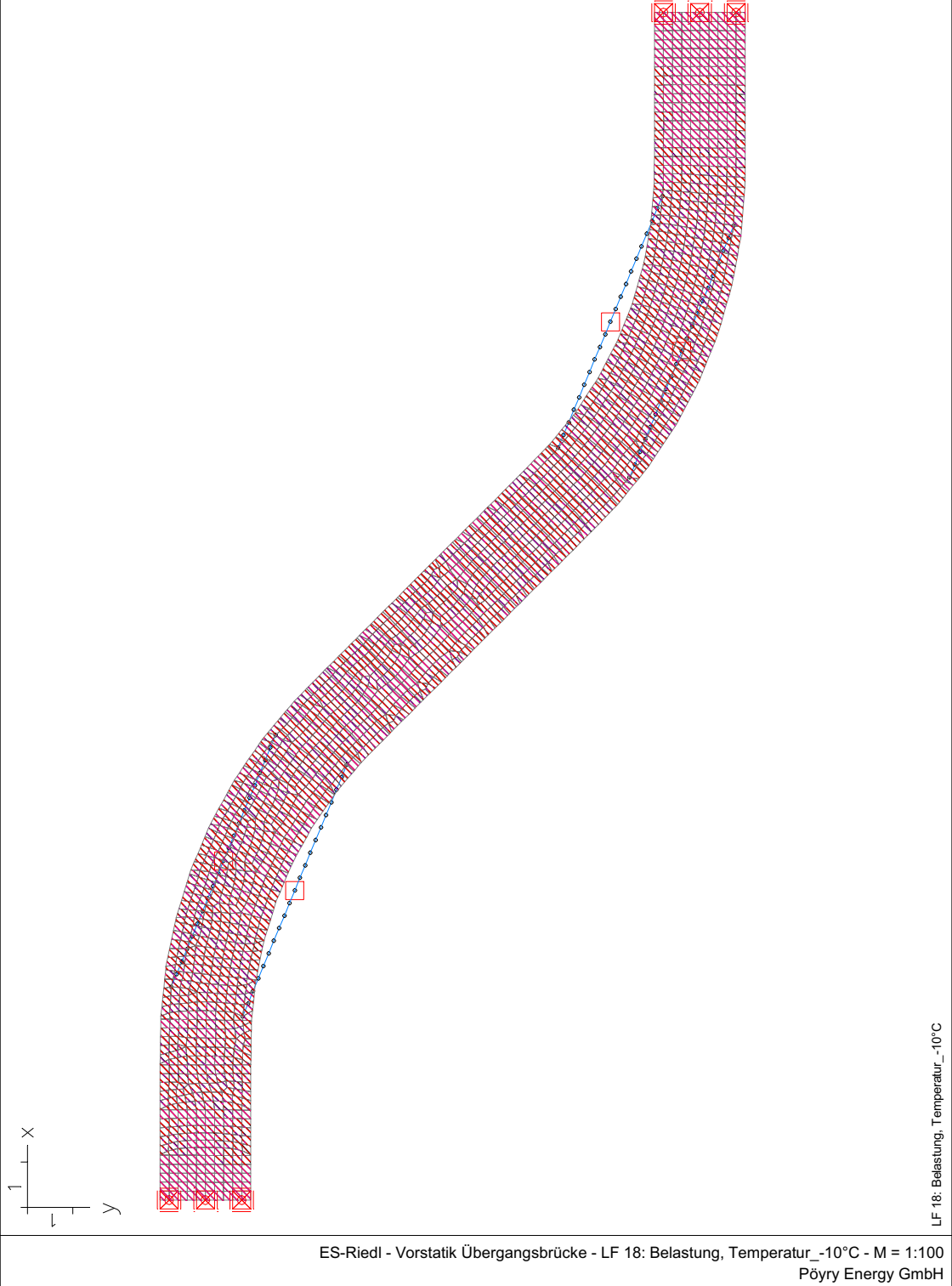
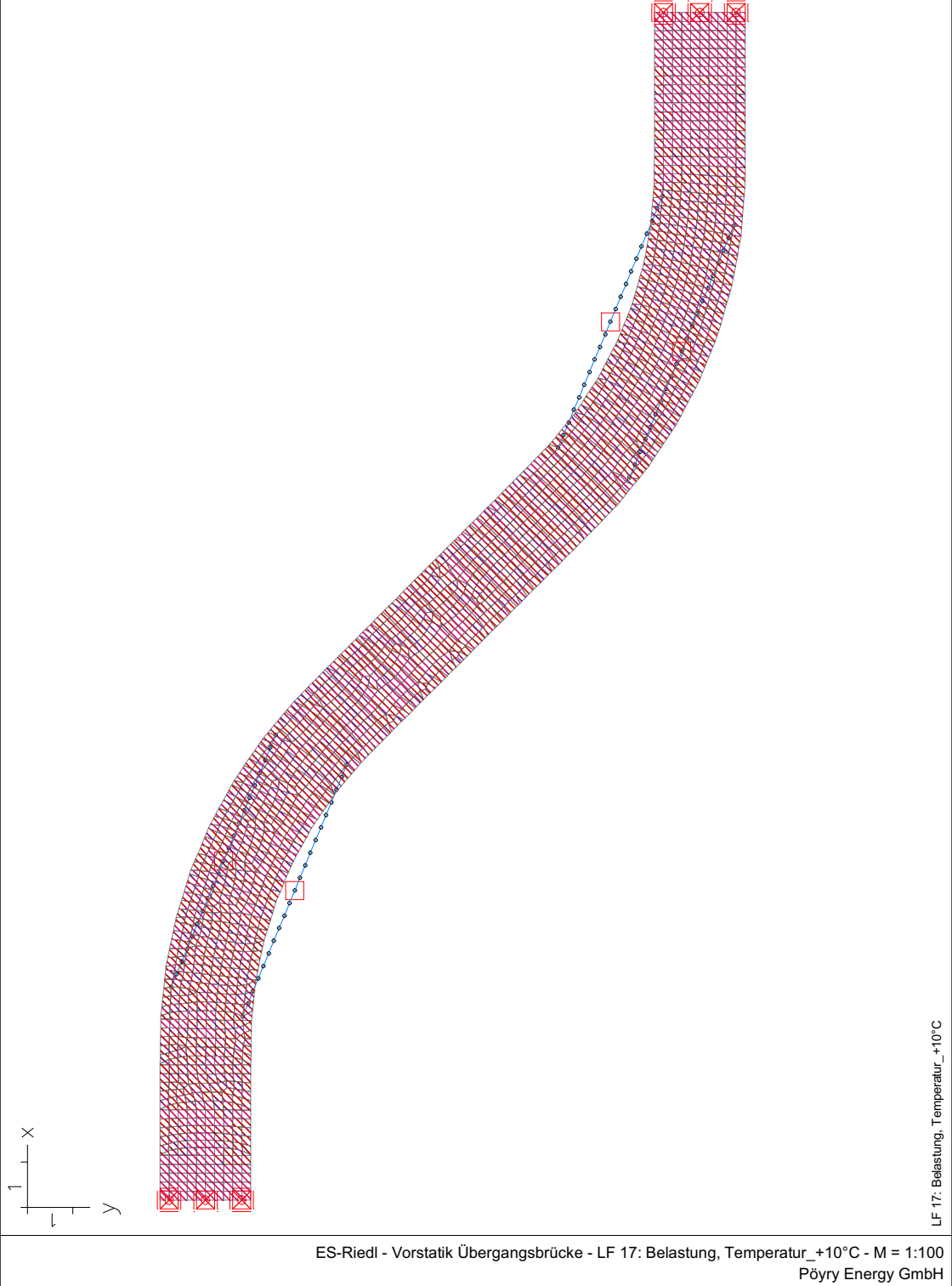


ES-Riedl - Vorstatik Übergangsbrücke - LF 14: Belastung, Stapler\_Pos\_3a - M = 1:100  
Pöry Energy GmbH



ES-Riedl - Vorstatik Übergangsbrücke - LF 10: Belastung, Stapler\_Pos\_4 - M = 1:100  
Pöry Energy GmbH





**DIN EN 1992-1-1 Einwirkungen****Standard Bemessungsgruppe****G - Eigenlast**

Gamma.sup / gamma.inf = 1 / 1

## Lastfälle

K4 K1\_SLS

**Fd - Bemessungswerte von Einwirkungen**

## Lastfälle

K21 Gesamtkombination

**1. Ständige und vorübergehende Situation**

Endzustand

Fd Bemessungswerte von Einwirkungen

**1. Quasi-ständige Situation**

Endzustand

G Eigenlast

**Bemessungsvorgaben DIN EN 1992-1-1**

Qu.	Expos.	Vorspannung	Bewehrung	Ermüd.	Riss-	De-	Spannungen
	klasse	des Bauteils	M R B Q T	S P C	br.	komp.	Druck S P
1	XC2	Nicht vorgesp.	.. x x	..	..	..	..

(M) Mindestbewehrung zur Sicherstellung der Robustheit.

(R) Mindestbewehrung zur Begrenzung der Rissbreite.

(B) Längsbewehrung aus Bemessung in den Grenzzuständen der Tragfähigkeit.

(Q) (Mindest-)Querkraftbewehrung in den Grenzzuständen der Tragfähigkeit.

(T) Torsionsbewehrung aus Bemessung in den Grenzzuständen der Tragfähigkeit.

(S) Betonstahl im Spannungs- und Ermüdungsnachweis.

(P) Spannstahl im Spannungs- und Ermüdungsnachweis.

(C) Beton im Ermüdungsnachweis.

**Vorgaben für den Nachweis der Längs- und Querbewehrung**

fyk Stahlgüte der Bügel.

Theta Neigung der Betondruckstreiben.

Der eingegebene Wert für cot Theta wird programmseitig nach Gl. (NA.6.7a) begrenzt (Verfahren mit beanspruchungsabhängiger Druckstrebeneigung).

Pl. Balken werden wie Platten bemessen.

Asl Vorh. Biegezugbewehrung nach Bild 6.3, autom. Erhöhung bis Maximum.

Fakt. Faktor für Mindestbewehrungsgrad rho.w,min nach Gl. (NA.9.5a/b).

x,y Getrennter Querkraftnachweis für die Bewehrungsrichtungen x und y.

cvl Verlegemaß der Längsbewehrung zur Begrenzung des Hebelarms z.

Qu.	Beton	Bem.modus	fyk	Neig.	Bem.	Asl	Bild 6.3	Fakt.	Nw.	Vmaß	
	für	Bügel	cot	wie	vorh.	max	rho.w	für	cvl		
	M und N	[MN/m <sup>2</sup> ]	Theta	Pl.	[cm <sup>2</sup> ]	[cm <sup>2</sup> ]	min	x,y	[m]		
1	C25/30-EN-D	Standard	500	1,00	.	0,00	0,00	0,60	.	0,070	

**Schubquerschnitte**

bw.nom Rechnerische Querschnittsbreite bei Vorspannung nach 6.2.3(6).

h.nom Rechnerische Querschnittshöhe bei Vorspannung nach 6.2.3(6).

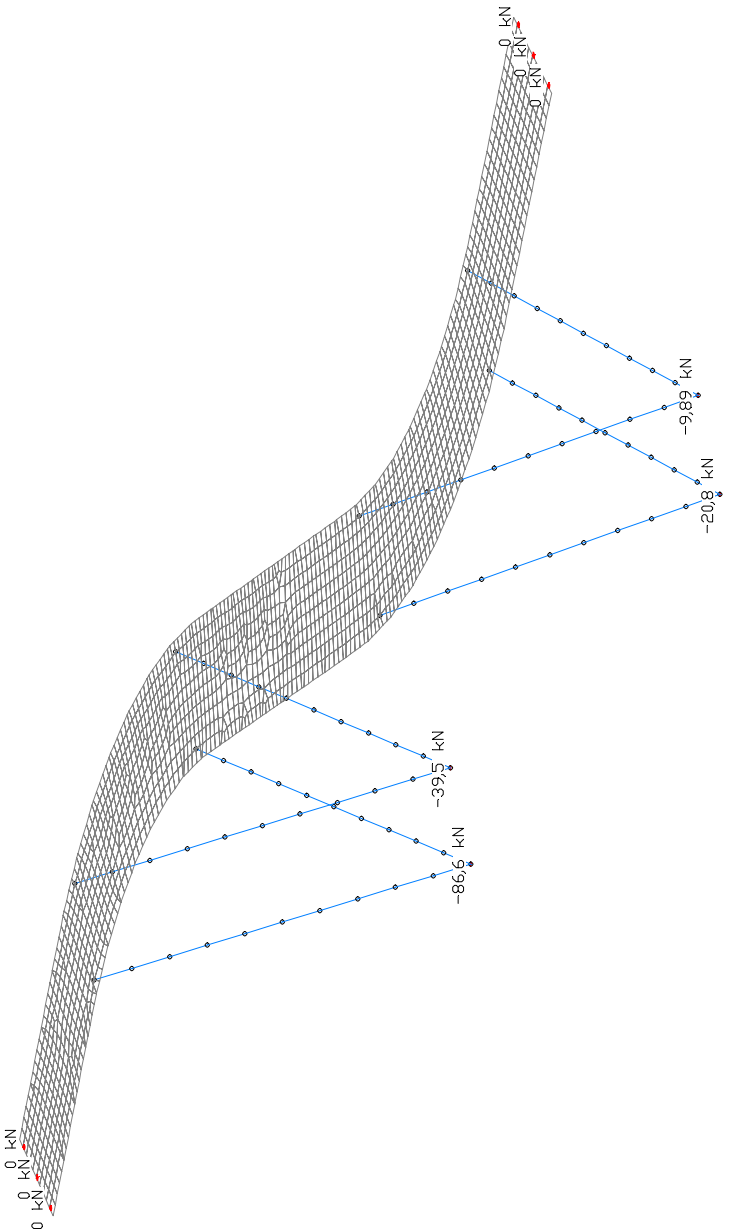
kb, kd Faktor zur Berechnung des inneren Hebelarms z aus der Nutzbreite bn bzw. der Nutzhöhe d.

z1, z2 Höhe und Breite des Kernquerschnitts für Torsion.

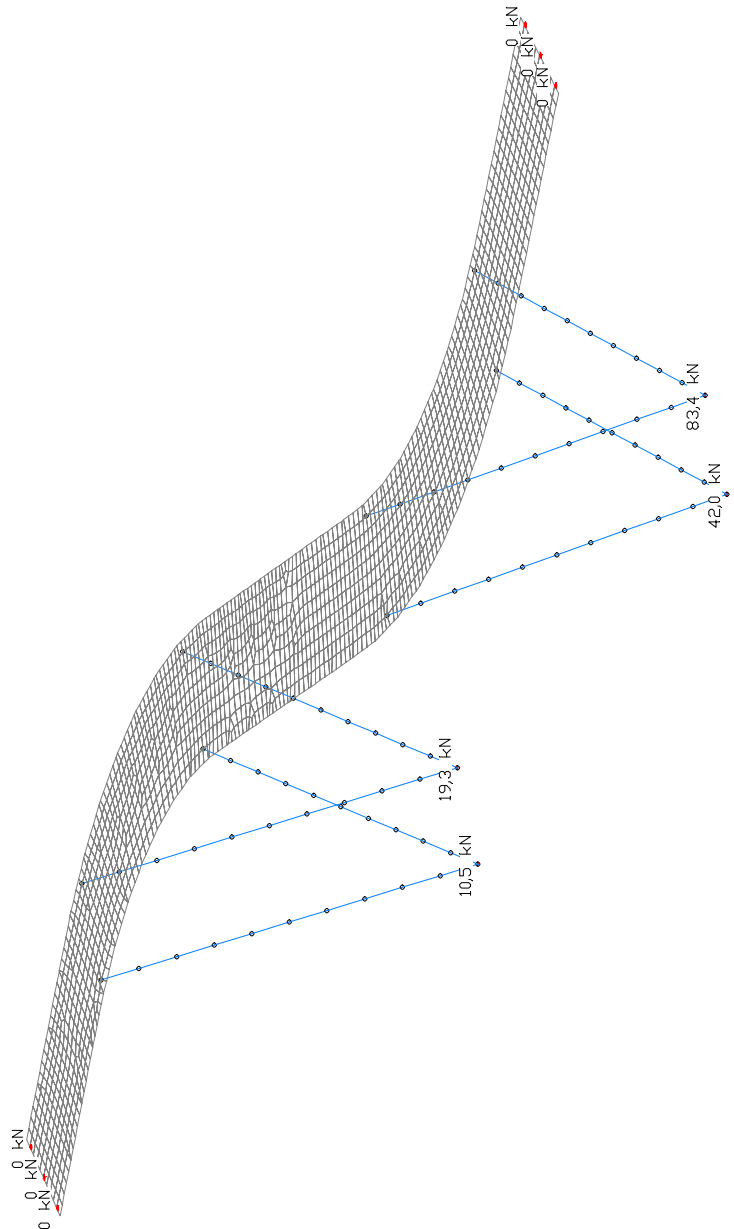
tef Wanddicke des Torsionskastens.

K. Kastenquerschnitt; Ermittlung der Tragfähigkeit nach Gl. (6.23).

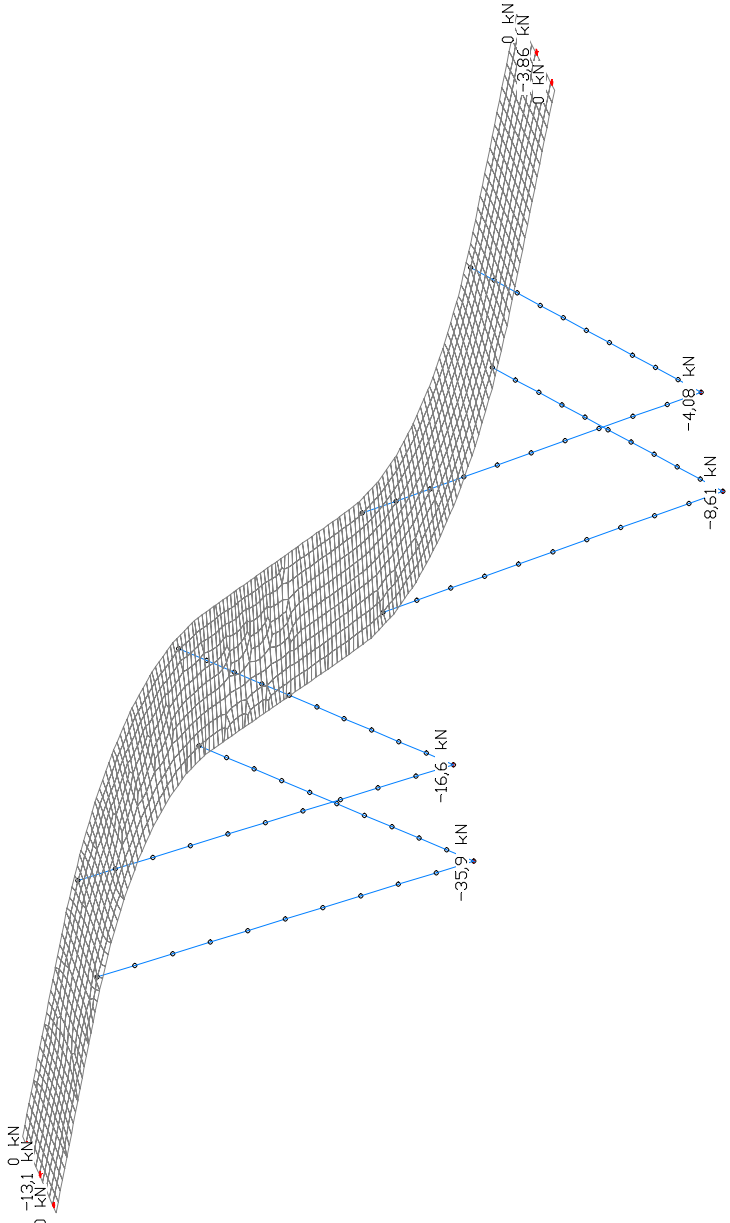
Qu.	Breite [m]	Nutzbreite	Höhe [m]	Nutzhöhe	Torsionsquerschn. [m]						
bw	bw.nom	bn [m]	kb	h	h.nom	d [m]	kd	z1	z2	tef	K.
1	1,000	.	.	0,300	.	0,270	0,90	.	.	.	.



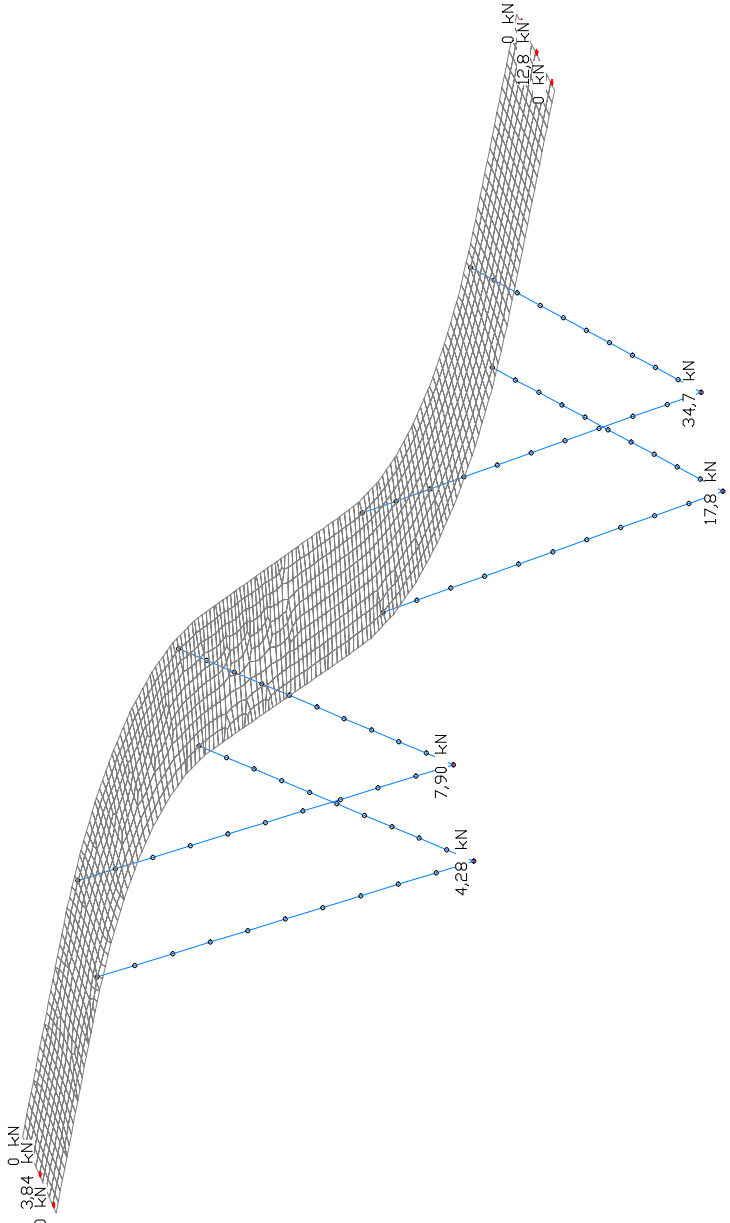
LFK 21: Gesamtkombination  
Auflagerreaktionen im System der Lagerlinien min Rx(l) [kN/m]



LFK 21: Gesamtkombination  
Auflagerreaktionen im System der Lagerlinien max Rx(l) [kN/m]

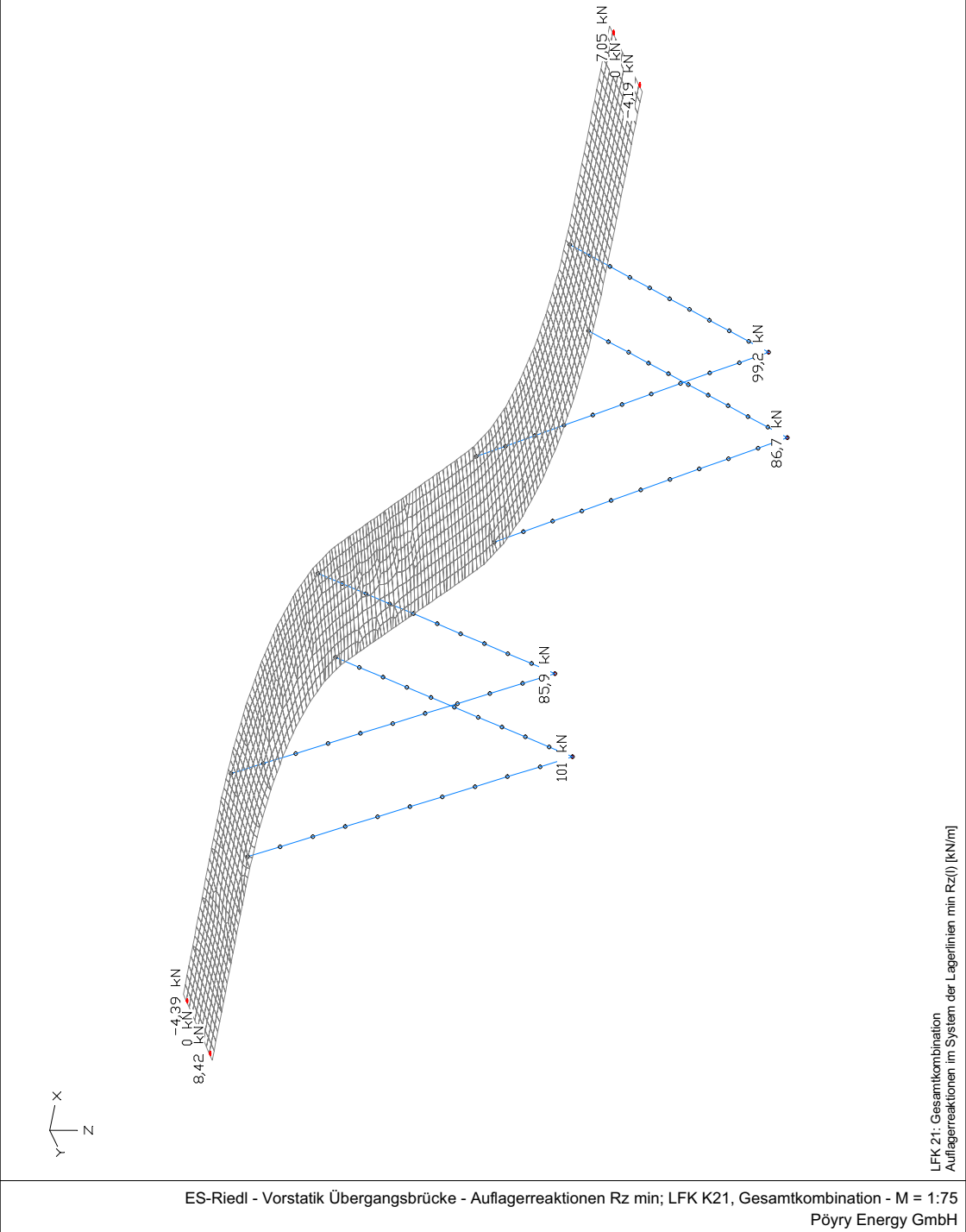


LFK 21: Gesamtkombination  
Auflagerreaktionen im System der Lagerlinien min Ry(l) [kN/m]

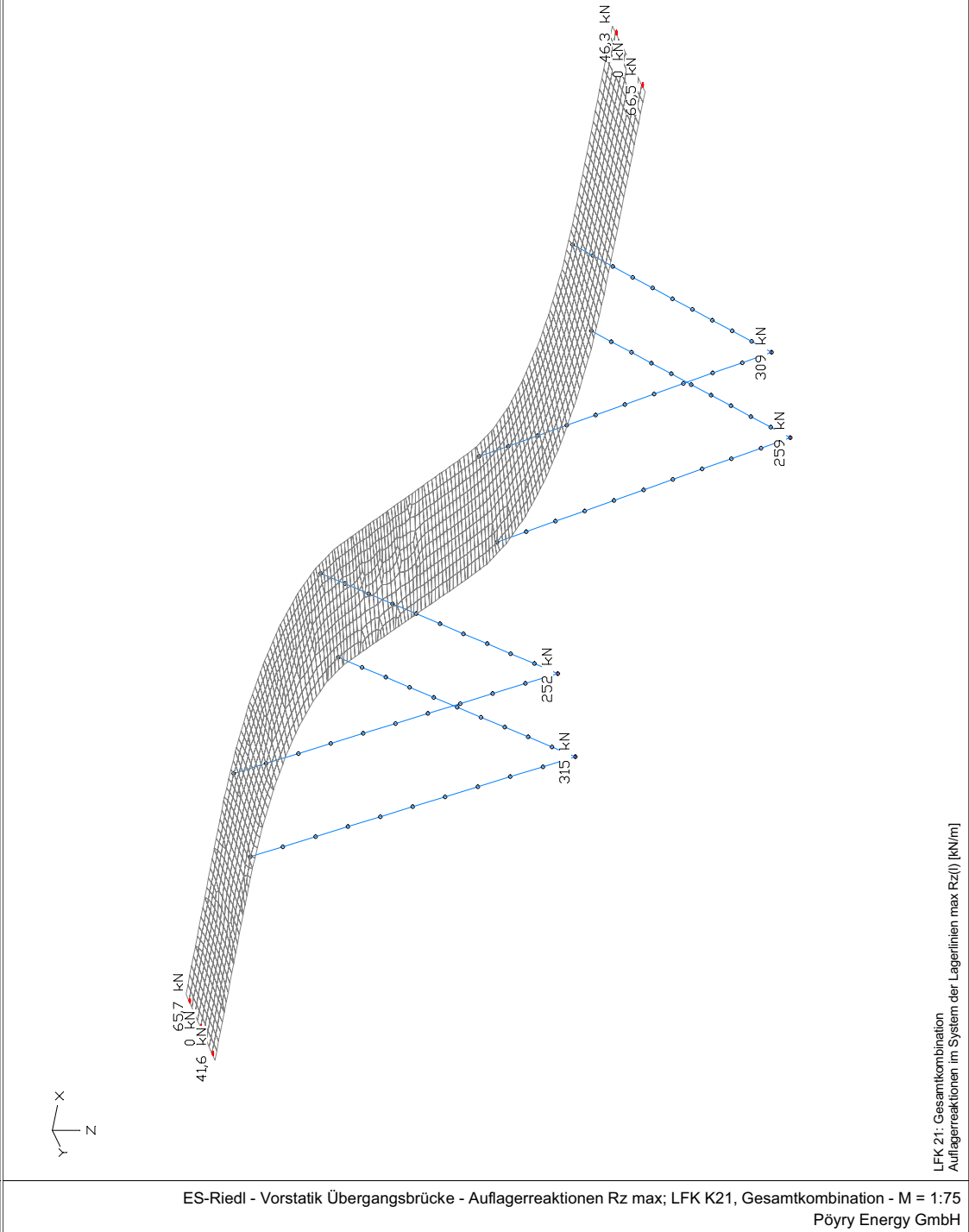


LFK 21: Gesamtkombination  
Auflagerreaktionen im System der Lagerlinien max Ry(l) [kN/m]

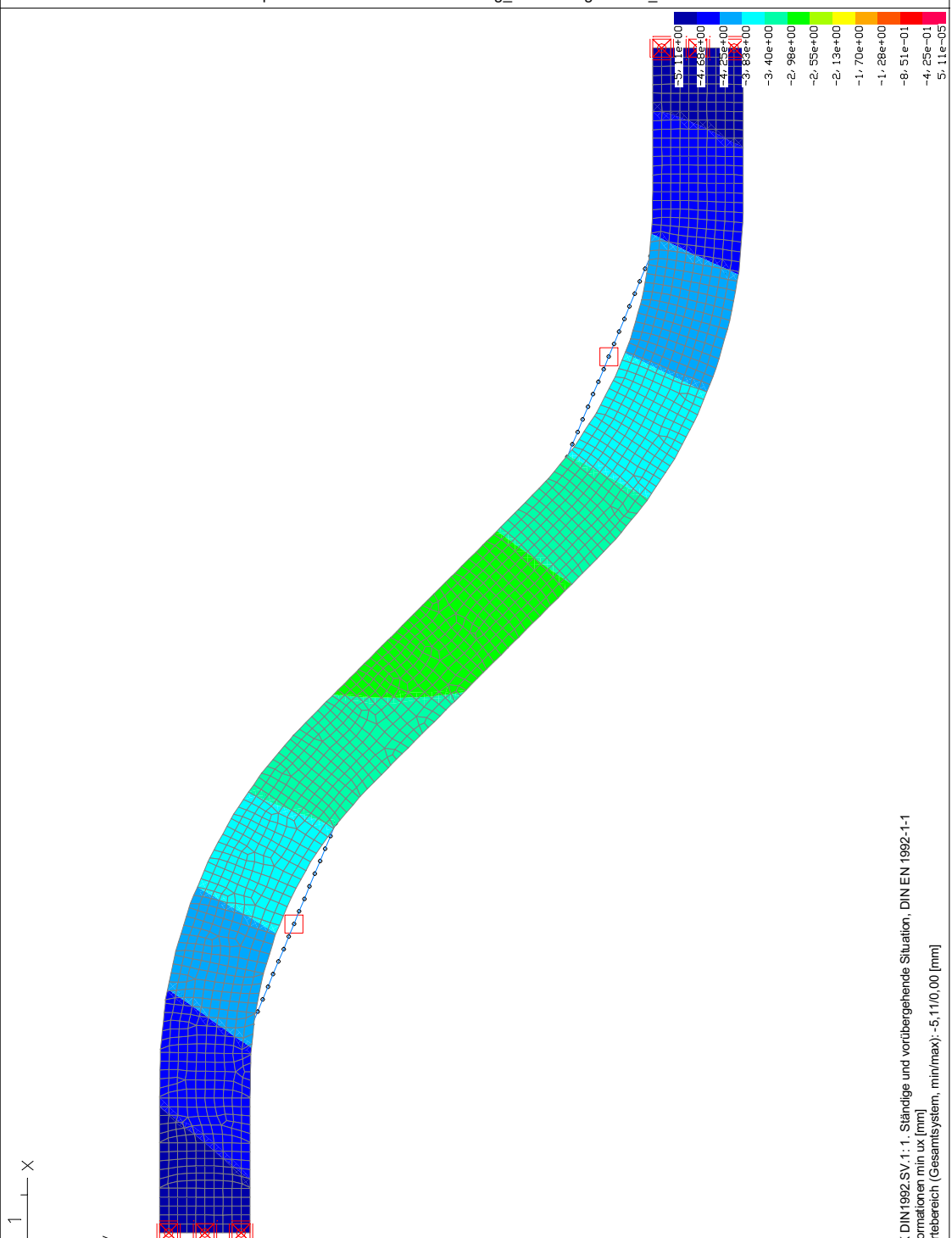




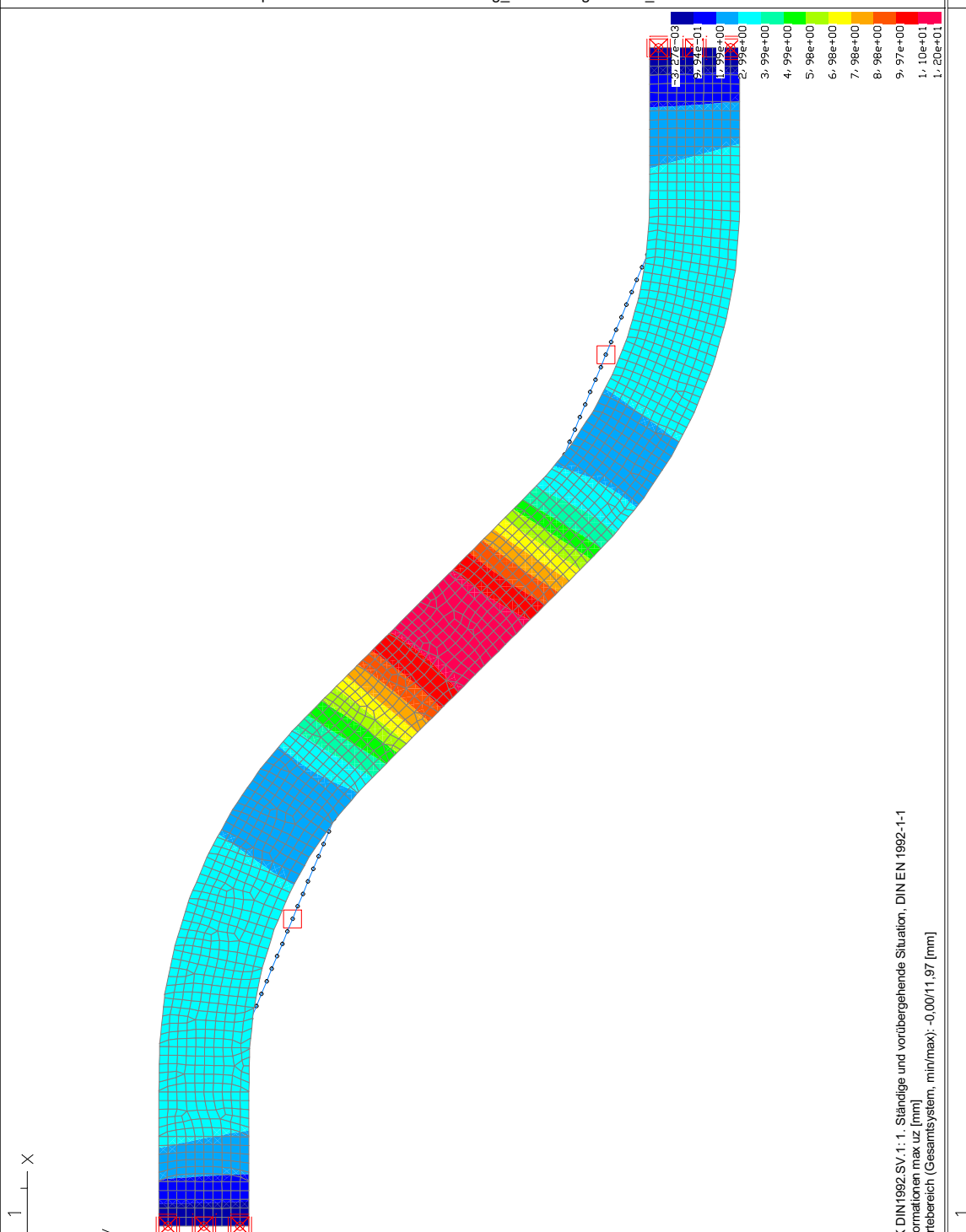
ES-Riedl - Vorstatik Übergangsbrücke - Auflagerreaktionen  $R_z$  min; LFK K21, Gesamtkombination -  $M = 1:75$   
Pöry Energy GmbH



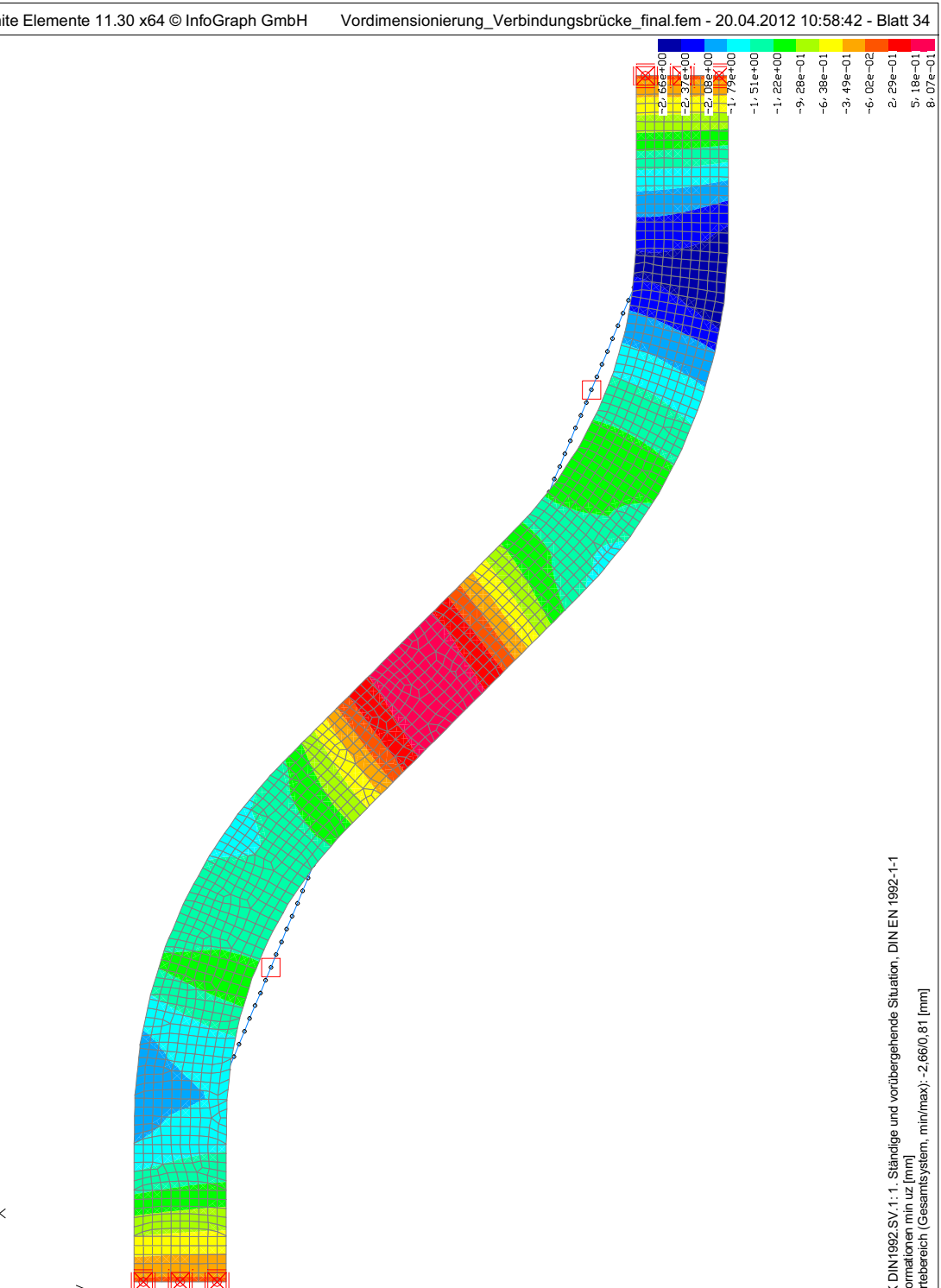
ES-Riedl - Vorstatik Übergangsbrücke - Auflagerreaktionen  $R_z$  max; LFK K21, Gesamtkombination -  $M = 1:75$   
Pöry Energy GmbH



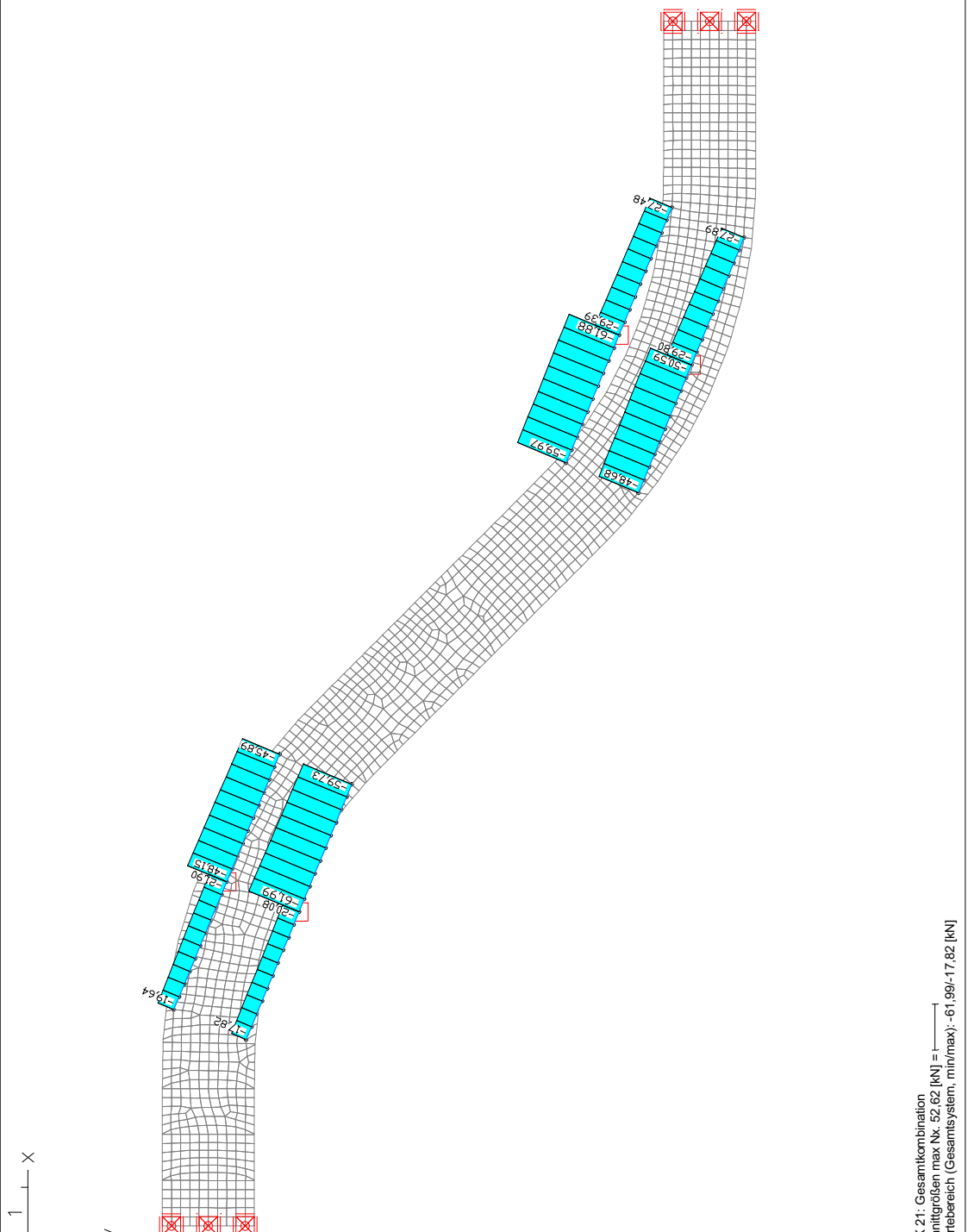
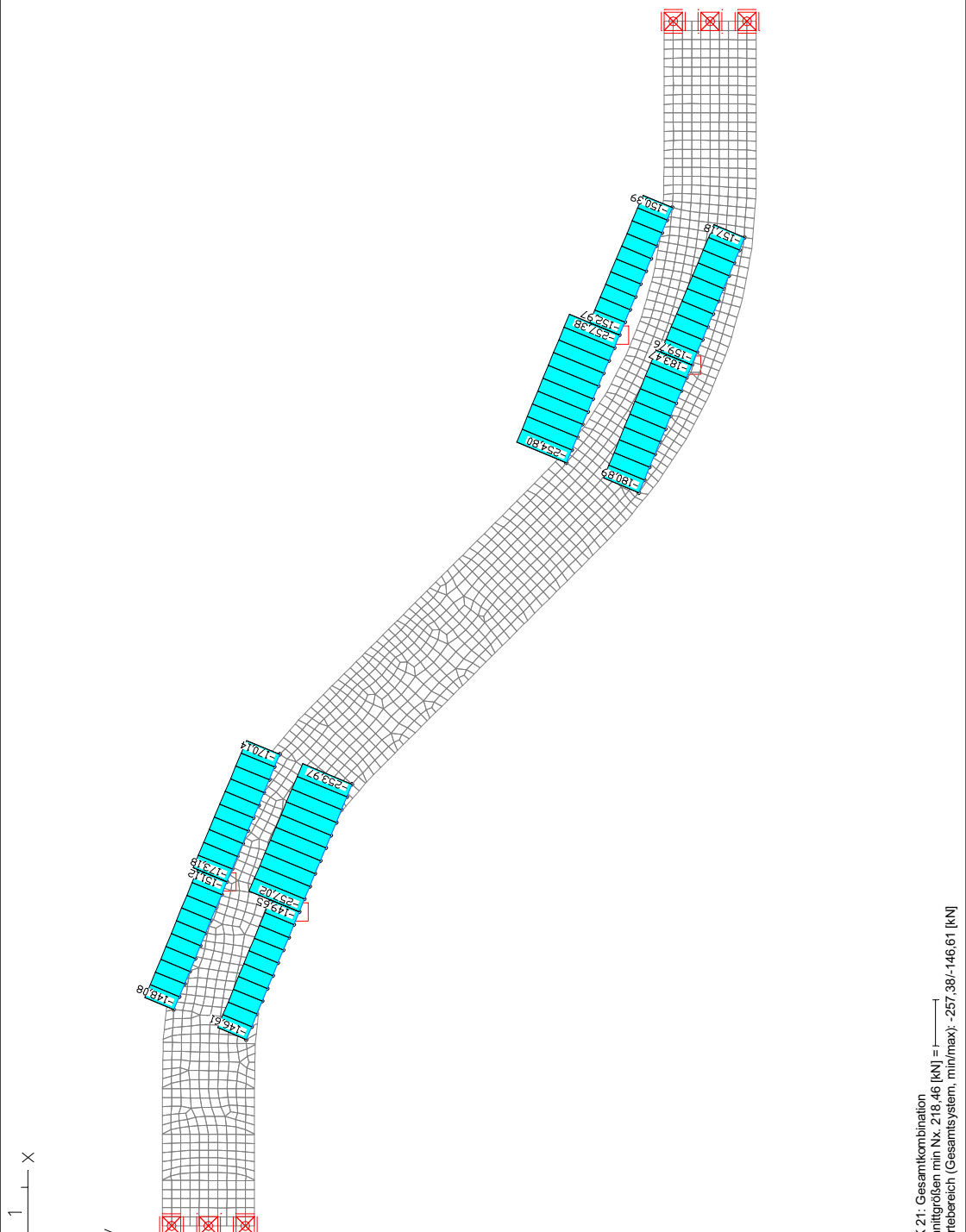




-Riedl - Vorstatik Übergangsbrücke - Deformationen uz max; 1. Ständige und vorübergehende Situation, DIN EN 1992-1-1 - M = 1:100  
Pöry Energy GmbH



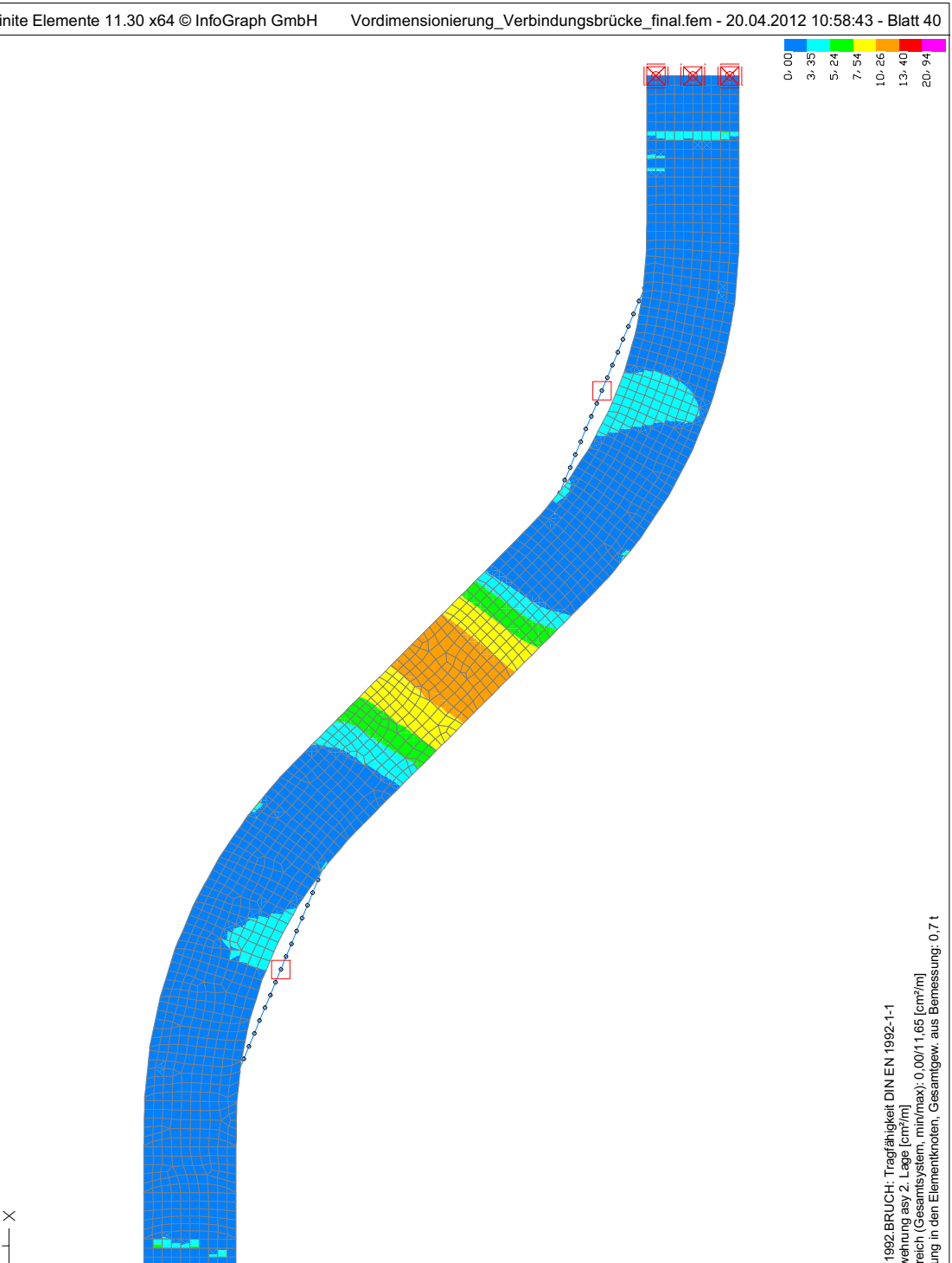
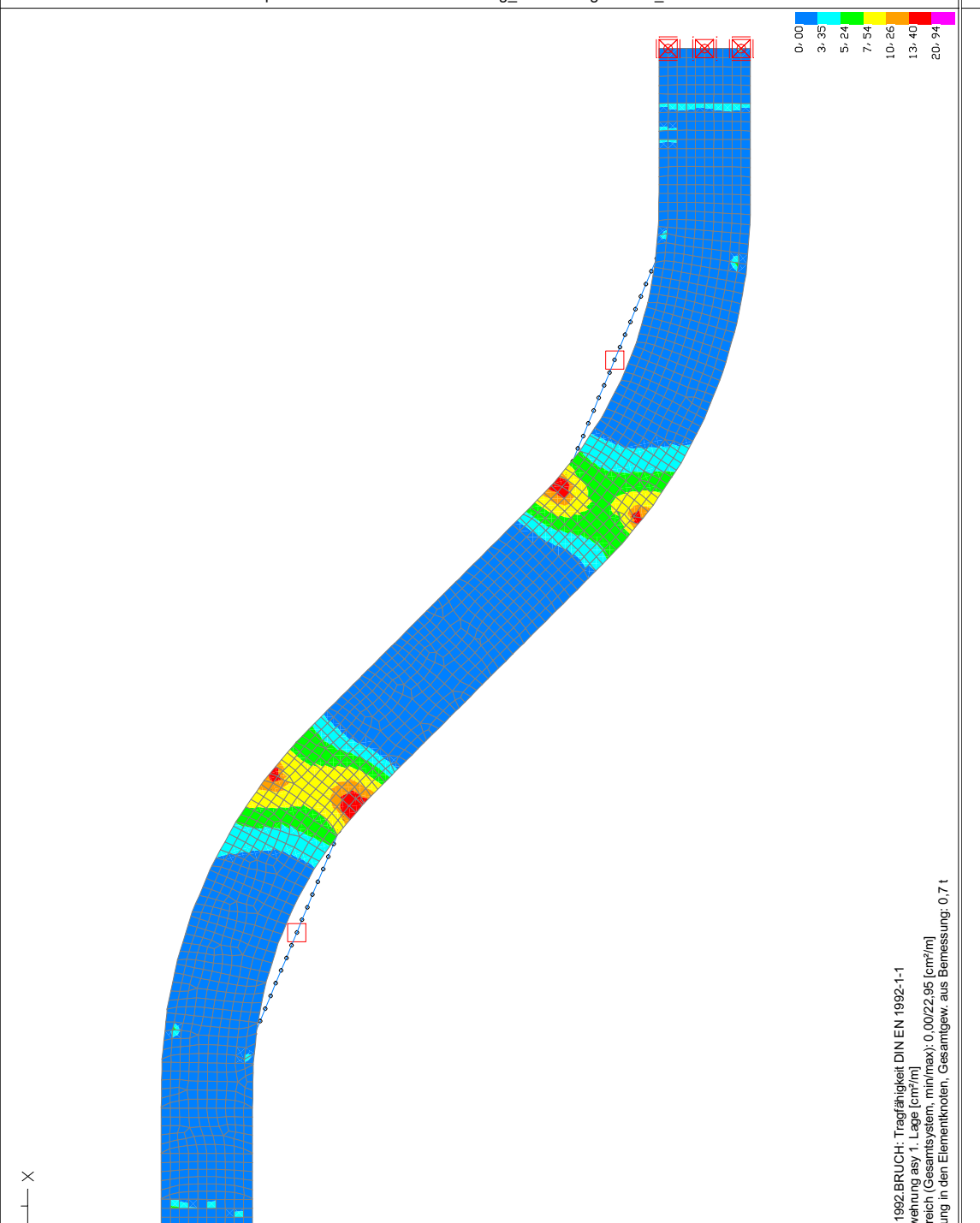
-Riedl - Vorstatik Übergangsbrücke - Deformationen uz min; 1. Ständige und vorübergehende Situation, DIN EN 1992-1-1 - M = 1:100  
Pöry Energy GmbH



ES-Riedl - Vorstatik Übergangsbrücke - Schnittgrößen Nx min; LFK K21, K1 - M = 1:100  
Pöyry Energy GmbH

ES-Riedl - Vorstatik Übergangsbrücke - Schnittgrößen Nx max; LFK K21, K1 - M = 1:100  
Pöyry Energy GmbH







Projekt:  
Abschnitt:  
Bauherr:  
Ort:

Datum: 18.04.2012

Schnittkraft:Querschnitt - EC 3

## Geometrie

Stäbe:

Nr.	I [cm]
S1	600,0

Nr.	Stab	$k_{c,2}$	$c_{m2}$	$c_{m3}$	$c_{mLT}$	$l_{k,2} [\text{cm}]$	$l_{k,3} [\text{cm}]$
P1	S1	1,00	1,00	1,00	1,00	Stablänge*1	Stablänge*1

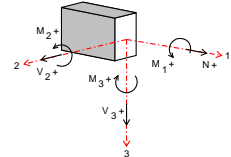
Hauptkonstruktionsebene: 3,1

I ... Systemlänge

$k_{c,2}$  ... lt. Tabelle 6.6  
 $c_m$  ... lt. Tabelle B.3  
 $l_k$  ... Knicklänge in Achsrichtung

## Lasten

Nr.	Bezeichnung	Typ	N [kN]	$V_2$ [kN]	$V_3$ [kN]	$M_2$ [kNm]	$M_3$ [kNm]
L1	Belastung für Tragsicherheit (Gruppe B)	Ständig	-260,00	0,00	0,00	1,50	5,00



N ... Normalkraft  
 "-" Druckkraft  
 "+" Zugkraft

Lastfälle:  
 $\psi$  ... Kombinationsbeiwert  
 Lastfallkombinationen:  
 $\gamma$  ... Teilsicherheitsbeiwert  
 G ... ständige Belastung  
 Q ... veränderliche Belastung (Nutzlast)  
 S ... Schneelasten  
 Wg1, ... Windlasten  
 Wg2 ...  
 A ... außergewöhnliche Belastung  
 EG ... Eigengewicht  
 FAL ... Fundamentalauflast  
 ERD ... Erddruck aus Erdreich  
 sup ... ungünstige Einwirkung  
 inf ... günstige Einwirkung  
 LW ... Lastwechsel  
 $\gamma$  ... Teilsicherheitsbeiwerte

## Lastfälle

Nr.	Name	Wirkungsart	Last Nr.	LW.	$\psi_0$	$\psi_1$	$\psi_2$
LF1	Gruppe B	Ständig	L1				

## Lastfallkombinationen

Normaltemperatur

Nr.	Bezeichnung	Typ	Lastfall	$\gamma_{G,sup}$	$\gamma_{G,inf}$	$\gamma_Q$
KB1	Bemessung	Gruppe B	LF1	1,00	1,00	1,00

## Material

Stahlgüte	$\gamma_{M0}$	$\gamma_{M1}$
S 235	1,00	1,00

Querschnitt(e) sind im Schubmittelpunkt zu belasten.

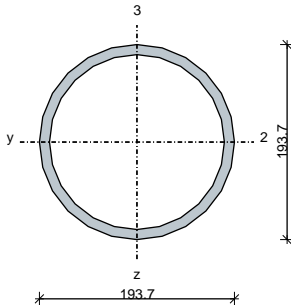
G ... Gewicht  
 d ... Durchmesser  
 A ... Fläche  
 I ... Trägheitsmoment um Achse  
 i ... Trägheitsradius

## Querschnitt

1 Stk.

Rund hohl; Herstellung: warmverformt; Querschnittsverdrehung: 0 °

Normaltemperatur RO 193,7x10  
 $A = 57,71 \text{ cm}^2$   $G = 45,30 \text{ kg/m}$   
 $I_2 = 2441,6 \text{ cm}^4$   $i_2 = 6,50 \text{ cm}$   $I_3 = 2441,6 \text{ cm}^4$   $i_3 = 6,50 \text{ cm}$



## Nachweise Normaltemperatur

ÖNORM EN 1993-1-1 (Ausg. 2006-10-01), ÖNORM B 1993-1-1 (Ausg. 2007-02-01)

### Stäbe

Nr.	Pos.	LfK	Teil	Formel	$\eta$
S1	x	KB1	Biegung um Achse 2 (M2,V3,N) <sup>1)</sup>	$1.500 / 74.517 =$	0,02
S1	x	KB1	Biegung um Achse 3 (M3,V2,N) <sup>2)</sup>	$5.000 / 74.517 =$	0,07
S1	x	KB1	Schiefe Biegung (M2,M3,V2,V3,N) <sup>3)</sup>	$0.000 + 0.005 =$	0,00
S1	x	KB1	Druck (N) <sup>4)</sup>	$260.000 / 1356.185 =$	0,19
S1	x	KB1	Biegung u. Knicken in Achse 2 <sup>5)</sup>	$0.283 + 0.028 + 0.077 =$	0,39
S1	x	KB1	Biegung u. Knicken in Achse 3 <sup>6)</sup>	$0.283 + 0.023 + 0.094 =$	0,40

Art	Info
Biegung um Achse 2 (M2,V3,N) <sup>1)</sup>	$M_{2,Ed} = 1.50 \text{ kNm}; M_{N,2,V,Rd} = 74.52 \text{ kNm}; \sigma_{1,2,3,Ed} = -6.58 \text{ kN/cm}^2; W_{pl,2} = 337.5 \text{ cm}^3; W_{pl,3} = 337.5 \text{ cm}^3$
Biegung um Achse 3 (M3,V2,N) <sup>2)</sup>	$M_{3,Ed} = 5.00 \text{ kNm}; M_{N,3,V,Rd} = 74.52 \text{ kNm}; \sigma_{1,2,3,Ed} = -6.58 \text{ kN/cm}^2;$
Schiefe Biegung (M2,M3,V2,V3,N) <sup>3)</sup>	$M_{2,Ed} = 1.50 \text{ kNm}; M_{N,2,V,Rd} = 74.52 \text{ kNm}; M_{3,Ed} = 5.00 \text{ kNm}; M_{N,3,V,Rd} = 74.52 \text{ kNm}; \sigma_{1,2,3,Ed} = -6.58 \text{ kN/cm}^2;$
Druck (N) <sup>4)</sup>	Querschnittsklasse 1; $N_{Ed} = -260.00 \text{ kN}; N_{c,Rd} = 1356.18 \text{ kN}; \gamma_{M0} = 1.00; \sigma_{1,Ed} = -4.51 \text{ kN/cm}^2$
Biegung u. Knicken in Achse 2 <sup>5)</sup>	$N_{Ed} = -260.00 \text{ kN}; N_{b,2,Rd} = 918.85 \text{ kN}; N_{b,3,Rd} = 918.85 \text{ kN}; \gamma_{M1} = 1.00; \chi_3 = 0.6775; \chi_{LT} = 1.0000; C_{m2} = 1.00; C_{m3} = 1.00; C_{mLT} = 1.00; k_{3,3} = 1.22; k_{3,2} = 1.22; \lambda_3 = 92.31; I_{k,2} = 600.0 \text{ cm}^4; M_{2,2,Ed} = 1.84 \text{ kNm}; \text{Faktor } \alpha = 1.23; M_{b,Rd} = 0.00 \text{ kNm}; M_{cr} = 0.00 \text{ kNm}; \alpha_{LT} = 0.000; \lambda_{LT} = 0.000; k_{c,2} = 1.000; k_p = 0.000; M_{3,Ed} = 5.00 \text{ kNm};$
Biegung u. Knicken in Achse 3 <sup>6)</sup>	$N_{Ed} = -260.00 \text{ kN}; N_{b,2,Rd} = 918.85 \text{ kN}; N_{b,3,Rd} = 918.85 \text{ kN}; \gamma_{M1} = 1.00; \chi_2 = 0.6775; \chi_{LT} = 1.0000; C_{m2} = 1.00; C_{m3} = 1.00; C_{mLT} = 1.00; k_{2,2} = 1.22; k_{2,3} = 1.22; \lambda_2 = 92.31; I_{k,3} = 600.0 \text{ cm}^4; M_{2,Ed} = 1.50 \text{ kNm}; M_{b,Rd} = 0.00 \text{ kNm}; M_{cr} = 0.00 \text{ kNm}; \alpha_{LT} = 0.000; \lambda_{LT} = 0.000; k_{c,2} = 1.000; k_p = 0.000; M_{2,3,Ed} = 6.13 \text{ kNm}; \text{Faktor } \alpha = 1.23;$

$\text{LfK}$  ... Lastfallkombination  
 $\eta$  ... Ausnutzungsgrad  
 Biegung, Querk. u. Normalkraft, Formel (6.31 bis 6.42, 6.45)  
 Druck, Formel (6.9, 6.10)  
 Biegedrillknicken, Formel (6.61, 6.62)

$M_{Ed}$  ... einwirkendes Moment um Achse  
 $M_{N,V,Rd}$  ... abgeminderte Momententrägfähigkeit  
 $\sigma_{1,2,3,Ed}$  ... Biegenormalspannung  
 $N_{Ed}$  ... einwirkende Normalkraft  
 $N_{c,Rd}$  ... Normaltragfähigkeit unter Druck  
 $\sigma_{1,Ed}$  ... Normalspannung  
 $N_{Ed}$  ... einwirkende Normalkraft  
 $M_{b,Rd}$  ... Momententrägfähigkeit  
 $M_{cr}$  ... ideales Biegedrillknickmoment  
 $\chi_{2,LT}$  ... Abminderungsbeiwert  
 $C_{m2}$  ... äquivalente Momentenbeiwerte  
 $C_{m3}$  ...  
 $C_{mLT}$  ...  
 $k_{2,2}$  ... Interaktionsfaktoren  
 $k_{3,3}$  ...  
 $k_{2,3}$  ... Interaktionsfaktoren  
 $k_{3,2}$  ...  
 $k_{c,2}$  ... Beiwert  
 $k_p$  ...  
 Faktor ... Dischinger-Faktor

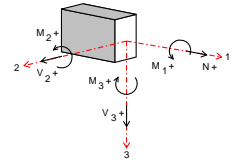
Projekt:  
Abschnitt:  
Bauherr:  
Ort:

Datum: 18.04.2012

## Werteliste Schnittgrößen

Normaltemperatur KB1 max/min:

Pos [cm]		N [kN]	M <sub>2</sub> [kNm]	M <sub>3</sub> [kNm]
<b>S1</b>				
x	max	-260,00	1,50	5,00
x	min	-260,00	1,50	5,00



N ... Normalkraft  
"-" Druckkraft  
"+" Zugkraft



## Standsicherheitsnachweis Giebelwand Dachgeschoß

### Abmessungen

Mauerstärke  $d$  =  
 Deckenspannweite  $l_1$  =  
 Auflagertiefe  $a$  =  
 Lichte Geschoßhöhe  $h_s$  =  
 Bauwerksbreite  $b$  =

0,12	[m]
10	[m]
0,12	[m]
3	[m]
9,37	[m]

-> Achsabstand der aussteifenden Wände (Außenwände)

### Auflagerkräfte Dachgeschoß

$N_{o,k} =$   
 $N_{u,k} =$   
 $A_{DG,Decke,d} =$   
 $A_{DG,d,ges} =$

0	[kN/m]
7,8	[kN/m]
20,5	[kN/m]
31,03	[kN/m]

-> Lasten auf Wand = 0, da keine Lasten vom Dachstuhl  
 -> Eigengewicht Wand  
 $A_{DG,Decke,d} = 16,7$  kN/m (gelenkig)  
 $A_{DG,Decke,d} = 24,3$  kN/m (eingespannt)

### Knotenmomente mit 5% Regel ( $q=3 \text{ kN/m}^2 < 5 \text{ kN/m}^2$ )

Exzentrizität  $e_{DG} = 0,05 * l_1 =$   
 Knotenmoment Wandfuß  $M_{e,DG,u,d} = 0,5 * e_{DG} * A_{DG,Decke,d} =$   
 Knotenmoment am Wandkopf  $M_{e,DG,o,d} =$

$$0,5 \text{ [m]} < d/3 = 0,04 \text{ [m]} \quad -> e_{DG} = 0,04$$

$$-0,41 \text{ [kNm/m]} \quad -> \text{vertikale Lasten (No) aus darüber befindlichen Geschoßen dürfen mit } e=0 \text{ gerechnet werden}$$

$$0 \text{ [kNm/m]}$$

### Knicklänge - Wand

Abst. der aussteifenden Wände  $b =$   
 max. Abstand der aussteifenden Wände

Fall 1 =  $15 * d$       9,37 [m]  
 Fall 2 =  $30 * d$       1,8 [m]  
 Fall 2 =  $30 * d$       3,6 [m]      -> Berechnung als Freistehende Wand

Knicklängenbeiwert  $\beta =$

Knicklänge  $h_k =$

Schlankheit =  $h_k/d =$

### Nachweise

char. Wert der Druckfestigkeit des Mauerwerks  $f_k =$   
 Teilsicherheitsbeiwerte der Baustoffeigenschaften  
 $k_0 =$   
 $\gamma_m = 1,5 + k_0 =$   
 $\eta =$

2,8	[N/mm <sup>2</sup> ]
1	Bauteilabhängiger Beiwert
1,5	Sicherheitsbeiwert auf der Materialseite
0,85	Berücksichtigung der Langzeitwirkung

Wandkopf: -kein NW erforderlich, da Wandende

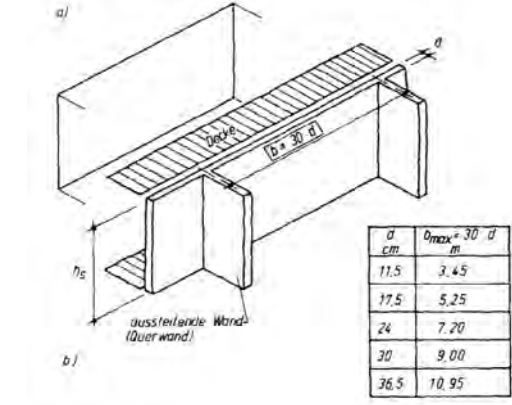
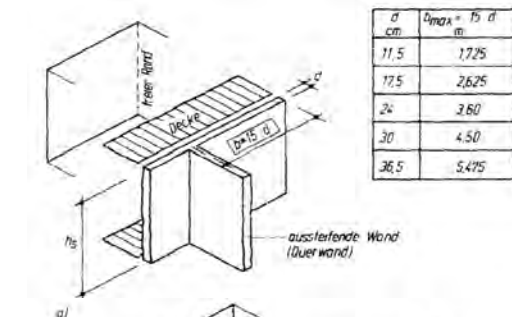
$N_{o,d} = A_{DG,d,ges} =$   
 $M_{e,DG,o,d} =$   
 $e_o = M_{e,DG,o,d} / N_{o,d} =$   
 $e_{o,min} = 0,05 * d =$

$$0 \text{ [kN/m]}$$

$$0 \text{ [kNm/m]}$$

$$\#DIV/0! \text{ [m]}$$

$$0,006 \text{ [m]}$$



$$e_{o,\max} = 0,33 \cdot d =$$

$$0,04 \text{ [m]}$$

Abminderungsfaktor am Wandkopf

$$\Phi_u = 1 - (2 \cdot e_o) / d =$$

$$0,90$$

Aufnehmbare Normalkraft

$$N_{Rd,u} = \Phi_u \cdot A \cdot \eta \cdot f_k / \gamma_m =$$

$$N_{ed,u} = N_{u,d} =$$

$$171,36 \text{ [kN/m]}$$

$$0 \text{ [kN/m]}$$

**NW erfüllt!**

Wandfuß:

$$N_{u,d} = A_{DG,d, \text{ ges}} =$$

$$M_{e,DG,u,d} =$$

$$31,03 \text{ [kN/m]}$$

$$0,41 \text{ [kNm/m]}$$

$$e_u = M_{e,DG,u,d} / N_{u,d} =$$

$$e_{u,\min} = 0,05 \cdot d =$$

$$e_{u,\max} = 0,33 \cdot d =$$

$$0,01321 \text{ [m]}$$

$$0,006 \text{ [m]}$$

$$0,04 \text{ [m]}$$

Abminderungsfaktor am Wandfuß

$$\Phi_u = 1 - (2 \cdot e_u) / d =$$

$$0,78$$

Aufnehmbare Normalkraft

$$N_{Rd,u} = \Phi_u \cdot A \cdot \eta \cdot f_k / \gamma_m =$$

$$N_{ed,u} = N_{u,d} =$$

$$148,47 \text{ [kN/m]}$$

$$31,03 \text{ [kN/m]}$$

**NW erfüllt!**

Wandmitte:

$$N_{m,d} =$$

$$M_{e,m,d} =$$

$$3,9 \text{ [kN/m]}$$

$$0,205 \text{ [kNm/m]} \quad (= M_{e,DG,u,d} * 0,5)$$

$$e_{m0} = M_{e,m,d} / N_{m,d} =$$

$$0,05256 \text{ [m]}$$

Ermittlung Abminderungsfaktor  $\Phi_m$ :

ungewollte Ausmitte:

$$e_a = h_k / 450$$

$$0,0077 \text{ [m]}$$

Exzentrizität infolge Kriechen:

$$h_k / d =$$

29 > 10 **emk muss berechnet werden**

$$e_{mk} = 0,002 * \varphi_\infty * h_k * (e_{m0} / d)^{0,5} =$$

$$\varphi_\infty =$$

$$0,00 \text{ [m]}$$

$$1 \text{ [-]}$$

-> Wert für Mauerziegel

$$e_m = e_{m0} + e_{mk} + e_a =$$

$$0,06 \text{ [m]}$$

$$\Phi_m = 1,14 * (1 - ((2 * e_m) / d)) - 0,024 * h_k / d =$$

$$-0,7849 \text{ [-]}$$

$$N_{Rd,m} = \Phi_m * A * \eta * f_k / \gamma_m =$$

$$N_{ed,m} = N_{m,d} =$$

$$-149,45 \text{ [kN/m]}$$

$$3,9 \text{ [kN/m]}$$

**NW nicht erfüllt!**

## Standsicherheitsnachweis Giebelwand Obergeschoß

### Abmessungen

Mauerstärke  $d$  =  
 Deckenspannweite  $l_1$  =  
 Auflagertiefe  $a$  =  
 Lichte Geschoßhöhe  $h_s$  =  
 Bauwerksbreite  $b$  =

0,12	[m]
10	[m]
0,12	[m]
2,93	[m]
5,01	[m]

-> Achsabstand der aussteifenden Wände (Außenwände)

### Auflagerkräfte Obergeschoß

$N_{o,k} =$   
 $N_{u,k} =$   
 $N_{stapler,d} =$   
 $A_{OG,Decke,d} = 1,35 \cdot g + 1,5 \cdot q$   
 $A_{OG,d,ges,max} =$   
 $A_{OG,Decke,d} = 1,35 \cdot (g + q/2)$   
 $A_{OG,d,ges,min} =$

31,03	[kN/m]	-> Lasten aus DG
7,8	[kN/m]	-> Eigengewicht Wand
60	[kN/m]	-> Achslast vorne Stapler, $q_k = 40 \text{ kN/m}$ , $\gamma_q = 1,5$
29,05	[kN/m]	$A_{OG,Decke,d} = 23,7 \text{ kN/m}$ (gelenkig)
130,61	[kN/m]	$A_{OG,Decke,d} = 34,4 \text{ kN/m}$ (eingespannt)
24,2	[kN/m]	$A_{OG,Decke,d} = 19,7 \text{ kN/m}$ (gelenkig)
63,03	[kN/m]	$A_{OG,Decke,d} = 28,7 \text{ kN/m}$ (eingespannt)

### Knotenmomente mit 5% Regel ( $q=3 \text{ kN/m}^2 < 5 \text{ kN/m}^2$ )

Exzentrizität  $e_{OG} = 0,05 \cdot l_1 =$   
 Knotenmoment Wandfuß  $M_{e,OG,u,d,max} =$   
 Knotenmoment am Wandkopf  $M_{e,OG,o,d} =$   
 min. Knotenmoment Wandfuß  $M_{e,OG,u,d,min} = 0,5 \cdot e_{OG} \cdot A_{OG,Decke,d,min} =$

$$0,5 \text{ [m]} < d/3 = 0,04 \text{ [m]} \rightarrow e_{DG} = 0,04$$

$$-26 \text{ [kNm/m]} \rightarrow \text{max. Moment zufolge Stapler}$$

$$-0,41 \text{ [kNm/m]}$$

$$0,48 \text{ [kNm/m]}$$

### Knicklänge - Wand

Abst. der aussteifenden Wände  $b =$

max. Abstand der aussteifenden Wände

$$\begin{aligned} \text{Fall 1} &= 15 \cdot d \\ \text{Fall 2} &= 30 \cdot d \end{aligned}$$

$$5,01 \text{ [m]}$$

$$1,8 \text{ [m]}$$

$$3,6 \text{ [m]}$$

-> Berechnung als zweiseitig gehaltene Wand

Knicklängenbeiwert  $\beta =$

Knicklänge  $h_k = \beta \cdot h_s$

Schlankheit =  $h_k/d =$

### Nachweise

char. Wert der Druckfestigkeit des Mauerwerks  $f_k =$

$$2,8 \text{ [N/mm}^2]$$

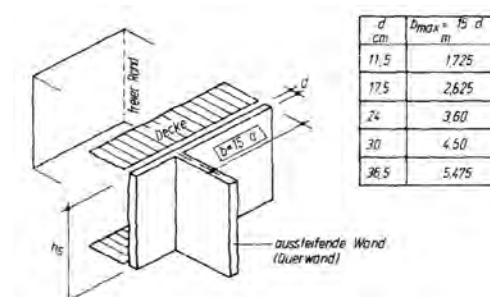
Teilsicherheitsbeiwerte der Baustoffeigenschaften

$$k_0 =$$

$$\gamma_m = 1,5 + k_0 =$$

$$\eta =$$

1	Bauteilabhängiger Beiwert
1,5	Sicherheitsbeiwert auf der Materialseite
0,85	[-] Berücksichtigung der Langzeitwirkung



### Wandkopf:

$$N_{o,d} = A_{OG,d,ges} =$$

$$31,03 \text{ [kN/m]}$$

$$M_{e,OG,o,d} =$$

$$0,41 \text{ [kNm/m]}$$

$$e_o = M_{e,OG,o,d}/N_{o,d} =$$

$$0,01321 \text{ [m]}$$

$$e_{o,min} = 0,05 \cdot d =$$

$$0,006 \text{ [m]}$$

$$e_{o,max} = 0,33 \cdot d =$$

$$0,04 \text{ [m]}$$

Abminderungsfaktor am Wandkopf

$$\Phi_u = 1 - (2 \cdot e_o)/d =$$

$$0,78$$

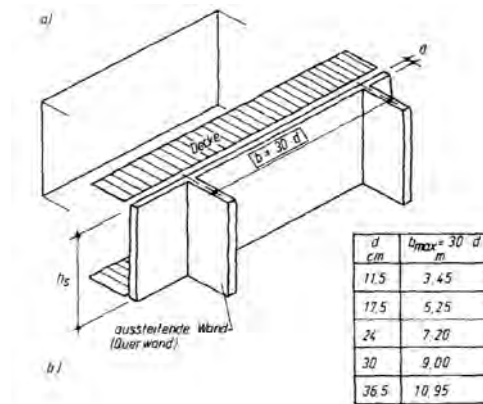
Aufnehmbare Normalkraft

$$N_{Rd,u} = \Phi_u \cdot A \cdot \eta \cdot f_k / \gamma_m =$$

$$148,47 \text{ [kN/m]}$$

$$N_{ed,u} = N_{u,d} =$$

$$31,03 \text{ [kN/m]} \quad \text{NW erfüllt!}$$



### Wandfuß:

$$N_{u,d} = A_{OG,d,ges} =$$

$$130,61 \text{ [kN/m]}$$

$$M_{e,OG,u,d} =$$

$$26 \text{ [kNm/m]}$$

$$e_u = M_{e,OG,u,d}/N_{u,d} =$$

$$0,19907 \text{ [m]}$$

$$e_{u,min} = 0,05 \cdot d =$$

$$0,006 \text{ [m]}$$

$$e_{u,max} = 0,33 \cdot d =$$

$$0,04 \text{ [m]}$$

Abminderungsfaktor am Wandfuß

$$\Phi_u = 1 - (2 \cdot e_u)/d =$$

$$-2,32$$

Aufnehmbare Normalkraft

$$N_{Rd,u} = \Phi_u \cdot A \cdot \eta \cdot f_k / \gamma_m =$$

$$-441,30 \text{ [kN/m]}$$

$$N_{ed,u} = N_{u,d} =$$

$$130,61 \text{ [kN/m]} \quad \text{NW nicht erfüllt!}$$

### Wandmitte:

$$N_{m,d} =$$

$$126,71 \text{ [kN/m]}$$

$$M_{e,m,d} =$$

$$0,037 \text{ [kNm/m]} = 0,5 \cdot (M_{e,OG,o,d} + M_{e,DG,u,d,min}) + M_{e,DG,u,d,min}$$

$$e_{m0} = M_{e,m,d}/N_{m,d} =$$

$$0,00029 \text{ [m]}$$

Ermittlung Abminderungsfaktor  $\Phi_m$ :

ungewollte Ausmitte:

$$e_a = h_k/450$$

$$0,00651 \text{ [m]}$$

Exzentrizität infolge Kriechen:

$$h_k/d =$$

24 > 10 **emk muss berechnet werden**

$$e_{mk} = 0,002 * \varphi_{\infty} * h_k * (e_{m0}/d)^{0.5} =$$

$$\varphi_{\infty} =$$

$$e_m = e_{m0} + e_{mk} + e_a =$$

$$\Phi_m = 1,14 * (1 - (2 * e_m)/d) - 0,024 * h_k/d =$$

$$N_{Rd,m} = \Phi_m * A * \eta * f_k / \gamma_m =$$

$$N_{ed,m} = N_{m,d} = 126,71 \text{ [kN/m]} \quad \text{NW nicht erfüllt!}$$

$$0,00 \text{ [m]}$$

$$1 \text{ [-]}$$

-> Wert für Mauerziegel

$$0,01 \text{ [m]}$$

$$0,364 \text{ [-]}$$

$$69,31 \text{ [kN/m]}$$

## Standsicherheitsnachweis Giebelwand Erdgeschoß

### Abmessungen

Mauerstärke  $d =$   
 Deckenspannweite  $l_1 =$   
 Auflagertiefe  $a =$   
 Lichte Geschoßhöhe  $h_s =$   
 Bauwerksbreite  $b =$

0,12	[m]
10	[m]
0,12	[m]
2,84	[m]
5,01	[m]

-> Achsabstand der aussteifenden Wände (Außenwände)

### Auflagerkräfte Erdgeschoß

$N_{o,k} =$   
 $N_{u,k} =$   
 $A_{EG,Decke,d} = 1,35 \cdot g + 1,5 \cdot q$

130,61	[kN/m]	-> Lasten aus OG
7,8	[kN/m]	-> Eigengewicht Wand
20,5	[kN/m]	$A_{EG,Decke,d} = 16,7$ kN/m (gelenkig)
161,64	[kN/m]	$A_{EG,Decke,d} = 24,3$ kN/m (eingespannt)

$A_{EG,d,ges,max} =$   
 $A_{EG,Decke,d} = 1,35 \cdot (g + q/2)$   
 $A_{EG,d,ges,min} =$

15,7	[kN/m]	$A_{EG,Decke,d} = 12,8$ kN/m (gelenkig)
154,11	[kN/m]	$A_{EG,Decke,d} = 18,6$ kN/m (eingespannt)

### Knotenmomente mit 5% Regel ( $q=3 \text{ kN/m}^2 < 5 \text{ kN/m}^2$ )

Exzentrizität  $e_{EG} = 0,05 \cdot l_1 =$   
 Knotenmoment Wandfuß  $M_{e,EG,u,d,max} = 0,5 \cdot e_{EG} \cdot A_{EG,Decke,d} =$   
 Knotenmoment am Wandkopf  $M_{e,EG,o,d} =$   
 min. Knotenmoment Wandfuß  $M_{e,EG,u,d,min} = 0,5 \cdot e_{EG} \cdot A_{EG,Decke,d,min} =$

$$0,5 \text{ [m]} < d/3 = 0,04 \text{ [m]} \quad -> e_{DG} = 0,04$$

-0,41 [kNm/m] -> vertikale Lasten ( $N_o$ ) aus darüber befindlichen Geschoßen dürfen mit  $e=0$  gerechnet werden

$$-0,41 \text{ [kNm/m]}$$

$$0,31 \text{ [kNm/m]}$$

### Knicklänge - Wand

Abst. der aussteifenden Wände  $b =$   
 max. Abstand der aussteifenden Wände

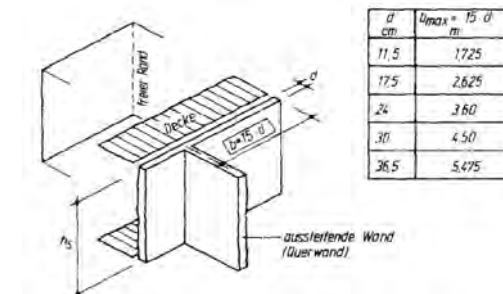
$$\begin{aligned} 5,01 \text{ [m]} \\ 1,8 \text{ [m]} \\ 3,6 \text{ [m]} \end{aligned}$$

-> Berechnung als zweiseitig gehaltene Wand

Knicklängenbeiwert  $\beta =$   
 Knicklänge  $h_k = \beta \cdot h_s$   
 Schlankheit =  $h_k/d =$

$$\begin{aligned} 1 \text{ [-]} & \quad (\text{d} < 175 \text{ mm}, \text{ Decke liegt über gesamte Wandbreite auf und } e = d/3) \\ 2,84 \text{ [m]} \\ 23,7 \text{ [-]} \end{aligned}$$

Schlankheit < 25, zulässig!



char. Wert der Druckfestigkeit des Mauerwerks  $f_k =$   
 Teilsicherheitsbeiwerte der Baustoffeigenschaften  
 $k_0 =$   
 $\gamma_m = 1,5 + k_0 =$   
 $\eta =$

2,8	[N/mm <sup>2</sup> ]
1	Bauteilabhängiger Beiwert
1,5	Sicherheitsbeiwert auf der Materialseite
0,85	[-] Berücksichtigung der Langzeitwirkung

### Wandkopf:

$$N_{o,d} = A_{EG,d,ges} =$$

$$M_{e,EG,o,d} =$$

$$e_o = M_{e,EG,o,d}/N_{o,d} =$$

$$e_{o,min} = 0,05*d =$$

$$e_{o,max} = 0,33*d =$$

Abminderungsfaktor am Wandkopf

$$\Phi_u = 1 - (2 * e_o)/d =$$

Aufnehmbare Normalkraft

$$N_{Rd,u} = \Phi_u * A * \eta * f_k / \gamma_m =$$

$$N_{ed,u} = N_{u,d} =$$

$$130,61 \text{ [kN/m]}$$

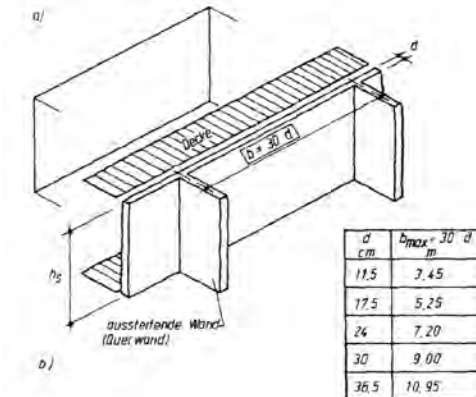
$$0,41 \text{ [kNm/m]}$$

$$0,00314 \text{ [m]}$$

$$0,006 \text{ [m]}$$

$$0,04 \text{ [m]}$$

$$0,90$$



Wandfuß:

$$N_{u,d} = A_{EG,d,ges} =$$

$$M_{e,EG,u,d} =$$

$$e_u = M_{e,EG,u,d}/N_{u,d} =$$

$$e_{u,min} = 0,05*d =$$

$$e_{u,max} = 0,33*d =$$

Abminderungsfaktor am Wandfuß

$$\Phi_u = 1 - (2 * e_u)/d =$$

Aufnehmbare Normalkraft

$$N_{Rd,u} = \Phi_u * A * \eta * f_k / \gamma_m =$$

$$N_{ed,u} = N_{u,d} =$$

$$161,64 \text{ [kN/m]}$$

$$0,41 \text{ [kNm/m]}$$

$$0,00254 \text{ [m]}$$

$$0,006 \text{ [m]}$$

$$0,04 \text{ [m]}$$

$$0,90$$

Wandmitte:

$$N_{m,d} =$$

$$M_{e,m,d} =$$

$$e_{m0} = M_{e,m,d}/N_{m,d} =$$

$$157,74 \text{ [kN/m]}$$

$$-0,048 \text{ [kNm/m]} = 0,5 * (M_{e,OG,o,d} + M_{e,DG,u,d,min}) + M_{e,DG,u,d,min}$$

$$-0,0003 \text{ [m]}$$

Ermittlung Abminderungsfaktor  $\Phi_m$ :

ungewollte Ausmitte:

$$e_a = h_k/450$$

Exzentrizität infolge Kriechen:

$$0,00631 \text{ [m]}$$

$h_k/d =$

24 > 10 **emk muss berechnet werden**

$$e_{mk} = 0,002 * \varphi_{\infty} * h_k * (e_{m0}/d)^{0.5} =$$

$\varphi_{\infty} =$

0,00 [m]

1 [-]

-> Wert für Mauerziegel

$e_m = e_{m0} + e_{mk} + e_a =$  0,01 [m]

$\Phi_m = 1,14 * (1 - (2 * e_m)/d) - 0,024 * h_k/d =$  0,382 [-]

$N_{Rd,m} = \Phi_m * A * \eta * f_k / \gamma_m =$  72,73 [kN/m]

$N_{ed,m} = N_{m,d} =$  157,74 [kN/m] **NW nicht erfüllt!**

**INHALT**

Inhalt .....	1
Materialkennwerte .....	2
Querschnittswerte .....	2
Finite Elemente .....	2
<b>Lasten</b>	
Lastfallbezeichnungen .....	5
Lastsummen .....	5
LF 2: Belastung, Auflagerlasten_Brücke .....	7
LF 3: Belastung, Wind_Sog_0,8_kN/m <sup>2</sup> .....	8
LF 4: Belastung, Wind_Druck_0,8_kN/m <sup>2</sup> .....	9
<b>DIN EN 1992-1-1 Bemessung</b>	
Einwirkungen DIN EN 1992-1-1 Bemessung .....	10
Bemessungsvorgaben DIN EN 1992-1-1 .....	10
<b>Ergebnisse</b>	
Deformationen uz; LF 5, Lastgruppe_Sog .....	12
Deformationen uy; LF 5, Lastgruppe_Sog .....	13
Deformationen uz; LF 5, Lastgruppe_Sog .....	14
Deformationen uy; LF 6, Lastgruppe_Druck .....	15
Deformationen uz; LF 6, Lastgruppe_Druck .....	16
Deformationen uz; LF 7, Lastgruppe_verikal .....	17
Bodenpressungen Sigma.z; LF 1, Eigengewicht .....	18
Bodenpressungen Sigma.z; LF 5, Lastgruppe_Sog .....	19
Bodenpressungen Sigma.z; LF 6, Lastgruppe_Druck .....	20
Bodenpressungen Sigma.z; LF 7, Lastgruppe_verikal .....	21
Biegebewehrung asx 1. Lage; Tragfähigkeit DIN EN 1992-1-1 .....	22
Biegebewehrung asx 2. Lage; Tragfähigkeit DIN EN 1992-1-1 .....	23
Biegebewehrung asy 1. Lage; Tragfähigkeit DIN EN 1992-1-1 .....	24
Biegebewehrung asy 2. Lage; Tragfähigkeit DIN EN 1992-1-1 .....	25

**Materialkennwerte**

Nr.	Art	E-Modul [MN/m <sup>2</sup> ]	G-Modul [MN/m <sup>2</sup> ]	Quer- dehnz.	alpha.t [1/K]	gamma [kN/m <sup>3</sup> ]
1	1 C20/25-EN-D	30000	12500	0,20	1,000e-05	25,000
2	2 C20/25-EN-D	30000	12500	0,20	1,000e-05	25,000
3	3 C12/15-EN-D	3500	1458	0,20	1,000e-05	12,000

**Querschnittswerte**

1	Fläche	Wand_40 Elementdicke [m] Orthotropie dz/dz E-Modul Platte/Scheibe	dz = 0,4000 = 1 = 1	drillsteif
2	Fläche	Fundamentplatte_50 Elementdicke [m] Orthotropie dz/dz E-Modul Platte/Scheibe	dz = 0,5000 = 1 = 1	drillsteif
3	Fläche	Wand_40_ziegel Elementdicke [m] Orthotropie dz/dz E-Modul Platte/Scheibe	dz = 0,4000 = 1 = 1	drillsteif

**Finite Elemente****Materialkennwerte**

Nr.	Material- Art	E-Modul [MN/m <sup>2</sup> ]	G-Modul [MN/m <sup>2</sup> ]	Quer- dehn.	alpha.t [1/K]	gamma [kN/m <sup>3</sup> ]
1	C20/25-EN-D	30000	12500	0,20	1,000e-05	25,000
2	C20/25-EN-D	30000	12500	0,20	1,000e-05	25,000
3	C12/15-EN-D	3500	1458	0,20	1,000e-05	12,000

**Bettung**

Qu.- Nr.	kbx [MN/m <sup>3</sup> ]	kby	kbz	bx	by [m]	bz
1	0,0	0,0	0,0	1,00	1,00	1,00
2	10,0	10,0	120,0	1,00	1,00	1,00
3	0,0	0,0	0,0	1,00	1,00	1,00

**Kriech- und Schwindbeiwerte**

Material	phi.t	rho	epsilon.s
1	0,000	0,800	0,00E-05
2	0,000	0,800	0,00E-05
3	0,000	0,800	0,00E-05

**Querschnittswerte**

Nr.	1	FL d=0,4	A = 4,000e-01 [m <sup>2</sup> ], Iy = 5,333e-03 [m <sup>4</sup> ]
Nr.	2	FL d=0,5	A = 5,000e-01 [m <sup>2</sup> ], Iy = 1,042e-02 [m <sup>4</sup> ]
Nr.	3	FL d=0,4	

**Querschnittswerte** $A = 4,000e-01 \text{ [m}^2\text{]}, \text{ I}_y = 5,333e-03 \text{ [m}^4\text{]}$ **Systemkenngrößen**

Knoten	2321
Elemente	2238
Unbekannte	13926
Bandbreite	372
Steifigkeitsmatrix	29,7 MB
Massenmatrix	2,9 MB

**Lastfall-Übersicht**

Lf-Nr. Bezeichnung

- |   |                       |
|---|-----------------------|
| 1 | Eigengewicht          |
| 2 | Auflagerlasten_Brücke |
| 3 | Wind_Sog_0,8_kN/m2    |
| 4 | Wind_Druck_0,8_kN/m2  |
| 5 | Lastgruppe_Sog        |
| 6 | Lastgruppe_Druck      |
| 7 | Lastgruppe_verikal    |

**Lastdaten Lastfall 1 (Eigengewicht)**

EG : Eigengewicht für alle Elemente  
 Wichtungsfaktoren:  $f_x / f_y / f_z = 0,0000 / 0,000 / 1,000$

**Globale Gleichgewichtskontrolle Lastfall 1**

	Rx [kN]	Ry	Rz
Belastung :	-0,00	-0,00	2851,50
Auflagerkräfte :	0,00	0,00	0,00
Bettungskräfte :	-0,00	-0,00	2851,50
Summe :	0,00	0,00	0,00

**Lastdaten Lastfall 2 (Auflagerlasten\_Brücke)**

PG : Einzellast (global)

x [m]	y	z	Px [kN]	Py	Pz
37,431	10,527	-3,230	0,00	0,00	90,40
36,431	10,527	-3,230	0,00	0,00	66,20

**Globale Gleichgewichtskontrolle Lastfall 2**

	Rx [kN]	Ry	Rz
Belastung :	0,00	0,00	156,60
Auflagerkräfte :	0,00	0,00	0,00
Bettungskräfte :	0,00	0,00	156,60
Summe :	-0,00	-0,00	0,00

**Lastdaten Lastfall 3 (Wind\_Sog\_0,8\_kN/m2)**

GD2 : Gleichlast-Dreieck (global)

	x [m]	y	z	qx [kN/m <sup>2</sup> ]	qy	qz
1. Punkt:	37,486	10,527	-11,830	0,00	0,80	0,00
2. Punkt:	42,441	10,527	-8,730			
3. Punkt:	32,531	10,527	0,000			

**Lastdaten Lastfall 3 (Wind\_Sog\_0,8\_kN/m2)**

GD2 : Gleichlast-Dreieck (global)

	x [m]	y	z	qx [kN/m <sup>2</sup> ]	qy	qz
1. Punkt:	32,531	10,527	0,000	0,00	0,80	0,00
2. Punkt:	32,531	10,527	-8,730			
3. Punkt:	37,486	10,527	-11,830			
1. Punkt:	42,441	10,527	-8,730	0,00	0,80	0,00
2. Punkt:	42,441	10,527	0,000			
3. Punkt:	32,531	10,527	0,000			

**Globale Gleichgewichtskontrolle Lastfall 3**

	Rx [kN]	Ry	Rz
Belastung :	0,00	78,59	0,00
Auflagerkräfte :	0,00	0,00	0,00
Bettungskräfte :	0,00	78,59	-0,00
Summe :	-0,00	0,00	0,00

**Lastdaten Lastfall 4 (Wind\_Druck\_0,8\_kN/m2)**

GD2 : Gleichlast-Dreieck (global)

	x [m]	y	z	qx [kN/m <sup>2</sup> ]	qy	qz
1. Punkt:	37,486	10,527	-11,830	0,00	-0,80	0,00
2. Punkt:	42,441	10,527	-8,730			
3. Punkt:	32,531	10,527	0,000			
1. Punkt:	32,531	10,527	0,000	0,00	-0,80	0,00
2. Punkt:	32,531	10,527	-8,730			
3. Punkt:	37,486	10,527	-11,830			
1. Punkt:	42,441	10,527	-8,730	0,00	-0,80	0,00
2. Punkt:	42,441	10,527	0,000			
3. Punkt:	32,531	10,527	0,000			

**Globale Gleichgewichtskontrolle Lastfall 4**

	Rx [kN]	Ry	Rz
Belastung :	0,00	-78,59	0,00
Auflagerkräfte :	0,00	0,00	0,00
Bettungskräfte :	-0,00	-78,59	0,00
Summe :	0,00	-0,00	-0,00

**Lastdaten Lastfall 5 (Lastgruppe\_Sog)**

EINF: Lastdaten einfügen

Lastfall	1	bis	1	Wichtungsfaktor	1,350
Lastfall	2	bis	2	Wichtungsfaktor	1,500
Lastfall	3	bis	3	Wichtungsfaktor	1,500

TH : Berechnungstheorie 1. Ordnung  
Bettung unter Ausschluß von Zugspannungen

**Globale Gleichgewichtskontrolle Lastfall 5**

	Rx [kN]	Ry	Rz
Belastung :	-0,00	117,88	4084,42
Auflagerkräfte :	0,00	0,00	0,00
Bettungskräfte :	0,00	117,88	4084,42
Summe :	-0,00	0,00	0,00

**Lastdaten Lastfall 6 (Lastgruppe\_Druck)**

EINF: Lastdaten einfügen  
 Lastfall 1 bis 1 Wichtungsfaktor 1,350  
 Lastfall 2 bis 2 Wichtungsfaktor 1,500  
 Lastfall 4 bis 4 Wichtungsfaktor 1,500  
 TH : Berechnungstheorie 1. Ordnung  
 Bettung unter Ausschluß von Zugspannungen

**Globale Gleichgewichtskontrolle Lastfall 6**

	Rx [kN]	Ry	Rz
Belastung :	-0,00	-117,88	4084,42
Auflagerkräfte :	0,00	0,00	0,00
Bettungskräfte :	0,00	-117,88	4084,42
Summe :	-0,00	0,00	0,00

**Lastdaten Lastfall 7 (Lastgruppe\_verikal)**

EINF: Lastdaten einfügen  
 Lastfall 1 bis 1 Wichtungsfaktor 1,350  
 Lastfall 2 bis 2 Wichtungsfaktor 1,500  
 TH : Berechnungstheorie 1. Ordnung  
 Bettung unter Ausschluß von Zugspannungen

**Globale Gleichgewichtskontrolle Lastfall 7**

	Rx [kN]	Ry	Rz
Belastung :	-0,00	-0,00	4084,42
Auflagerkräfte :	0,00	0,00	0,00
Bettungskräfte :	0,00	0,00	4084,42
Summe :	-0,00	-0,00	0,00

**Lastfall-Bezeichnung**

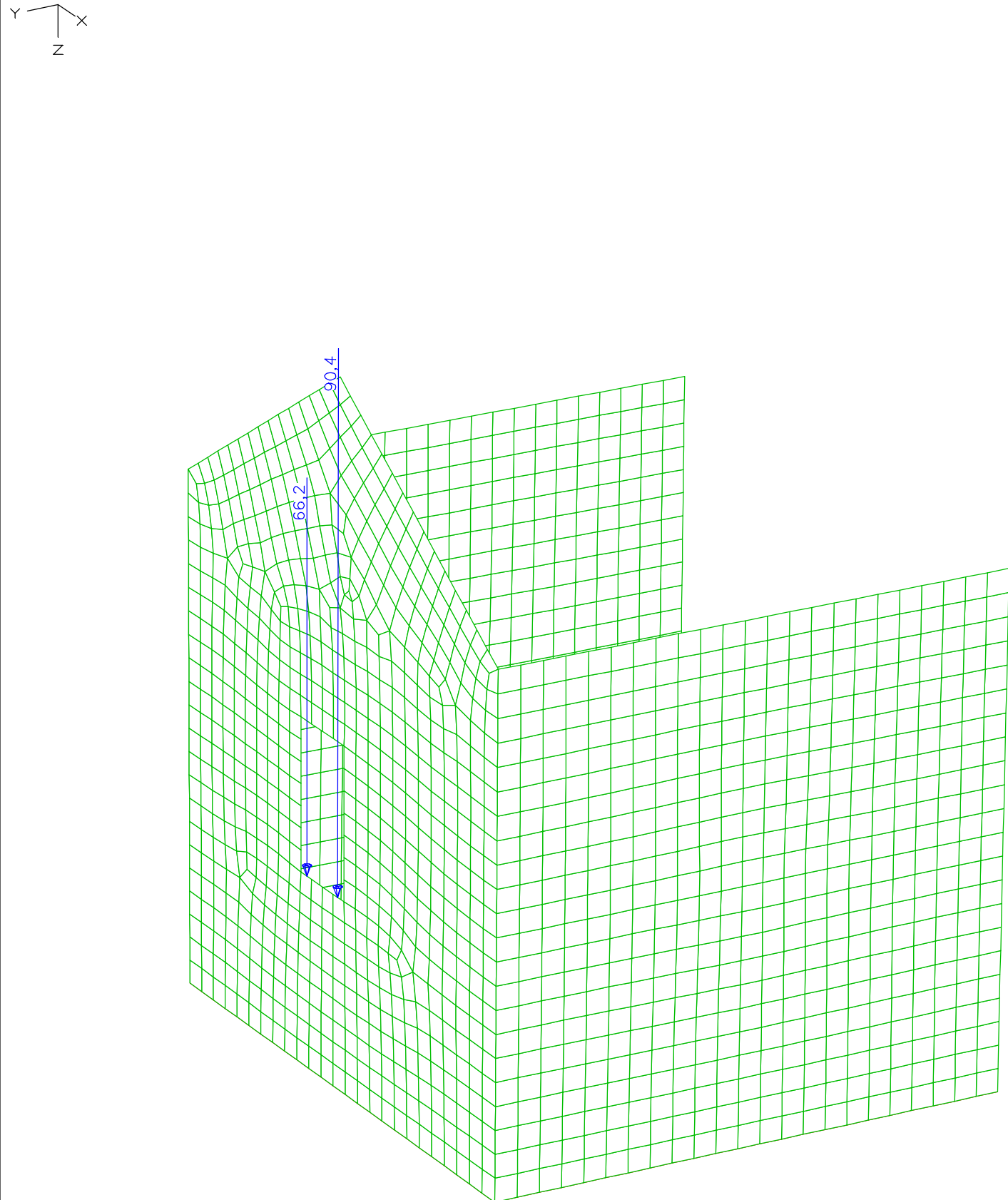
	Lastfall	Bezeichnungstext
1	1	Eigengewicht
2	2	Auflagerlasten_Brücke
3	3	Wind_Sog_0,8_kN/m <sup>2</sup>
4	4	Wind_Druck_0,8_kN/m <sup>2</sup>
5	5	Lastgruppe_Sog
6	6	Lastgruppe_Druck
7	7	Lastgruppe_verikal

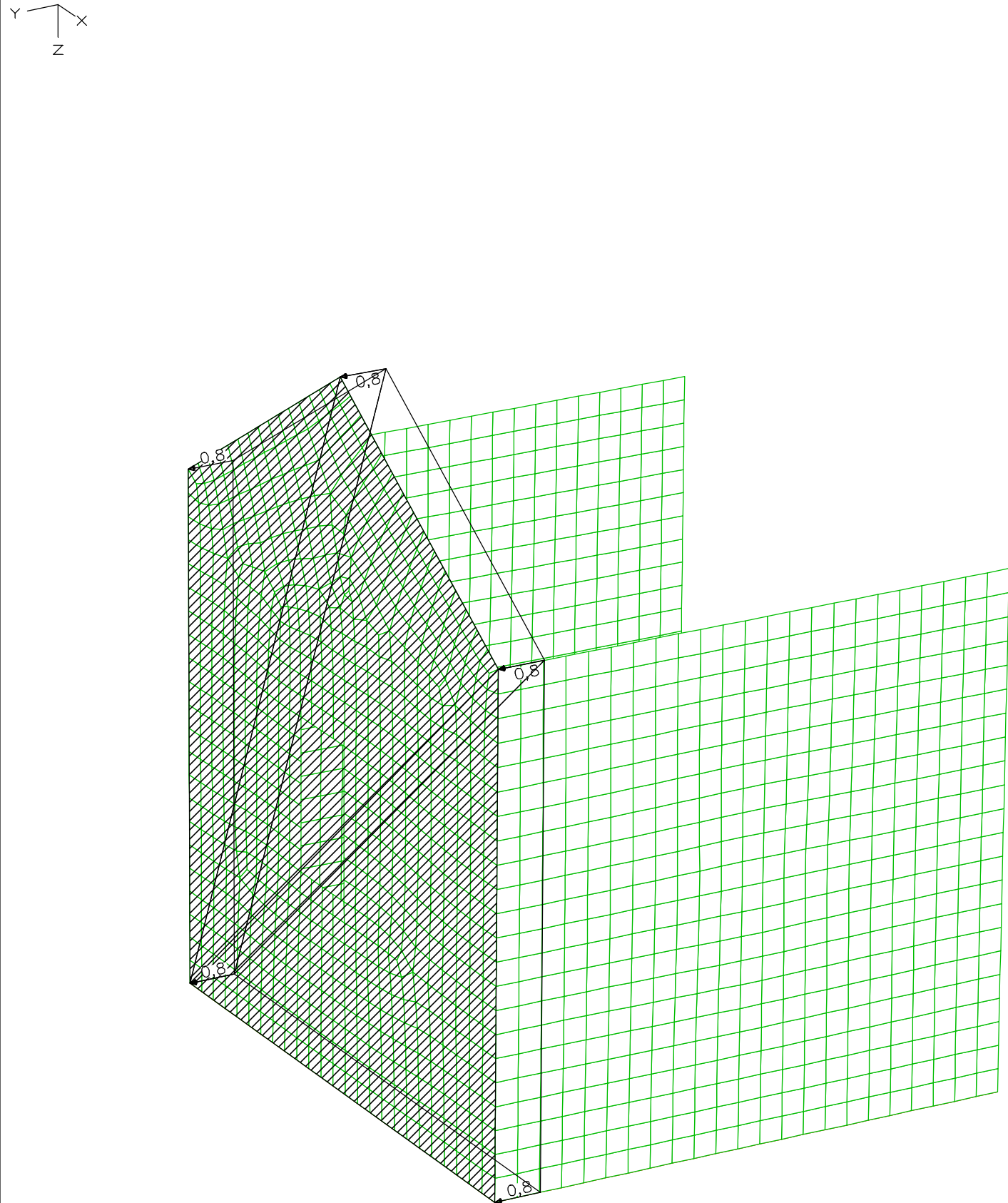
**Summe der aufgebrachten Lasten und Auflagerreaktionen**

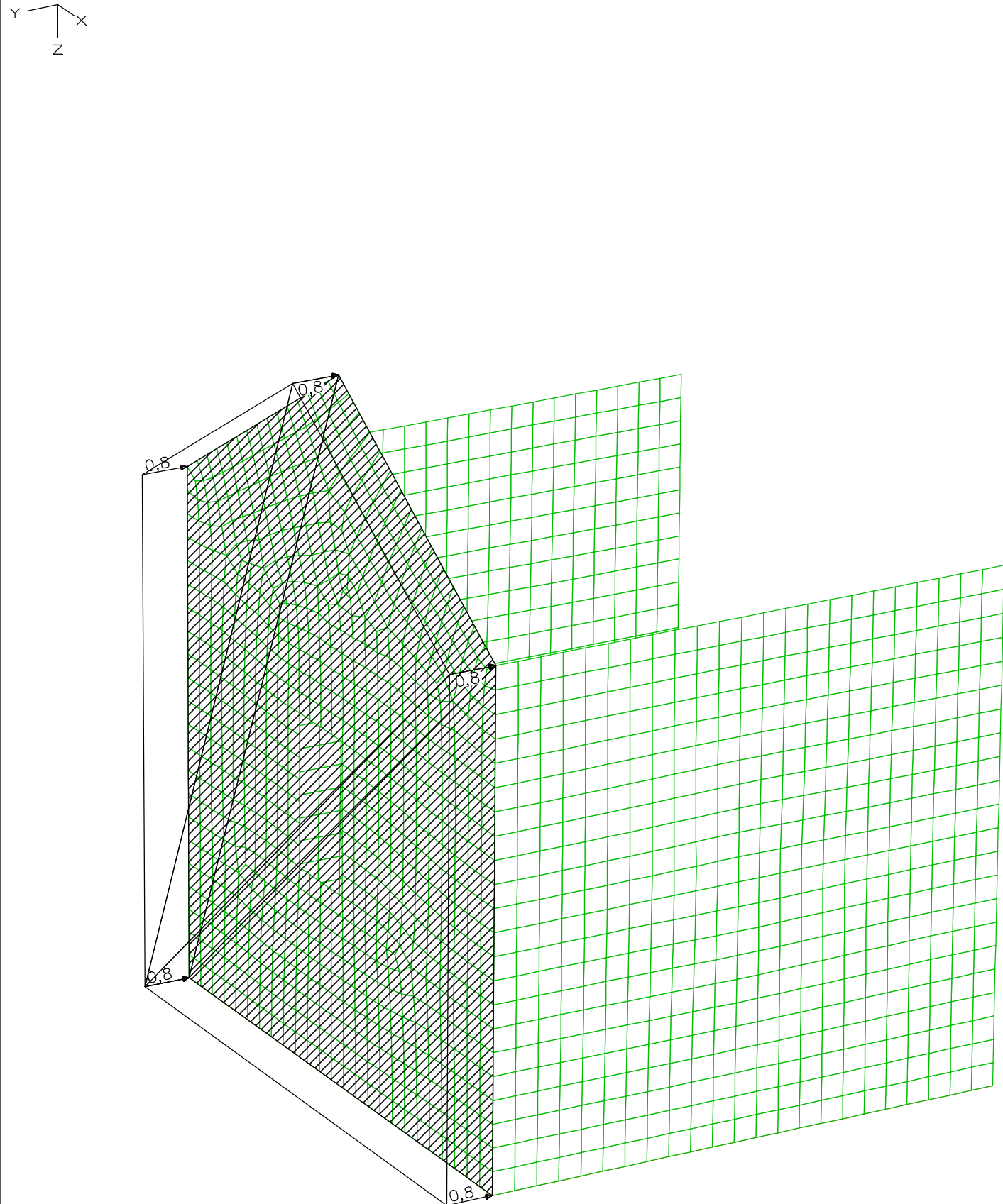
LF.	Bezeichnung	Fx [kN]	Fy [kN]	Fz [kN]
1	Eigengewicht	-0,000	-0,000	2851,495
	Auflagerreaktionen	0,000	0,000	0,000
	Bettungskräfte	-0,000	-0,002	2851,495
2	Auflagerlasten_Brücke	0,000	0,000	156,600
	Auflagerreaktionen	0,000	0,000	0,000
	Bettungskräfte	0,000	0,001	156,600
3	Wind_Sog_0,8_kN/m <sup>2</sup>	0,000	78,588	0,000
	Auflagerreaktionen	0,000	0,000	0,000
	Bettungskräfte	0,000	78,587	-0,000

**Summe der aufgebrachten Lasten und Auflagerreaktionen**

LF.	Bezeichnung	Fx [kN]	Fy [kN]	Fz [kN]
4	Wind_Druck_0,8_kN/m2	0,000	-78,588	0,000
	Auflagerreaktionen	0,000	0,000	0,000
	Bettungskräfte	-0,000	-78,587	0,000
5	Lastgruppe_Sog	-0,000	117,882	4084,418
	Auflagerreaktionen	0,000	0,000	0,000
	Bettungskräfte	0,000	117,882	4084,418
6	Lastgruppe_Druck	-0,000	-117,882	4084,418
	Auflagerreaktionen	0,000	0,000	0,000
	Bettungskräfte	0,000	-117,882	4084,418
7	Lastgruppe_verikal	-0,000	-0,000	4084,418
	Auflagerreaktionen	0,000	0,000	0,000
	Bettungskräfte	0,000	0,000	4084,418







## DIN EN 1992-1-1 Einwirkungen

### Standard Bemessungsgruppe

#### Fd - Bemessungswerte von Einwirkungen

##### Lastfälle

5 Lastgruppe\_Sog

#### 1. Ständige und vorübergehende Situation

##### Endzustand

Fd Bemessungswerte von Einwirkungen

#### Bemessungsvorgaben DIN EN 1992-1-1

Qu.	Expos. klasse	Vorspannung des Bauteils	Bewehrung	Ermüd. M R B Q T S P C	Riss- br.	De- komp.	Spannungen Druck S P
1	XC4	Nicht vorgesp.	.. x x .	.. . . .	.	.	.. . .
2	XC4	Nicht vorgesp.	.. x x .	.. . . .	.	.	.. . .
3	XC4	Nicht vorgesp.	.. x x .	.. . . .	.	.	.. . .

(M) Mindestbewehrung zur Sicherstellung der Robustheit.

(R) Mindestbewehrung zur Begrenzung der Rissbreite.

(B) Längsbewehrung aus Bemessung in den Grenzzuständen der Tragfähigkeit.

(Q) (Mindest-)Querkraftbewehrung in den Grenzzuständen der Tragfähigkeit.

(T) Torsionsbewehrung aus Bemessung in den Grenzzuständen der Tragfähigkeit.

(S) Betonstahl im Spannungs- und Ermüdungsnachweis.

(P) Spannstahl im Spannungs- und Ermüdungsnachweis.

(C) Beton im Ermüdungsnachweis.

#### Vorgaben für den Nachweis der Längs- und Querbewehrung

fyk Stahlgüte der Bügel.

Theta Neigung der Betondruckstrebrennen.

Der eingegebene Wert für cot Theta wird programmseitig nach Gl. (NA.6.7a) begrenzt (Verfahren mit beanspruchungsabhängiger Druckstrebeneigung).

Pl. Balken werden wie Platten bemessen.

Asl Vorh. Biegezugbewehrung nach Bild 6.3, autom. Erhöhung bis Maximum.

Fakt. Faktor für Mindestbewehrungsgrad rho.w,min nach Gl. (NA.9.5a/b).

x,y Getrennter Querkraftnachweis für die Bewehrungsrichtungen x und y.

cvl Verlegemaß der Längsbewehrung zur Begrenzung des Hebelarms z.

Qu.	Beton	Bem.modus für M und N	fyk Bügel [MN/m <sup>2</sup> ]	Neig. cot Theta	Bem. wie vorh. Pl.	Asl max [cm <sup>2</sup> ]	Bild 6.3 [cm <sup>2</sup> ]	Fakt. rho.w min	Nw. für x,y [m]	Vmaß cvl
1	C20/25-EN-D	Standard	500	1,00	.	0,00	0,00	0,60	.	0,050
2	C20/25-EN-D	Standard	500	1,00	.	0,00	0,00	0,60	.	0,070
3	C12/15-EN-D	Standard	500	1,00	.	0,00	0,00	0,60	.	0,050

#### Schubquerschnitte

bw.nom Rechnerische Querschnittsbreite bei Vorspannung nach 6.2.3(6).

h.nom Rechnerische Querschnittshöhe bei Vorspannung nach 6.2.3(6).

kb, kd Faktor zur Berechnung des inneren Hebelarms z aus der Nutzbreite bn bzw. der Nutzhöhe d.

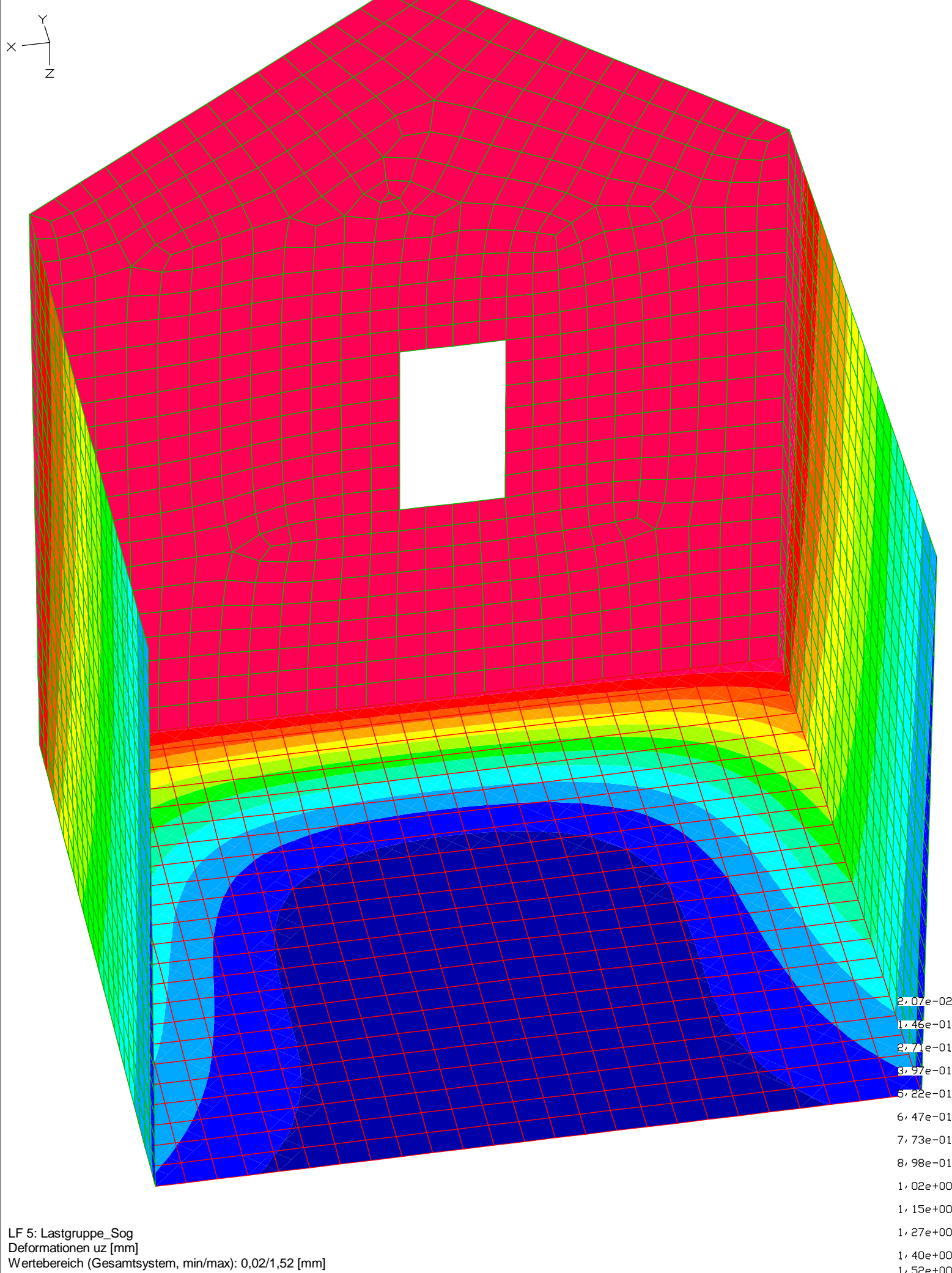
z1, z2 Höhe und Breite des Kernquerschnitts für Torsion.

tef Wanddicke des Torsionskastens.

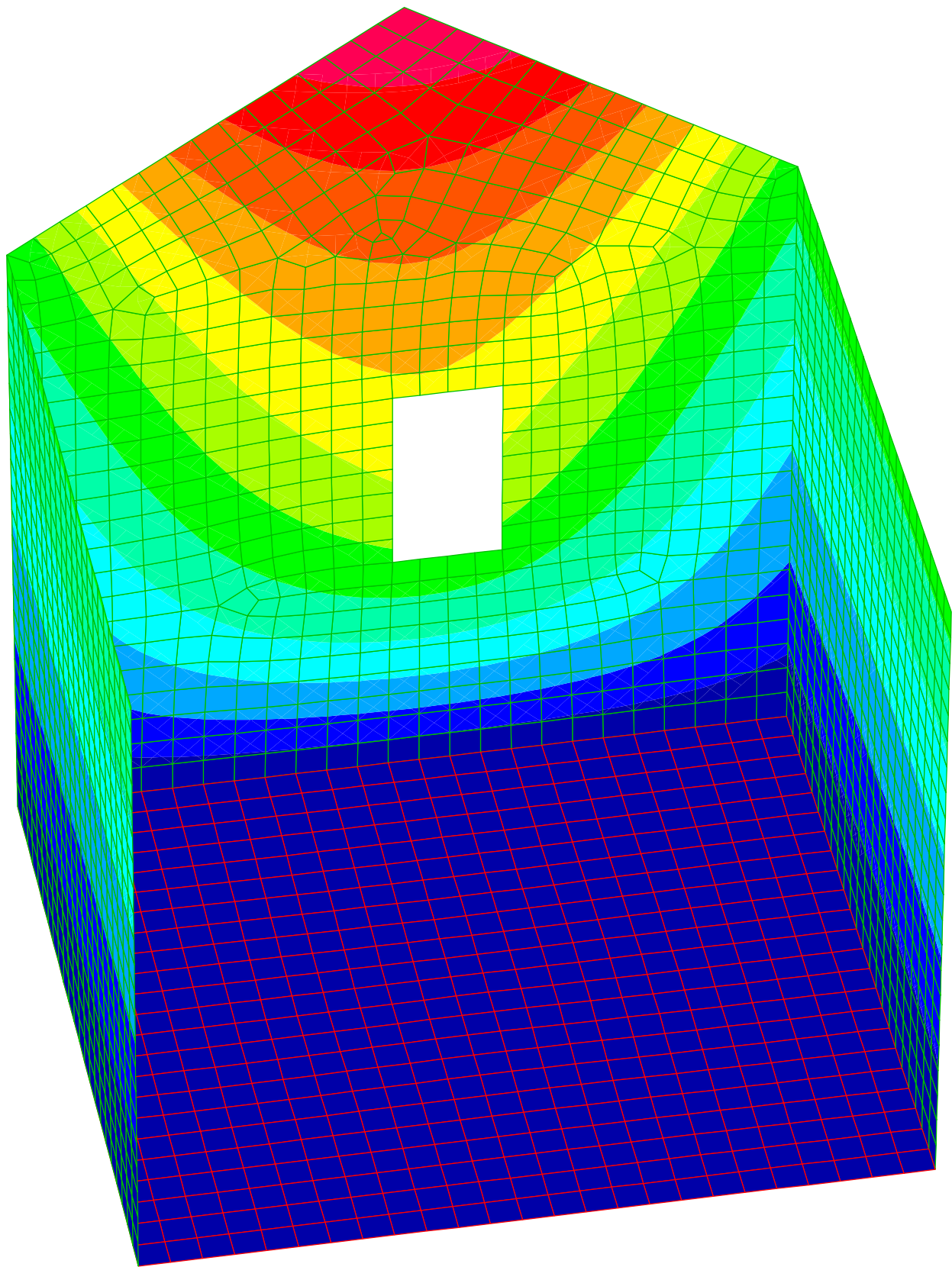
K. Kastenquerschnitt; Ermittlung der Tragfähigkeit nach Gl.(6.23).

Qu.	Breite [m] bw	Nutzbreite bw.nom	Höhe [m] bn	Nutzhöhe h	Torsionsquerschn. [m] kd
1	1,000	.	.	0,400	.
2	1,000	.	.	0,500	.

3 1,000 . . . . 0,400 . . 0,370 0,90 . . . .



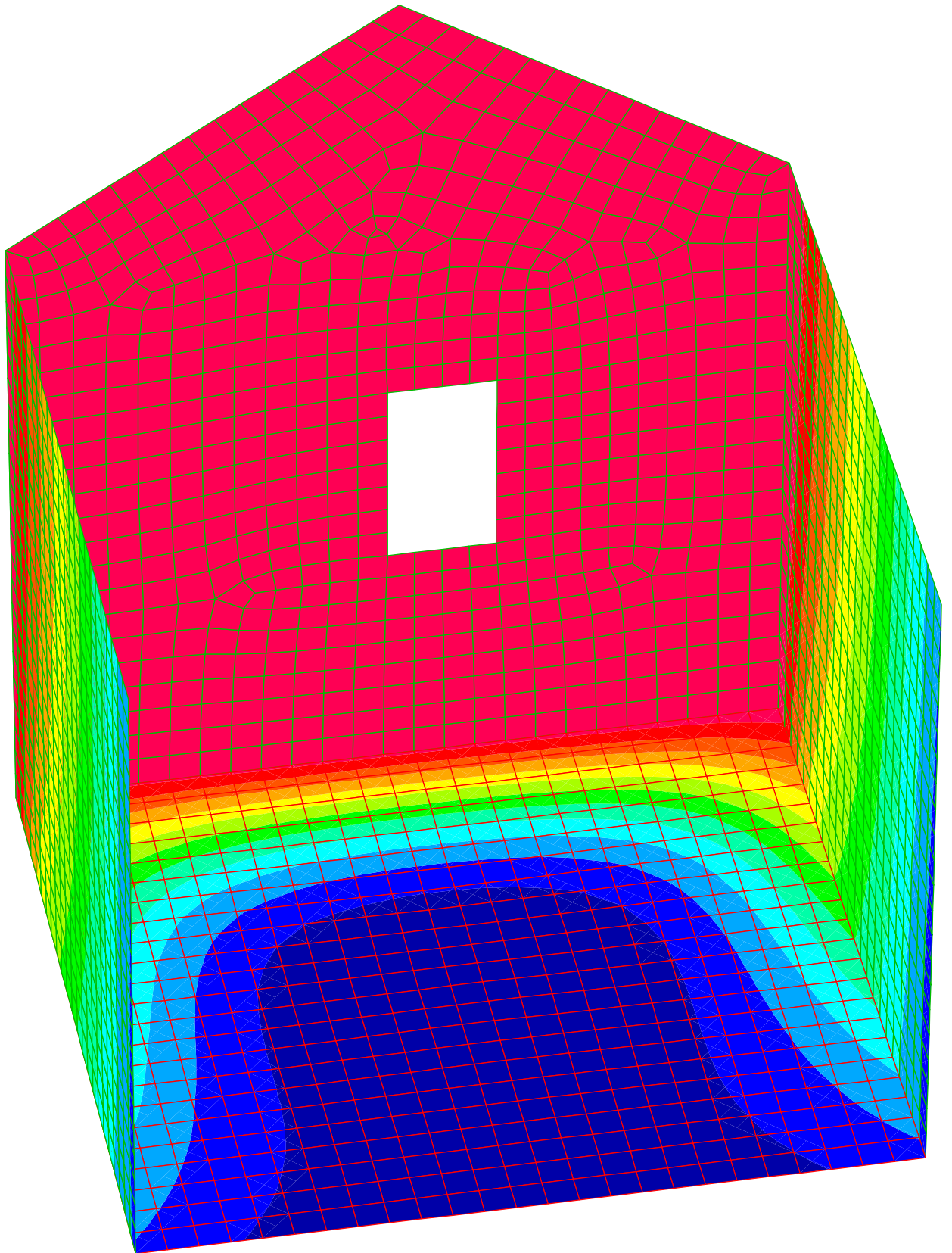
X  
Y  
Z



1, 18e-01  
3, 67e-01  
6, 16e-01  
8, 65e-01  
1, 11e+00  
1, 36e+00  
1, 61e+00  
1, 86e+00  
2, 11e+00  
2, 36e+00  
2, 61e+00  
2, 86e+00  
3, 10e+00

LF 5: Lastgruppe\_Sog  
Deformationen uy [mm]  
Wertebereich (Gesamtsystem, min/max): 0,12/3,10 [mm]

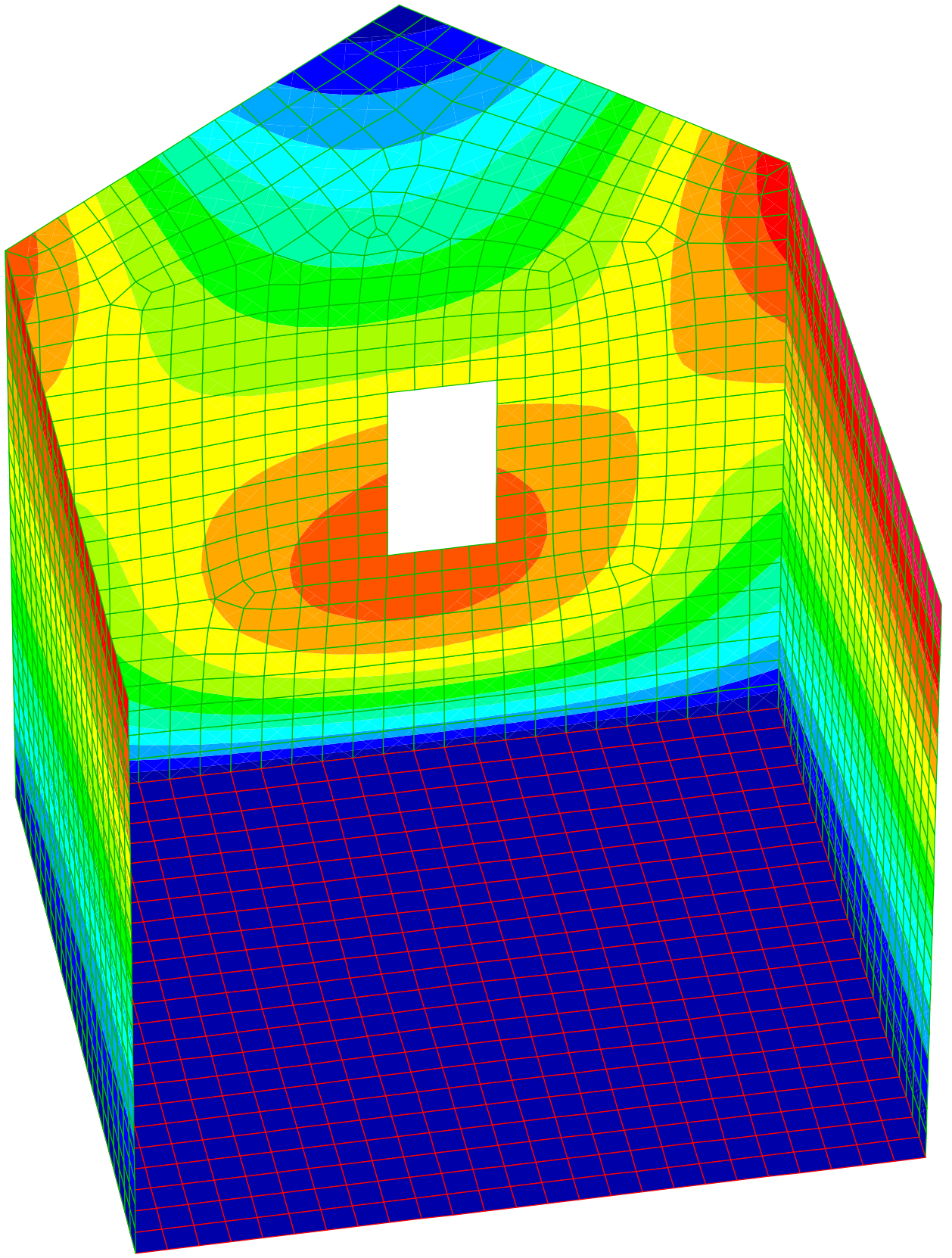
X  
Y  
Z



LF 5: Lastgruppe\_Sog  
Deformationen uz [mm]  
Wertebereich (Gesamtsystem, min/max): 0,02/1,52 [mm]

2, 07e-02  
1, 46e-01  
2, 71e-01  
3, 97e-01  
5, 22e-01  
6, 47e-01  
7, 73e-01  
8, 98e-01  
1, 02e+00  
1, 15e+00  
1, 27e+00  
1, 40e+00  
1, 52e+00

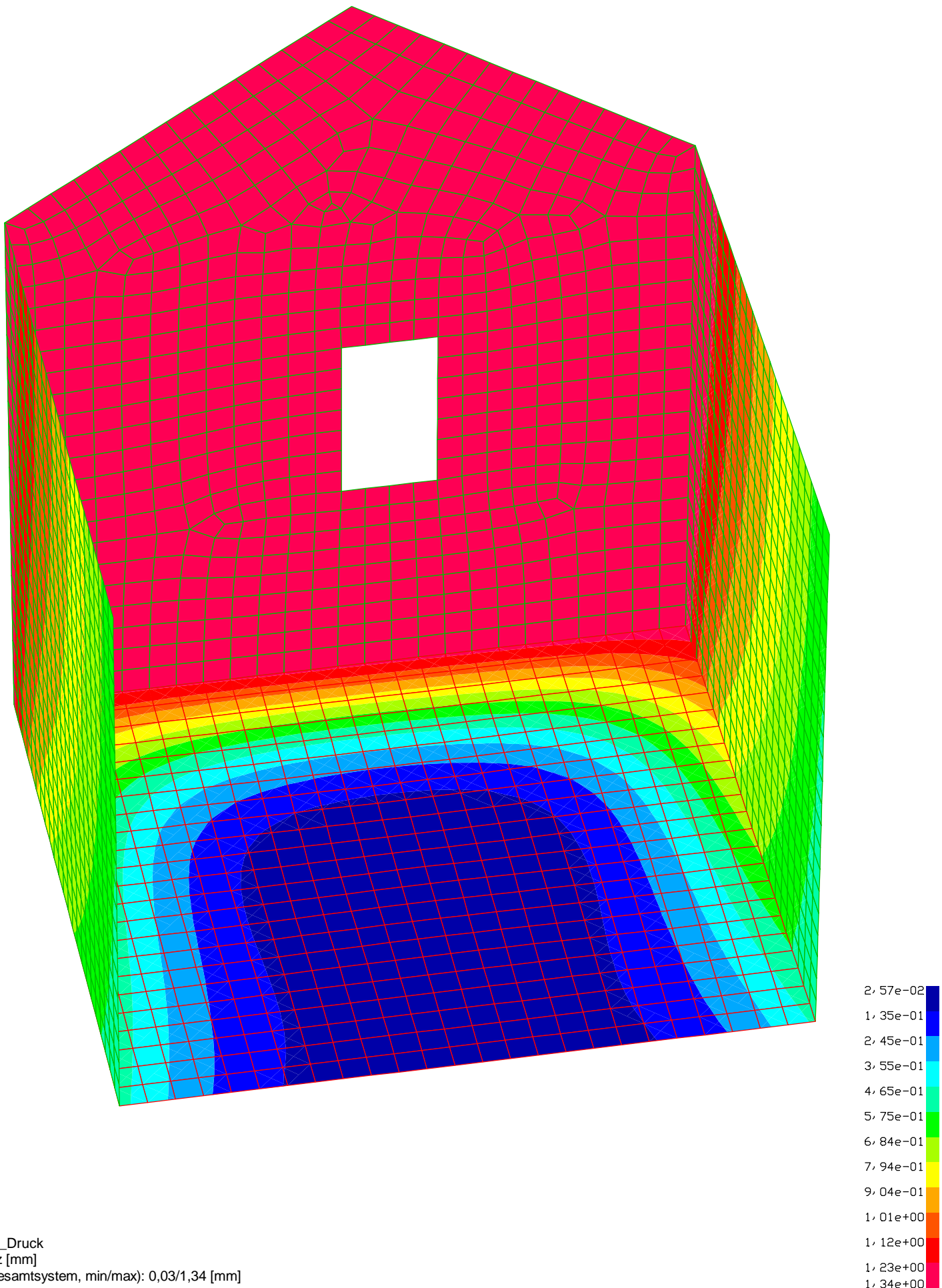
X  
Y  
Z



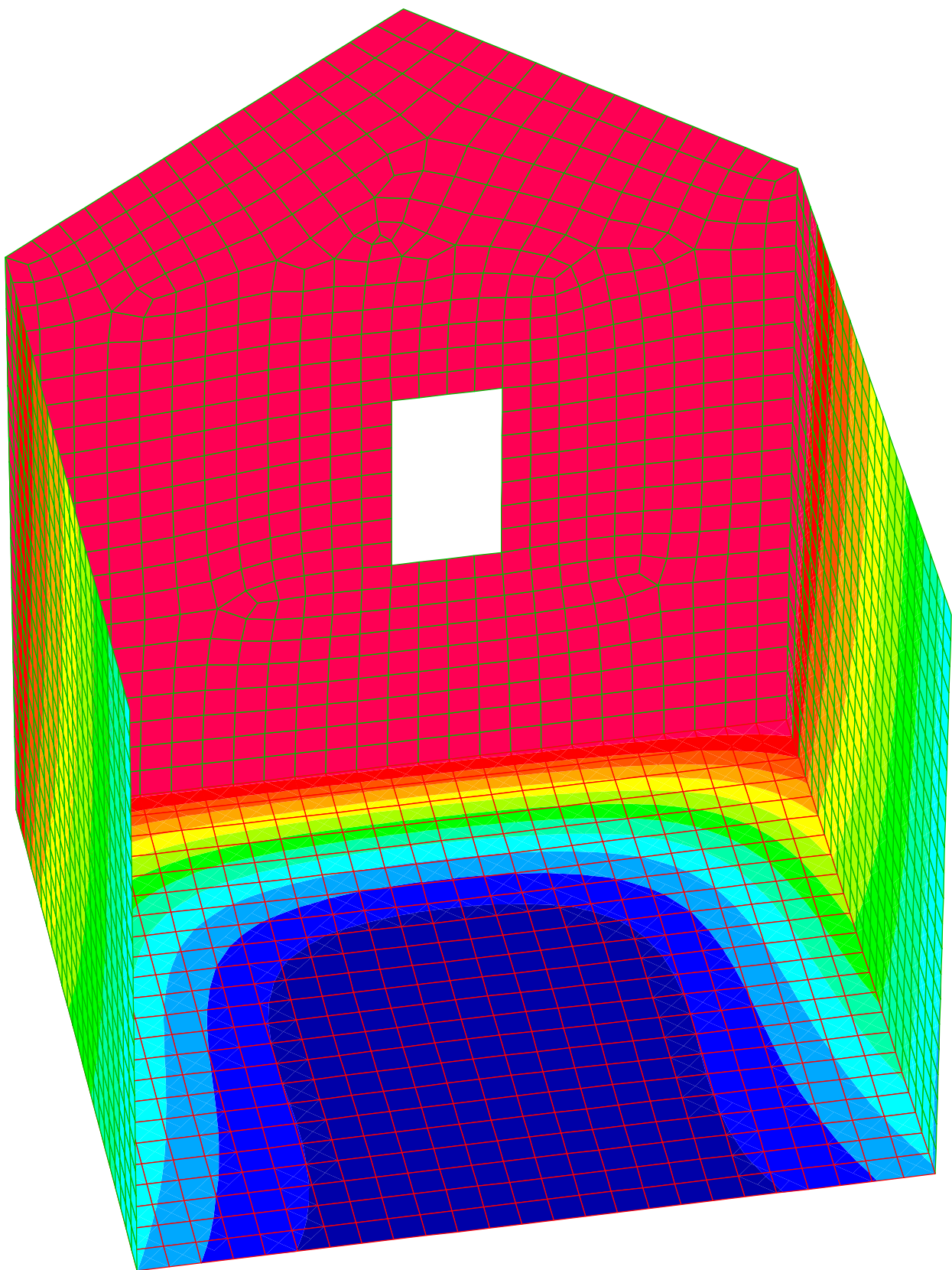
-1,44e-01  
-8,07e-02  
-1,71e-02  
4,65e-02  
1,10e-01  
1,74e-01  
2,37e-01  
3,01e-01  
3,65e-01  
4,28e-01  
4,92e-01  
5,55e-01  
6,19e-01

LF 6: Lastgruppe\_Druck  
Deformationen uy [mm]  
Wertebereich (Gesamtsystem, min/max): -0,14/0,62 [mm]

X  
Y  
Z



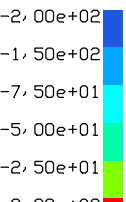
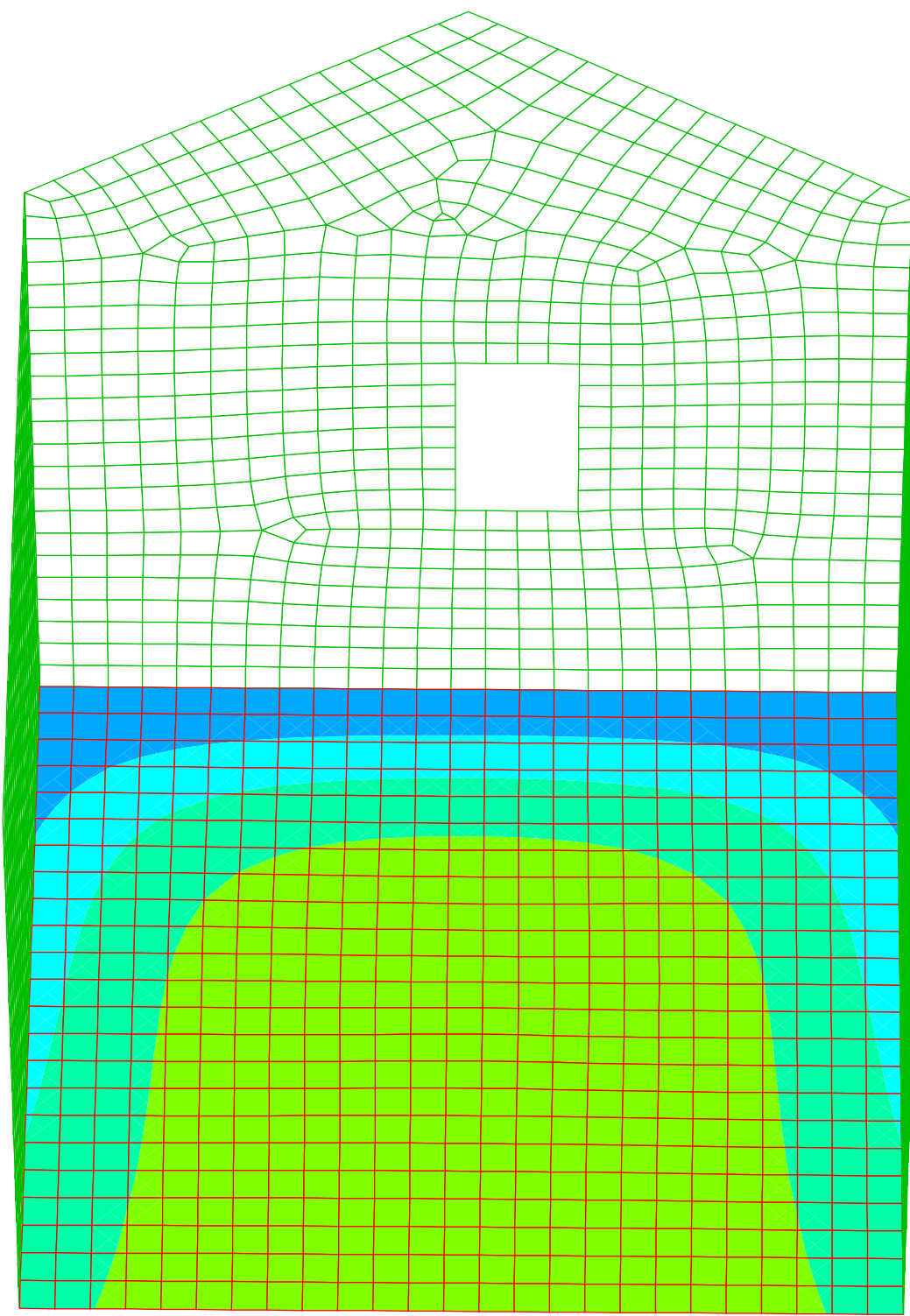
X  
Y  
Z



2, 32e-02  
1, 41e-01  
2, 58e-01  
3, 76e-01  
4, 93e-01  
6, 11e-01  
7, 28e-01  
8, 46e-01  
9, 63e-01  
1, 08e+00  
1, 20e+00  
1, 32e+00  
1, 43e+00

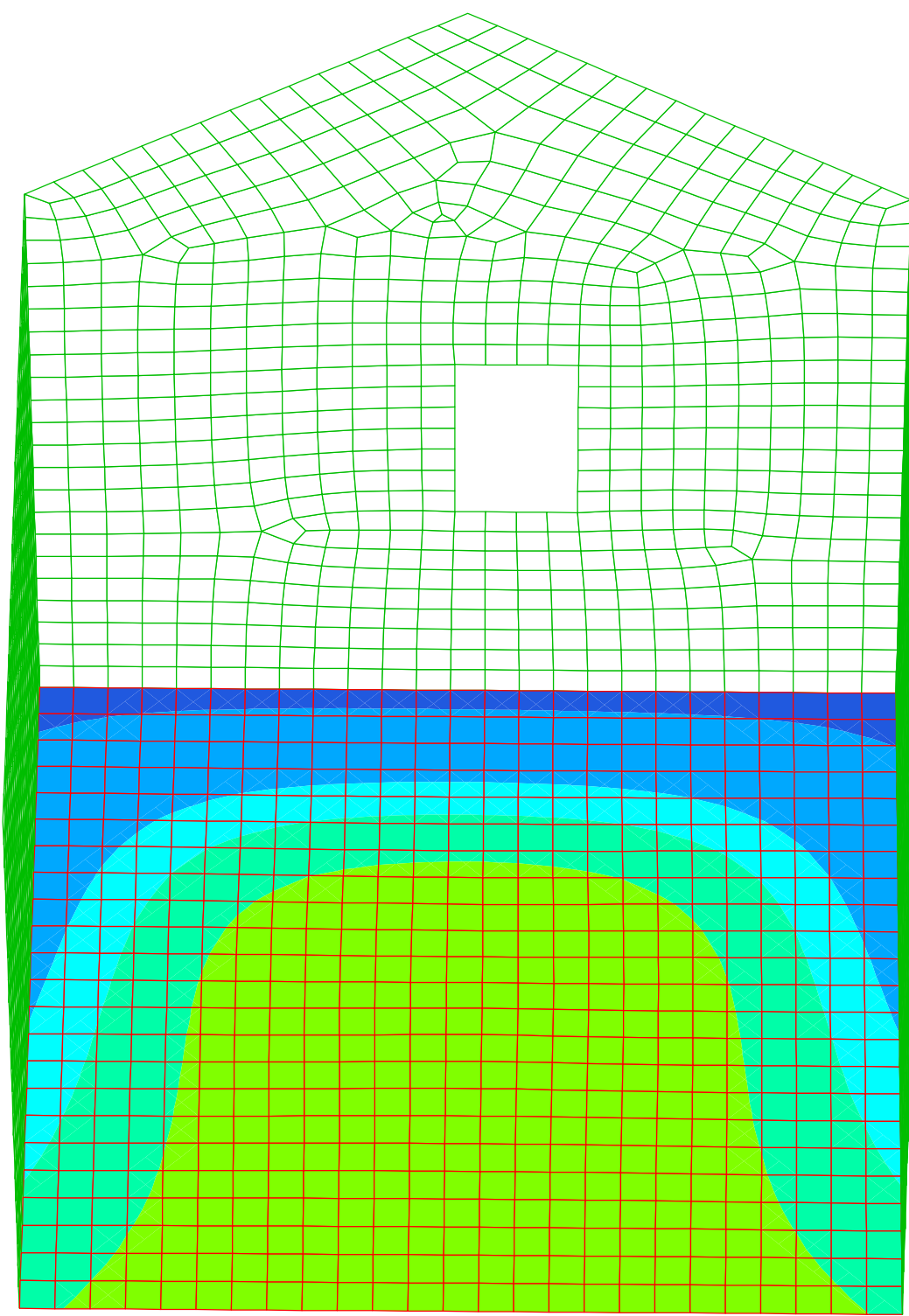
LF 7: Lastgruppe\_verikal  
Deformationen uz [mm]  
Wertebereich (Gesamtsystem, min/max): 0,02/1,43 [mm]  
LF 7: Belastung, Lastgruppe\_verikal

X  
Y  
Z



LF 1: Eigengewicht  
Bodenpressungen Sigma.z [kN/m²]  
Wertebereich (Gesamtsystem, min/max): -109,50/-2,94 [kN/m²]  
Rx/Ry/Rz: -0,0/-0,0/2851,5 [kN], dx/dy/dz: 37,49/7,58/0,00 [m]

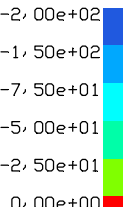
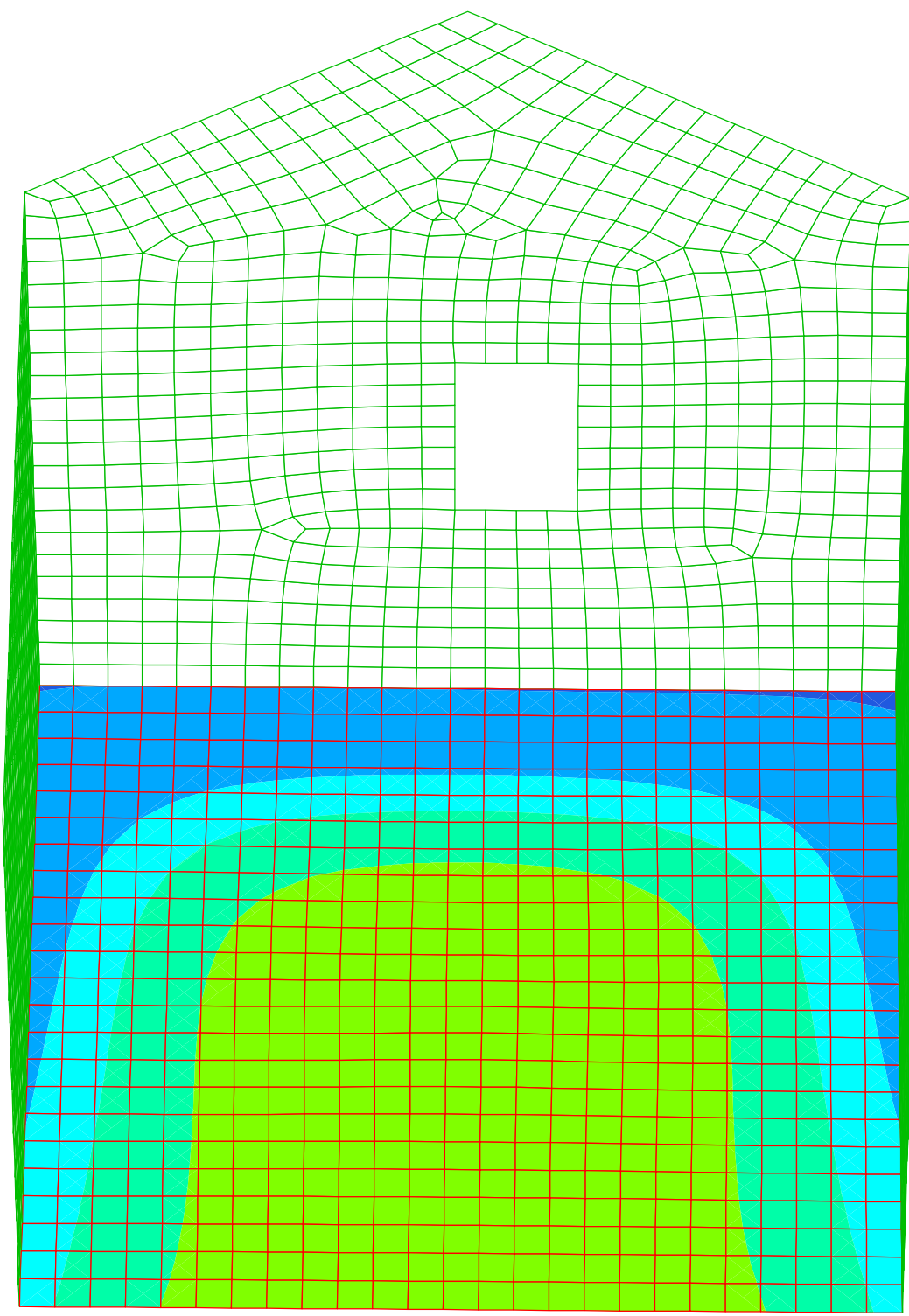
X  
Y  
Z



LF 5: Lastgruppe\_Sog  
Bodenpressungen Sigma.z [kN/m<sup>2</sup>]  
Wertebereich (Gesamtsystem, min/max): -179,21/-2,48 [kN/m<sup>2</sup>]  
Rx/Ry/Rz: 0,0/117,9/4084,4 [kN], dx/dy/dz: 37,46/7,90/0,00 [m]

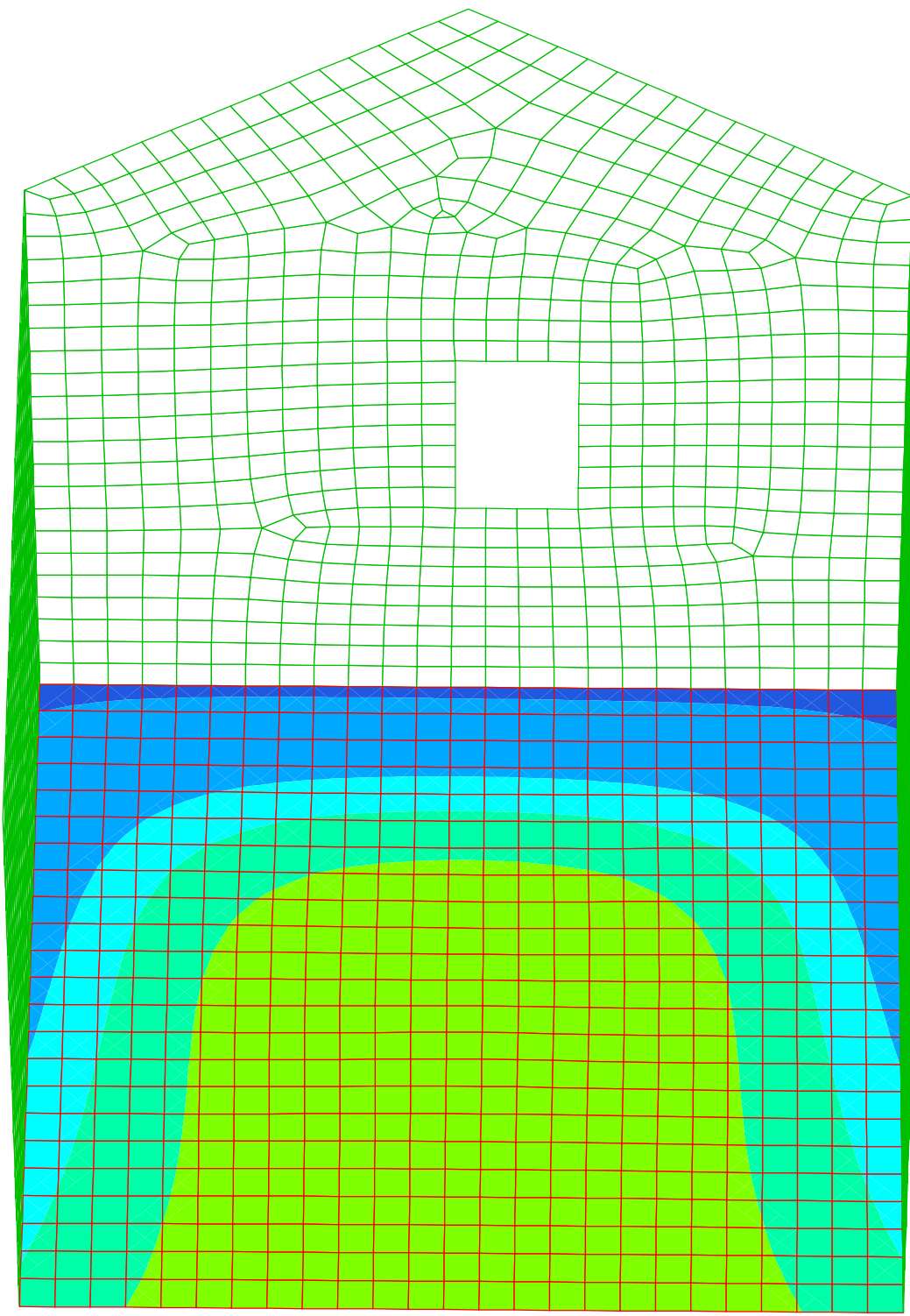
-2,00e+02  
-1,50e+02  
-7,50e+01  
-5,00e+01  
-2,50e+01  
0,00e+00

X  
Y  
Z



LF 6: Lastgruppe\_Druck  
Bodenpressungen Sigma.z [kN/m²]  
Wertebereich (Gesamtsystem, min/max): -158,12/-3,08 [kN/m²]  
Rx/Ry/Rz: 0,0/-117,9/4084,4 [kN], dx/dy/dz: 37,46/7,60/0,00 [m]

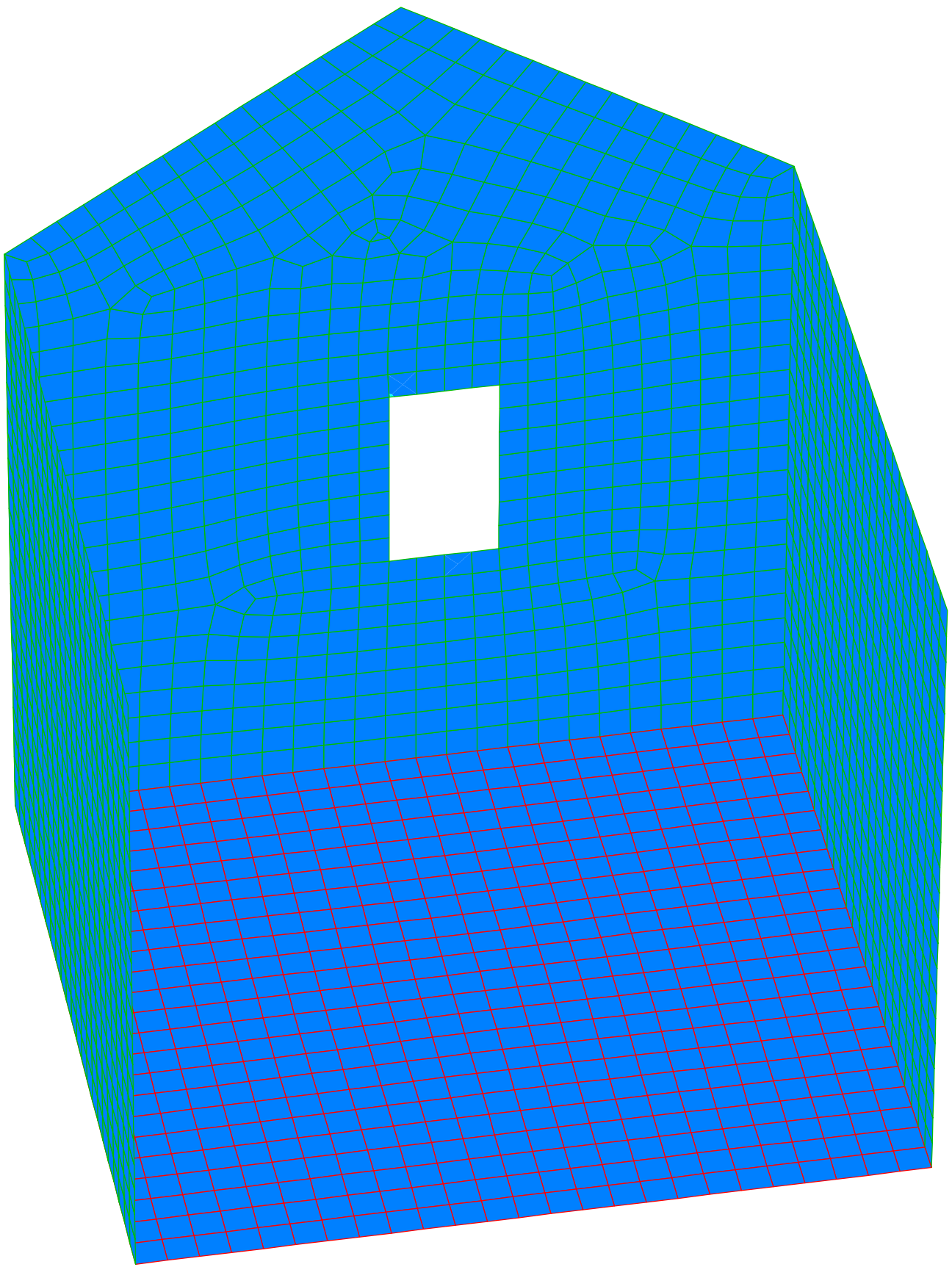
X  
Y  
Z



LF 7: Lastgruppe\_verikal  
Bodenpressungen Sigma.z [kN/m²]  
Wertebereich (Gesamtsystem, min/max): -168,67/-2,78 [kN/m²]  
Rx/Ry/Rz: 0,0/0,0/4084,4 [kN], dx/dy/dz: 37,46/7,75/0,00 [m]

-2,00e+02  
-1,50e+02  
-7,50e+01  
-5,00e+01  
-2,50e+01  
0,00e+00

x  
Y  
z



LFK DIN1992.BRUCH: Tragfähigkeit DIN EN 1992-1-1

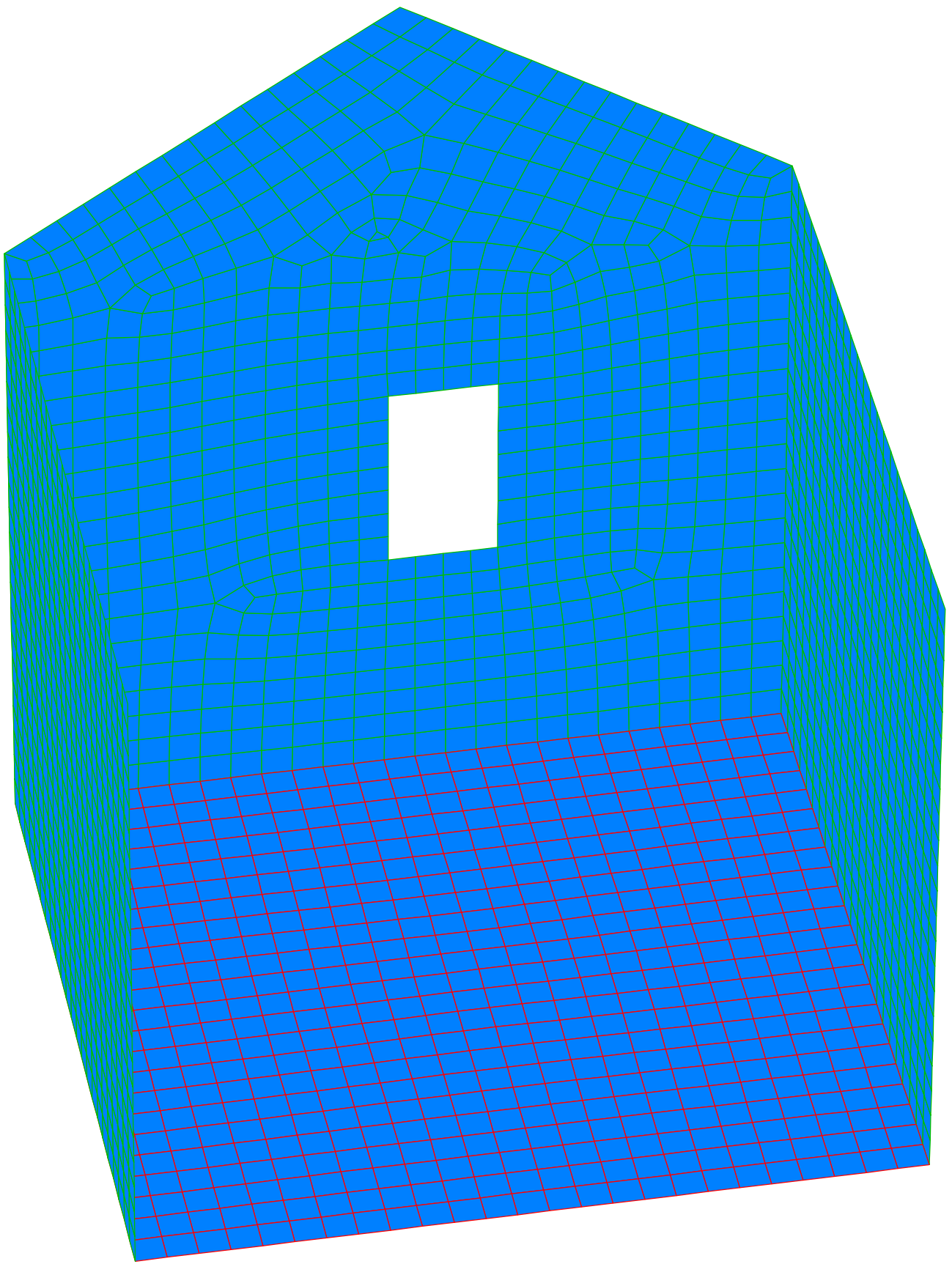
Biegebewehrung asx 1. Lage [cm<sup>2</sup>/m]

Wertebereich (Gesamtsystem, min/max): 0,00/3,60 [cm<sup>2</sup>/m]

Berechnung in den Elementknoten, Gesamtgew. aus Bemessung: 0,3 t

LF 5: Belastung, Lastgruppe\_Sog

x  
Y  
z



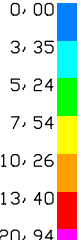
LFK DIN1992.BRUCH: Tragfähigkeit DIN EN 1992-1-1

Biegebewehrung asx 2. Lage [cm<sup>2</sup>/m]

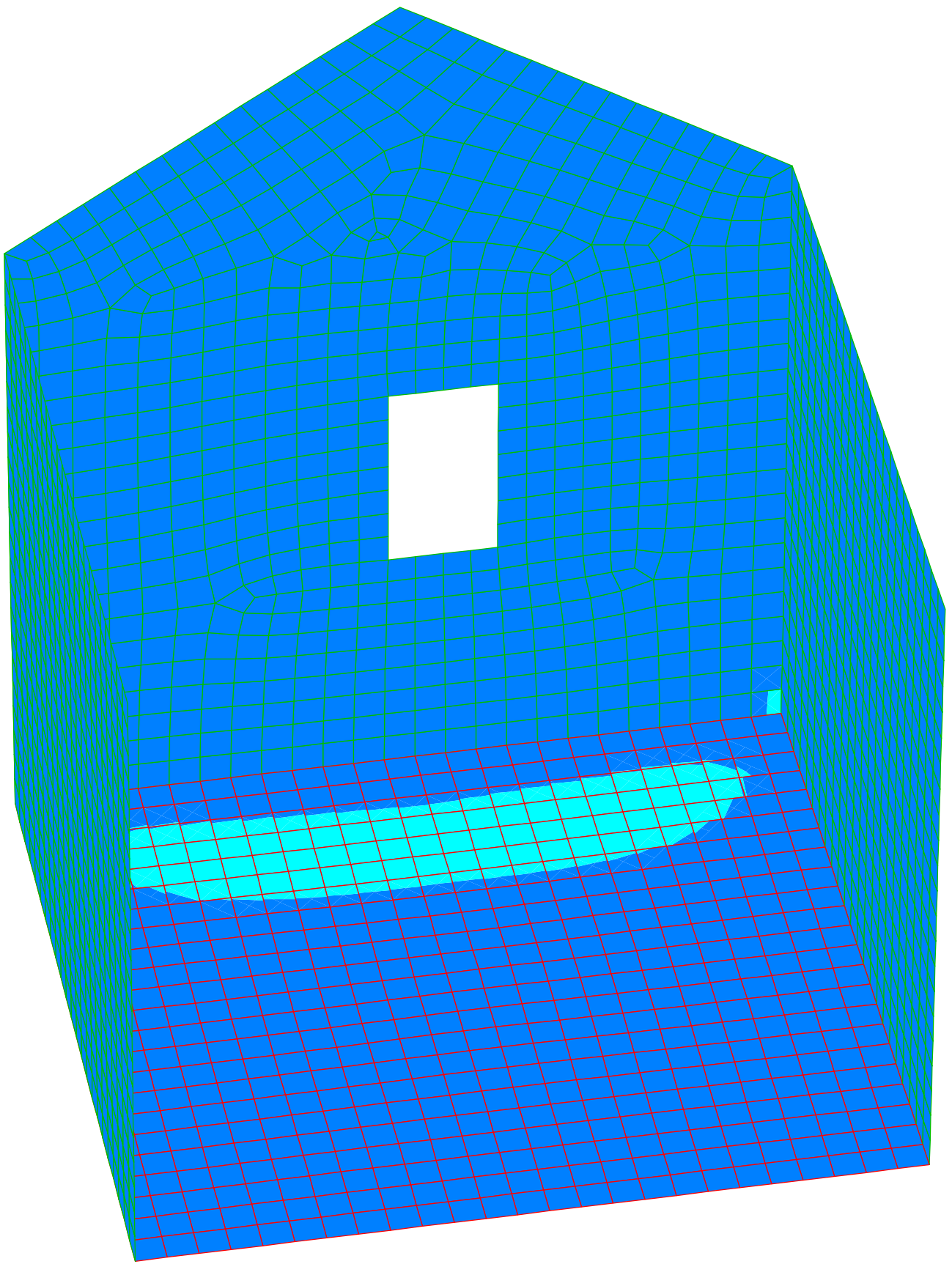
Wertebereich (Gesamtsystem, min/max): 0,00/2,17 [cm<sup>2</sup>/m]

Berechnung in den Elementknoten, Gesamtgew. aus Bemessung: 0,3 t

LF 5: Belastung, Lastgruppe\_Sog



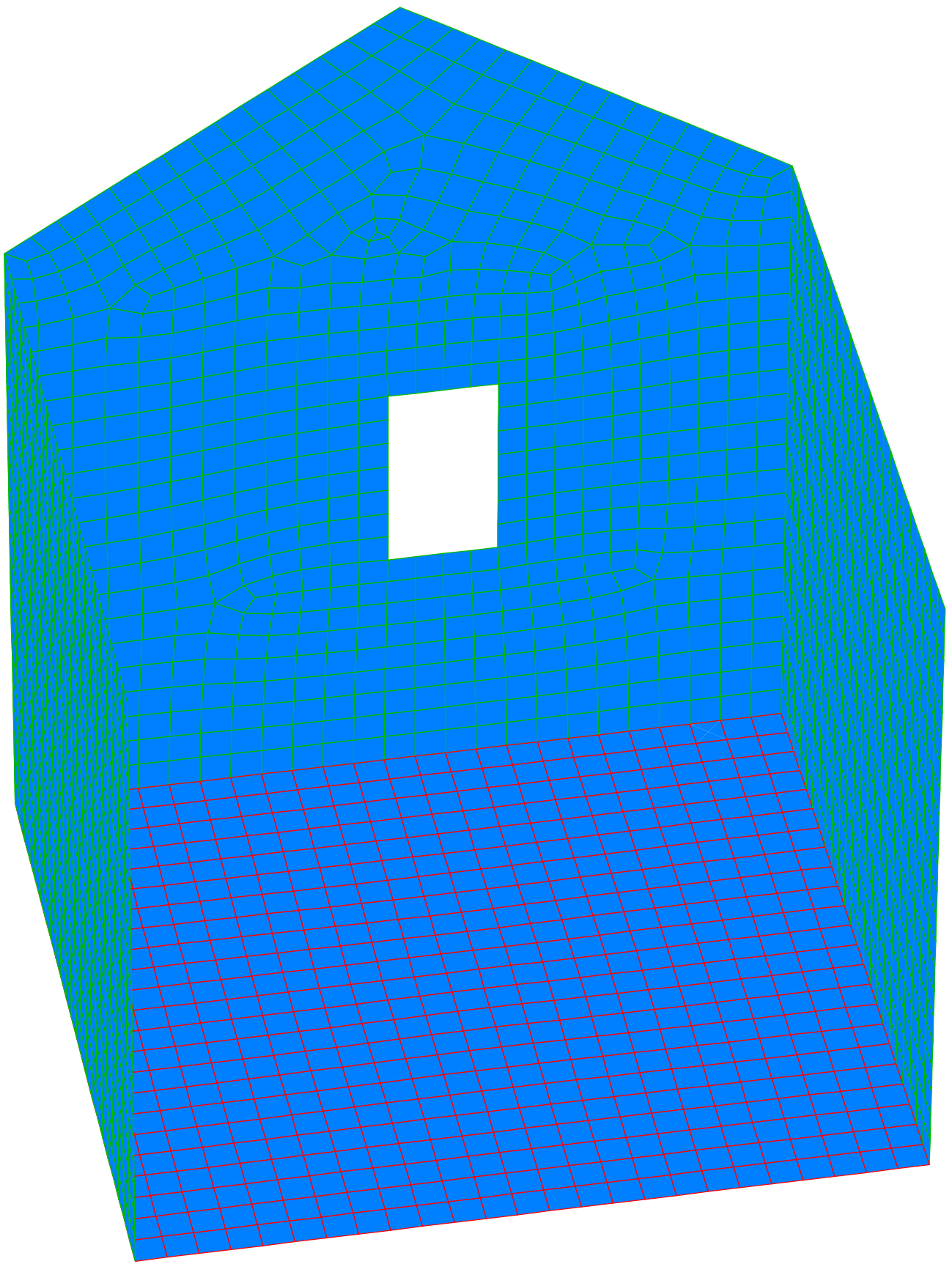
x  
Y  
z



0,00  
3,35  
5,24  
7,54  
10,26  
13,40  
20,94

LFK DIN1992.BRUCH: Tragfähigkeit DIN EN 1992-1-1  
Biegebewehrung asy 1. Lage [cm<sup>2</sup>/m]  
Wertebereich (Gesamtsystem, min/max): 0,00/4,75 [cm<sup>2</sup>/m]  
Berechnung in den Elementknoten, Gesamtgew. aus Bemessung: 0,3 t  
LF 5: Belastung, Lastgruppe\_Sog

x  
Y  
z



LFK DIN1992.BRUCH: Tragfähigkeit DIN EN 1992-1-1

Biegebewehrung asy 2. Lage [cm<sup>2</sup>/m]

Wertebereich (Gesamtsystem, min/max): 0,00/3,41 [cm<sup>2</sup>/m]

Berechnung in den Elementknoten, Gesamtgew. aus Bemessung: 0,3 t

LF 5: Belastung, Lastgruppe\_Sog